



ISSN 0002-3078

АЗӘРБАЙЧАН ССР ӘЛМЛӘР АНАДЕМИЯСЫ
АНАДЕМИЯНАУН АЗЕРБАЙДЖАНСКОЙ ССР

МӘРУЗӘЛӘР ДОКЛАДЫ

том XXXIX чилд

1983 . 7

ДАН Азерб. ССР публикует краткие сообщения об оригинальных, нигде не публиковавшихся ранее, результатах научных исследований, представленные академиками АН Азерб. ССР, которые тем самым берут на себя ответственность за научные достоинства представленной статьи.

В «Докладах» не публикуются крупные статьи, механически разделенные на ряд отдельных сообщений, статьи полемического характера, без новых фактических сообщений, статьи полемического характера, без новых фактических данных, статьи с описанием промежуточных опытов, без определенных выводов и обобщений, чисто методические статьи, если предлагаемый метод не является принципиально новым; а также статьи по систематике растений и животных (за исключением описания, особо интересных для науки находок).

Будучи органом срочной информации, журнал «ДАН Азерб. ССР» принимает и отбирает к печати статьи, объем которых допускает их публикацию в установленные решением Президиума АН Азерб. ССР сроки.

В связи со всеми перечисленными ограничениями отклонение статьи редакцией «Доклады АН Азерб. ССР» означает только, что она не согласуется с требованиями и возможностями этого журнала и не исключает ее публикации в других изданиях.

ПРАВИЛА ДЛЯ АВТОРОВ

Редакция журнала «Доклады АН Азерб. ССР» просит авторов руководствоваться приведенными правилами и надеется, что авторы ознакомятся с ними прежде, чем пришлют статью в редакцию.

Статьи, присланные без соблюдения этих правил, к рассмотрению не принимаются.

1. Статьи, направляемые в редакцию, должны иметь представление члена АН СССР или академика АН Азерб. ССР, если оно требуется (см. выше).

Статьи с просьбой направить их на представление редакцией не принимаются.

2. Статья публикуется по мере поступления. Единственным поводом для внеочередной публикации является исключительная важность сообщения и соображения приоритета. Для этого необходимо специальное решение редколлегии.

3. Как правило, редакция направляет представленные статьи на рецензию.

4. «Доклады» помещают не более трех статей одного автора в год. Это правило не распространяется на членов АН СССР, академиков Академии наук Азерб. ССР.

5. Авторы должны определить раздел, в который следует поместить статью, а также дать индекс статьи по Универсальной десятичной классификации (УДК). К статье прилагается отпечатанный на машинке реферат в двух экземплярах, предназначенный для передачи в один из реферативных журналов ВИНИТИ.

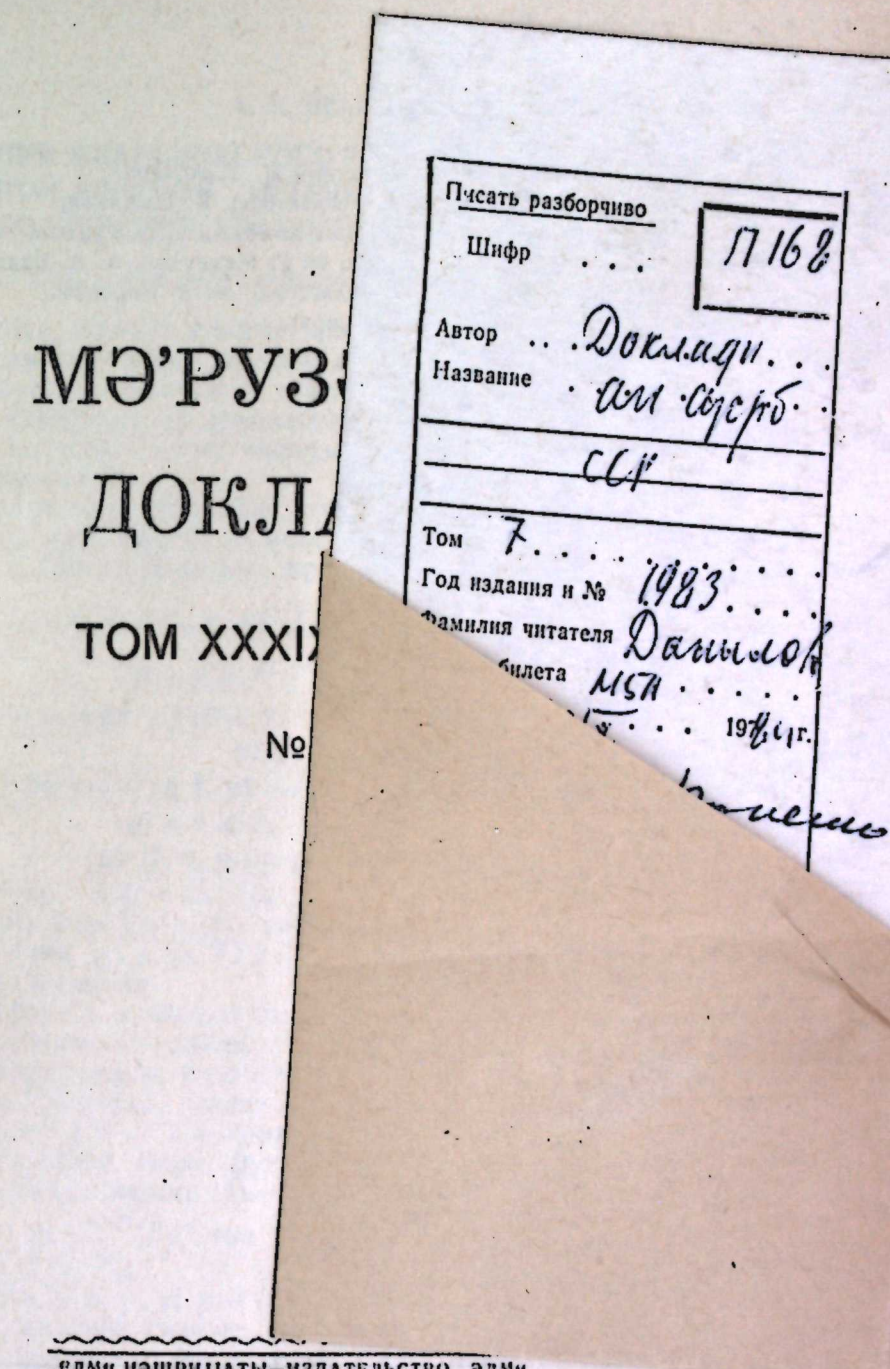
6. В конце статьи нужно указать полное название учреждения, в котором выполнено исследование, фамилии всех авторов а также полный почтовый адрес и номер телефона (служебный и домашний) каждого соавтора.

Кроме того, авторский коллектив должен указать лицо, с которым редакция будет вести переговоры и переписку.

7. Возвращение рукописи автору на доработку не означает, что статья принята к печати. После получения доработанного текста рукопись вновь рассматривается редакционной коллегией. Доработанный текст автор должен вернуть вместе с первоначальным экземпляром статьи, а также ответом на все замечания. Датой поступления считается день получения редакцией окончательного варианта статьи.

8. В «Докладах» публикуются статьи, занимающие не более ¼ авторского листа (6 страниц машинописи). В этот объем входят текст, таблицы, библиография (не больше 15 источников) и рисунки, число которых не должно превышать четырех, включая и обозначения «а», «б» и т. д. в том числе вклейки на мелованной бумаге. Вклейки даются только для микрофотографий большого увеличения. Штриховые рисунки (карты, схемы и т. п.) на вклейках не печатаются, а даются на кальке. Текст и графический материал представляются в двух экземплярах. Повторение одних и тех же данных в тексте, таблицах и графиках недопустимо. Рисунки должны быть выполнены четко, в формате, обеспечивающем ясность передачи всех деталей. Фотографии представляются на глянцевой бумаге. Подписи к рисункам должны быть напечатаны в 2-х экземплярах через два интервала на отдельной странице. На обороте рисунков мягким карандашом указываются фамилии авторов, название статьи и номер рисунка.

(Продолжение на третьей странице обложки)



УДК 517.95

МАТЕМАТИКА

РЕДАКЦИОННАЯ КОЛЛЕГИЯ:

Г. Б. Абдуллаев (главный редактор), М. Т. Абасов,
 Ал. А. Ализаде, (зам. главного редактора), В. С. Алиев,
 Г. А. Алиев, Дж. А. Алиев, И. Г. Алиев, Дж. Б. Гулиев,
 Н. А. Гулиев, М. З. Джабаров, Ф. Г. Максудов, А. А. Надиров,
 Ю. М. Сейдов (зам. главного редактора), М. А. Усейнов,
 Г. Г. Зейналов (ответств. секретарь).

© Издательство „Элм”, 1983 г.

Адрес: г. Баку, Коммунистическая, 10. Редакция „Известий Академии наук Азербайджанской ССР”

ИССЛЕДОВАНИЕ КЛАССИЧЕСКОГО РЕШЕНИЯ ОДНОЙ ОБРАТНОЙ ДВУМЕРНОЙ КРАЕВОЙ ЗАДАЧИ ДЛЯ КВАЗИЛИНЕЙНЫХ ГИПЕРБОЛИЧЕСКИХ УРАВНЕНИЙ ВТОРОГО ПОРЯДКА

(Представлено академиком АН Азербайджанской ССР Ф. Г. Максудовым)

Как известно, многие важные прикладные проблемы приводят к так называемым обратным задачам для дифференциальных уравнений. Такие задачи встречаются, например, при изучении процессов в среде, когда некоторые из физических характеристик не известны и при наличии дополнительных информаций требуется определить эти неизвестные параметры.

Настоящая работа посвящена исследованию следующей обратной двумерной краевой задачи в конечной области для одного класса квазилинейных гиперболических уравнений второго порядка:

$$\frac{\partial^2 U}{\partial t^2} - \Delta U = a(t) b(t, x, y) \cdot U + F(t, x, y, U, U_t, U_x, U_y, a) \quad (1)$$

$$U(0, x, y) = \varphi(x, y) \quad (0 < x, y < 1), \quad U_t(0, x, y) = \psi(x, y) \quad (0 < x, y < 1), \quad (2)$$

$$U(t, 0, y) = U(t, 1, y) = U(t, x, 0) = U(t, x, 1) = 0 \quad (0 < t < T, 0 < x, y < 1), \quad (3)$$

$$U_x(t, 0, y_0) = g(t) \quad (0 < t < T). \quad (4)$$

где $0 < T < +\infty$, $\Delta U = U_{xx} + U_{yy}$, $b(t, x, y)$, $F(t, x, y, U, U_t, U_x, U_y, a)$, $\varphi(x, y)$, $\psi(x, y)$, $g(t)$ —заданные функции, $y_0 \in (0, 1)$ —заданная точка, причем $\forall t \in [0, T] b(t, 0, y_0) \neq 0$, $g(t) \neq 0$, а $U(t, x, y)$ и $a(t)$ —искомые функции.

В этой работе с помощью метода Фурье и принципа сжатых отображений установлена теорема существования в малом, а с помощью специального подхода установлена теорема единственности в целом классического решения задачи (1)–(4), причем под классическим решением задачи (1)–(5) понимаем следующее:

Определение. Пару функций $\{U(t, x, y), a(t)\}$ назовем классическим решением задачи (1)–(4), если:

а) $U(t, x, y) \in C^{(1)}(D_T)$, где $D_T = [0, T] \times [0, 1] \times [0, 1]$;

б) $a(t) \in C[0, T]$;

в) функции $U(t, x, y)$ и $a(t)$ удовлетворяют условиям (1)–(4) в обычном классическом смысле.

После применения формальной схемы метода Фурье и учета дополнительного условия (4), решение задачи (1)–(4) сведено к ре-

шению следующей системы двух нелинейных интегро-дифференциальных уравнений:

$$\begin{aligned} U(t, x, y) = & \sum_{m,n=1}^{\infty} \varphi_{m,n} \cos \sqrt{m^2 + n^2} \pi t \sin m\pi x \sin n\pi y + \\ & + \sum_{m,n=1}^{\infty} \frac{\psi_{m,n}}{\sqrt{m^2 + n^2} \pi} \cdot \sin \sqrt{m^2 + n^2} \pi t \cdot \sin m\pi x \sin n\pi y + \\ & + \sum_{m,n=1}^{\infty} \frac{4}{\sqrt{m^2 + n^2} \pi} \cdot \int_0^1 \int_0^1 \int_0^1 \{a(\tau) b(\tau, \xi, \eta) U(\tau, \xi, \eta) + \\ & + F(\tau, \xi, \eta, U(\tau, \xi, \eta), U_x(\tau, \xi, \eta), U_{\xi}(\tau, \xi, \eta), U_{\eta}(\tau, \xi, \eta), a(\tau))\} \cdot \\ & \cdot \sin \sqrt{m^2 + n^2} \pi (t-\tau) \sin m\pi \xi \sin n\pi \eta d\xi d\eta d\tau \cdot \sin m\pi x \sin n\pi y, \quad (5) \end{aligned}$$

$$\begin{aligned} a(t) = h(t) \cdot \left\{ g''(t) + \sum_{m,n=1}^{\infty} m(m^2+n^2) \pi^3 \varphi_{m,n} \cos \sqrt{m^2 + n^2} \pi t \cdot \sin n\pi y + \right. \\ \left. + \sum_{m,n=1}^{\infty} m \sqrt{m^2 + n^2} \pi^2 \psi_{m,n} \sin \sqrt{m^2 + n^2} \pi t \cdot \sin n\pi y_0 + \right. \\ \left. + \sum_{m,n=1}^{\infty} 4m \sqrt{m^2 + n^2} \pi^2 \cdot \int_0^1 \int_0^1 \int_0^1 [a(\tau) b(\tau, \xi, \eta) U(\tau, \xi, \eta) + \right. \\ \left. + F(\tau, \xi, \eta, U(\tau, \xi, \eta), U_x(\tau, \xi, \eta), U_{\xi}(\tau, \xi, \eta), U_{\eta}(\tau, \xi, \eta), a(\tau))] \cdot \right. \\ \left. \cdot \sin \sqrt{m^2 + n^2} \pi (t-\tau) \sin m\pi \xi \sin n\pi \eta d\xi d\eta d\tau \cdot \sin n\pi y_0 - C_{a,u}(t)\right\}, \quad (6) \end{aligned}$$

где

$$\varphi_{m,n} = 4 \int_0^1 \int_0^1 \varphi(x, y) \sin m\pi x \sin n\pi y dx dy,$$

$$\psi_{m,n} = 4 \int_0^1 \int_0^1 \psi(x, y) \sin m\pi x \sin n\pi y dx dy, \quad h(t) = (b(t, 0, y) \cdot g(t))^{-1},$$

$$\begin{aligned} C_{a,u}(t) = & F_x(t_0, 0, y_0, 0, 0, g(t), 0, a(t)) + \\ & + F_{U_1}(t, 0, y_0, 0, 0, g(t), 0, a(t)) \cdot g(t) + \\ & + F_{U_2}(t, 0, y_0, 0, 0, g(t), 0, a(t)) \cdot g'(t) + \\ & + F_{U_3}(t, 0, y_0, 0, 0, g(t), 0, a(t)) \cdot U_{xy}(t, 0, y_0), \end{aligned}$$

причем $F_{U_1}, F_{U_2}, F_{U_3}$ — обозначения соответствующих частных производных функции $F(t, x, y, U_1, U_2, U_3, U_4, a)$.

С целью исследования задачи (1)–(4) введено следующее банахово пространство.

Обозначим через B_T совокупность всех функций вида $U(t, x, y) = \sum_{m,n=1}^{\infty} U_{m,n}(t) \sin m\pi x \sin n\pi y$, рассматриваемых в области $D_T = [0, T] \times [0, 1] \times [0, 1]$, где каждая из функций $U_{m,n}(t)$ — непрерывно дифференцируема на $[0, T]$ и

$$\begin{aligned} \|U\|_{B_T} = & \left\{ \sum_{i+j=s} \sum_{m,n=1}^{\infty} (n^i \cdot n^j \cdot \max_{0 \leq t \leq T} |U_{m,n}(t)|)^2 + \right. \\ & \left. + \sum_{k+l=t} \sum_{m,n=1}^{\infty} (m^k \cdot n^l \cdot \max_{0 \leq t \leq T} |U'_{m,n}(t)|)^2 \right\}^{1/2} < +\infty, \end{aligned}$$

причем i, j, k, l — целые неотрицательные числа. Очевидно, что B_T — банахово пространство.

Основным результатом данной работы являются следующая Теорема. Пусть выполнены условия:

1. а) Функция $\varphi(x, y)$ четырёх раз непрерывно дифференцируема в замкнутой области $[0, 1] \times [0, 1]$ и все ее производные пятого порядка принадлежат $L_1((0, 1) \times (0, 1))$;

б) каждая из функций $\varphi(x, y), \varphi_y, \varphi_{xy}, \varphi_{xxy}, \varphi_{yy}, \varphi_{x^2}, \varphi_{xy^2}$ и φ_{y^2} равна 0 при $x=0$ и $x=1$ $\forall y \in [0, 1]$;

в) каждая из функций $\varphi(x, y), \varphi_x, \varphi_{x^2}, \varphi_y, \varphi_{x^2}, \varphi_{xy^2}, \varphi_{x^4}, \varphi_{x^2y^2}$ и φ_{y^4} равна 0 при $y=0$ и $y=1$ $\forall x \in [0, 1]$.

2. а) Функция $\psi(x, y)$ три раза непрерывно дифференцируема в замкнутой области $[0, 1] \times [0, 1]$ и все ее производные четвертого порядка принадлежат $L_2((0, 1) \times (0, 1))$;

б) каждая из функций $\psi(x, y), \psi_y, \psi_{xy}, \psi_{y^2}, \psi_{x^2y}, \psi_{xy^2}$ и ψ_{y^4} равна 0 при $x=0$ и $x=1$ $\forall y \in [0, 1]$;

в) каждая из функций $\psi(x, y), \psi_x, \psi_{x^2}, \psi_y, \psi_{x^2}, \psi_{xy}$ равна 0 при $y=0$ и $y=1$ $\forall x \in [0, 1]$.

3. Функция $b(t, x, y)$ непрерывна в замкнутой области $D_T = [0, T] \times [0, 1] \times [0, 1]$ вместе со всеми производными по переменным x и y до четвертого порядка включительно

$$b_x(t, 0, y) = b_x(t, 1, y) = b_{xy}(t, 0, y) = b_{xy}(t, 1, y) = 0 \quad \forall t \in [0, T], y \in [0, 1]$$

$$b_y(t, x, 0) = b_y(t, x, 1) = b_{xy}(t, x, 0) = b_{xy}(t, x, 1) = 0 \quad \forall t \in [0, T], x \in [0, 1]$$

и $\forall t \in [0, T] b(t, 0, y_0) \neq 0$, где $y_0 \in (0, 1)$ — фиксированное число, фигурирующее в постановке задачи (1)–(4).

4. $g(t) \in C^{(2)}[0, T]$ и $\forall t \in [0, T] g(t) \neq 0$.

5. Выполнены условия согласования:

$$\varphi_x(0, 0, y_0) = g(0), \quad \varphi_x(0, 0, y_0) = g'(0).$$

6.

а) Функция $F(t, x, y, U_1, U_2, U_3, U_4, a)$ непрерывна по совокупности своих переменных в замкнутой области $\Omega_T = D_T \times (-\infty, \infty)^5$ вместе со всеми производными по переменным x, y, U_1, U_2, U_3, U_4 до четвертого порядка включительно;

б) Функция $F(t, x, y, U_1, U_2, U_3, U_4, a)$ и все ее производные по переменным x, y, U_1, U_2, U_3, U_4 до третьего порядка включительно равны 0 в точках $(t, 0, y, 0, 0, U_3, 0, a)$, $(t, 1, y, 0, 0, U_3, 0, a)$, $(t, x, 0, 0, 0, U_4, a)$, $(t, x, 1, 0, 0, 0, U_4, a)$, где $t \in [0, T], x, y \in [0, 1], U_3, U_4, a \in (-\infty, \infty)$;

в) все производные функции $F(t, x, y, U_1, U_2, U_3, U_4, a)$ по переменным x, y, U_1, U_2, U_3, U_4 до четвертого порядка включительно удовлетворяют в области Ω_T локальному условию Липшица по совокупности переменных U_1, U_2, U_3, U_4, a .

Тогда справедливы утверждения:

а) при достаточно малых значениях T задача (1)–(4) имеет классическое решение,

б) задача (1)–(4) не может иметь в множестве $B_T \times C[0, T]$ более одного классического решения.

Литература

1. Велиев А. А. Мат-лы Республиканск. конф. молодых ученых по математике и механике. Изд-во "Элм", Баку, 1976. 2. Велиев А. А. Исследование классического решения одной нелинейной обратной одномерной краевой задачи для одного класса полулинейных гиперболических уравнений второго порядка. Деп. ВИНИТИ, № 2642, 1976. 3. Велиев А. А. Уч. зап. АГУ, серия физ.-матем. наук № 4, 1976. 4. Велиев А. А. Классическая разрешимость в малом одной одномерной обратной краевой задачи на полуоси для одного класса полулинейных гиперболических уравнений второго порядка. Деп. ВИНИТИ, № 884, 1977.

Институт математики и механики

Поступило 6. IV 1981

Э. А. Велиев

**ИКИНЧИ ТЭРТИБ ҚАЗИХӘТТИ ҮЙПЕРБОЛИК ТӘНЛИКЛЭР ҮЧҮН
ГОУЛМУШ БИР ИКИӨЛЧҮЛҮТ ТЭРС САРЬЭД МӘСӘЛӘСИННИН
КЛАССИК ҢӘЛЛИНИН ТӘДГИГИ**

Мәгәлә ашагыдағы мәсәләнин тәдгигинә баар олумушшур:

$$\left\{ \begin{array}{l} U_{tt} - \Delta U = a(t) b(t, x, y) U + F(t, x, y, U, U_t, U_x, U_y, a) \\ \quad (0 < t < T, 0 < x, y < 1), \end{array} \right. \quad (1)$$

$$\left\{ \begin{array}{l} U(0, x, y) = \varphi(x, y) \quad (0 < x, y < 1), \\ U_t(0, x, y) = \psi(x, y) \quad (0 < x, y < 1), \end{array} \right. \quad (2)$$

$$\left\{ \begin{array}{l} U(t, 0, y) = U(t, 1, y) = U(t, x, 0) = U(t, x, 1) = 0 \\ \quad (0 < t < T, 0 < x, y < 1), \end{array} \right. \quad (3)$$

$$U_x(t, 0, y) = g(t) \quad (0 < t < T). \quad (4)$$

Нарады 0 < T < +∞, ΔU = U_{xx} + U_{yy}, b(t, x, y), F(t, x, y, U, U_t, U_x, U_y, a), φ(x, y), ψ(x, y), g(t)-верилмиш функциялардыр. y₀ ∈ (0, 1) = верилмиш негтэдир, белэки, ∀ t ∈ [0, T] b(t, 0, y₀) ≠ 0, g(t) ≠ 0. U(t, x, y) вэ a(t)-исә ахтарылан функциялардыр.

Ишдэ (1)–(4) мәсәләсинин классик ңәллинин варлығы нағында локал, яканса ниғында исә гери-локал теорем исбат едилшидир.

A. A. Veliyev

**INVESTIGATION OF ONE REVERSE TWO-DIMENSIONAL EDGE
PROBLEM FOR QUASI-LINEAR HYPERBOLIC EQUATIONS
OF SECOND ORDER**

In the paper the theorem of existence in the small and theorem of uniqueness in the whole of the classic solution of one reverse two-dimensional problem for quasi-linear hyperbolic equations of second order is proved.

АЗЭРБАЙЖАН ССР ЕЛМЛЭР АКАДЕМИЯСЫНЫН МӘРҮЗЭЛЭРИ

ДОКЛАДЫ АКАДЕМИИ НАУК АЗЕРБАЙДЖАНСКОЙ ССР

ТОМ XXXIX ЧИЛД

№ 7

1983

МАТЕМАТИКА

О. М. МАМЕДОВ

АТОМНО-КОМПАКТНЫЕ ПОЛУРЕШЕТКИ

(Представлено академиком АН Азербайджанской ССР Ф. Г. Максудовым)

Общепринятой можно считать идею о том, что предмет алгебры начинался с решения уравнений и систем уравнений. Вполне естественным было и остается изучение конечных систем уравнений. Однако, что можно сказать о разрешимости бесконечных систем уравнений? Более конкретно, каковы т-алгебры (алгебраические системы [1]), в которых из разрешимости (соотв. выполнимости) всех конечных подсистем любой фиксированной системы уравнений (соотв. атомных формул) следует разрешимость (соотв. выполнимость) всей системы? Этот вопрос приводит к важному понятию эквациональной (атомной) компактности, введенному Мыцельским [2].

Напомним, что алгебраическая система А называется атомно-компактной, если для любого множества неизвестных X из того, что все конечные подмножества некоторого множества W атомных формул от X над А выполнимы в А, следует, что вся система W выполнима в А. Если в этом определении постулировать |X| = m, то получим понятие m-атомной компактности, в частности, можно говорить об 1-атомной компактности, т. е. рассматривать системы атомных формул только от одного переменного x. Ясно, что всякая атомно-компактная алгебраическая система является m-атомно-компактной и, в частности, 1-атомно-компактной.

В данной работе описываются атомно-компактные частично упорядоченные множества, являющиеся полурешетками относительно своего частичного порядка.

Достаточно подробный обзор теории эквациональной (атомной) компактности имеется в приложении 6 к книге Г. Гретцера [3]. Поэтому здесь мы приведем только результат Венгложа, необходимый для изложения. Венглож [4] доказал эквивалентность нижеуказанных условий для любого частично упорядоченного множества P = <P; <= >, являющегося решеткой:

- (1) P атомно-компактно;
 - (2) P 1-атомно-компактно;
 - (3) P является полной решеткой;
 - (4) P является инъективной в классе Ord всех частично упорядоченных множеств;
 - (5) P является инъективной в классе Lat (<) всех решеток, рассматриваемых как частично упорядоченные множества;
 - (6) P является абсолютным гетрактом в Ord;
 - (7) P является абсолютным гетрактом в Lat (<).
- Предположим, что S = <S; V> является полурешеткой. Через

$S(<)$ обозначим полурешетку S , рассматриваемую как частично упорядоченное множество. Отметим, что эквационально компактные полурешетки были описаны Г. Гретцером и Х. Лаксером (5); мы существенно используем их метод. Ясно, что если полурешетка S эквационально компактна, то реляционная система $S(<)$ атомно-компактна.

Теорема. Пусть $S = \langle S, V \rangle$ — полурешетка. Тогда следующие условия эквивалентны:

- (a) $S(<)$ атомно-компактна;
- (b) $S(<)$ 1-атомно-компактна;

(c) для любого подмножества $H \subseteq S$ существует супремум в S и для любого направленного вниз подмножества $C \subseteq S$ существует инфимум в S .

Доказательство. Импликация (a) — (b) очевидна.

(b) \rightarrow (c). Сначала докажем, что полурешетка S имеет наибольший элемент, т. е. является полурешеткой с единицей. Для этого рассмотрим следующую систему неравенств от одного неизвестного x :

$$W = \{a < x \mid a \in S\}.$$

Возьмем любую конечную подсистему $W' = \{a_i < x \mid i = 1, n; a_i \in S\}$ из W . Так как S является верхней полурешеткой, то $a_1 V \dots V a_n < x$. Поэтому в качестве решения системы W' можно взять $x = a_1 V \dots V a_n$. Итак, любая конечная подсистема W' из W имеет решение в $S(<)$. Так как $S(<)$ 1-атомно-компактна, то W имеет решение в $S(<)$. Последнее означает, что полурешетка S имеет наибольший элемент 1, т. е. S является полурешеткой с единицей. Для подмножества $H \subseteq S$ рассмотрим множество всех его верхних граней:

$$H^* = \{x \mid h < x \text{ для всех } h \in H\}.$$

Так как $1 \in H^*$, то H^* непусто. Рассмотрим следующую систему U в $S(<)$ от одного неизвестного x :

$$U = \{h < x < t \mid h \in H, t \in H^*\}.$$

Так же, как для приведенной системы W , можно убедиться, что любая конечная подсистема U' из U имеет решение в $S(<)$. Так как $S(<)$ 1-атомно-компактна, то U имеет решение в $S(<)$. Это, в свою очередь, означает, что подмножество H имеет супремум в S .

Пусть C — произвольное направленное вниз подмножество из $S(<)$. Система $V = \{x < a \mid a \in C\}$, очевидно, локально разрешима и имеет только одно неизвестное x . Из 1-атомной компактности $S(<)$ следует, что V имеет решение в $S(<)$. Последнее означает, что подмножество C имеет нижнюю грань, т. е. множество C^+ нижних граней этого направленного вниз подмножества непусто. Как мы уже доказали, любое подмножество полурешетки имеет супремум. В частности, существует $\sup C^+$ и $\sup C^+ = \inf C$.

(c) \rightarrow (a). Пусть W — произвольная локально разрешимая в $S(<)$ система неравенств. Через $\{x_i \mid i \in I\}$ обозначим множество всех неизвестных, участвующих в записи W . Каждое решение системы W , очевидно, является элементом S^1 . Легко понять, что полурешетка S^1 также обладает свойствами из пункта (c).

Рассмотрим множество всех решений некоторой фиксированной конечной подсистемы W' из W . Пусть, для определенности, $\{x_{i_1}, \dots, x_{i_n}\}$ — множество всех неизвестных, встречающихся в W' . Так как полу-

решетка S^1 является супремум-полной, то супремум в S^1 множества всех решений системы W' снова является решением системы W' . Пусть далее, для определенности, $\langle a_{i_1}, \dots, a_{i_n} \rangle$ является наибольшим решением системы W' . Отождествим кортеж $\langle a_{i_1}, \dots, a_{i_n} \rangle$ с элементом

$$w' = \langle 1, \dots, 1, a_{i_1}, \dots, 1, \dots, a_{i_n}, 1, \dots, 1 \rangle$$

из S^1 , где $w'(j) = 1$ при $j \in I \setminus \{i_1, \dots, i_n\}$ и $w'(i_1) = a_{i_1}, \dots, w'(i_n) = a_{i_n}$. Итак, каждой конечной подсистеме W' из W мы сопоставили некоторый элемент w' из S^1 , т. е. $w' = \varphi(W')$. Очевидно, $\varphi(W' \cup W'') \leq \varphi(W')$ и $\varphi(W' \cup W'') \leq \varphi(W'')$. Таким образом, совокупность $D = \{\varphi(W') \mid W' \subseteq W\}$ наибольших решений конечных подсистем W' системы W является направленным вниз подмножеством в S^1 . Тогда, очевидно, $w = \inf D \in S^1$. Нетрудно проверить, что w является решением W , т. е. w удовлетворяет каждому уравнению из W .

Следствие. Если S — полурешетка с нулем, то для $S(<)$ приведенные условия (1) — (7) эквивалентны.

Доказательство. Легко видеть, что полурешетка с нулем удовлетворяет условию (c) теоремы тогда и только тогда, когда она является полной решеткой.

Замечание. Рассмотрим случай полурешетки S без нуля. Из теоремы вытекает: если $S(<)$ атомно-компактна, то добавление к S внешнего нуля 0 приводит к полной атомной решетке S_0 такой, что S_0 — инфимумы всех направленных вниз подмножеств из S отличны от 0.

Приведем пример атомно-компактной полурешетки, которая не удовлетворяет условию (7) и, следовательно, условиям (4) — (7). Очевидно, полурешетка $\{a, b, 1 \mid a < 1, b < 1\}$ не является порядковым ретрактом решетки $\{0, a, b, 1 \mid 0 < a < 1, 0 < b < 1\}$.

Автор выражает благодарность Л. Н. Шеврину и Р. А. Байрамову за полезные обсуждения.

Литература

1. Мальцев А. И. Алгебраические системы. „Наука”, М., 1970.
2. Myslinski J. Some compactifications of general algebras. Coll. Math., 13, № 1, 1964, 1—9.
3. Gratzer G. Universal Algebra. Second ed., Springer-Verlag, Berlin, 1979.
4. Weglorz B. Completeness and compactness of lattices. Coll. Math., 16, № 2, 1967, 243—248.
5. Gratzer G., Lakser H. Equationally compact semilattices. Coll. Math., 20, № 1, 1969, 27—30.

Институт математики и механики

Поступило 12. VI 1981

О. М. Мамедов

АТОМИК КОМПАКТ ІАРЫМШӘБӘКӘЛӘР

Мәгәләдә атомик компакт йарымшәбәкәләр тәсвир олунур. Гејд едәк ки, еквасионал компакт йарымшәбәкәләри илк дәфә Гретсер вә Лаксер тәсвир етмишләр.

О. М. Mamedov

ATOMIC-COMPACT SEMILATTICES

Equationally compact semilattices were described by G. Grätzer and H. Lakser in 1969. However, a semilattice can be considered also as partially ordered set. Such relational structure is atomic compact if it satisfies the conditions (I) and (II) of Grätzer—Lakser's result about equationally compact semilattices.

УДК 517.97

МАТЕМАТИКА

ФАН ХОНГ КУАНГ, ФАН ЗУЙ ХАЙ

О НОВЫХ ЭФФЕКТИВНЫХ МЕТОДАХ ПРЕСЛЕДОВАНИЯ
В ЛИНЕЙНЫХ ДИФФЕРЕНЦИАЛЬНЫХ ИГРАХ

(Представлено академиком АН Азербайджанской ССР Ф. Г. Максудовым)

Линейные дифференциальные игры рассматривались во многих работах, например, в [1—7]. В них приведены различные достаточные условия возможности окончания преследования за конечное время. В настоящей работе приводятся новые методы преследования в линейных дифференциальных играх с геометрическими и интегральными ограничениями на управления. Доказанные теоремы обобщают теоремы о достаточных условиях поимки Л. С. Понтрягина^[1], М. С. Никольского^[4] и Н. Ю. Сатимова^[7]. Отличительной особенностью работы является то, что при построении управления преследования оптимально используется информация о прошлом поведении убегающего объекта. Статья примыкает к исследованиям [1—7].

1. Пусть движение вектора z в n -мерном евклидовом пространстве R^n описывается векторным дифференциальным уравнением

$$\dot{z} = Az + Bu - Cv; \quad z(0) = z_0, \quad (1)$$

где A, B, C —соответственно матрицы с размерами $n \times n, p \times n, q \times n$. Управляющие векторы преследователя u и убегающего v выбираются в классе измеримых векторных функций, удовлетворяющих ограничению

$$u(t) \in P(t); \quad v(t) \in Q(t), \quad (2)$$

где $P(t) \subset R^p, Q(t) \subset V^q$ —выпуклые, компактные множества, причем $P(t), Q(t)$ непрерывно зависят от t . В K^n задано некоторое терминальное множество $M = M_0 + M_1$, причем M_0 —подпространство пространства R^n , а $M_1 \subset L$, где L —ортогональное дополнение к M_0 в R^n , и пусть $\dim L = r$. Через π обозначаем оператор ортогонального проектирования из K^n на L . В L возьмем некоторый базис. Тогда оператору π соответствует некоторая матрица размера $n \times r$, которая обозначается через Π .

Будем говорить, что игру (1)—(2) из начального состояния $z_0 \in M$ можно закончить за время $t = t_1$, если по любой измеримой функции $v = v(t), 0 < t < t_1, v(t) \in Q(t)$ можно построить такую измеримую функцию $u = u(t), 0 < t < t_1, u(t) \in P(t)$, что траектория $z = z(t), 0 < t < t_1$ уравнения

$$\dot{z} = Az + Bu(t) - Cv(t); \quad z(0) = z_0$$

попадает на множество M при $t = t_1$: $z(t_1) \in M$. При этом для нахождения значения $u(t)$ параметра u в каждый момент времени $t \in [0, t_1]$,

разрешается использовать значения z_0 и $v(s), 0(t) < s < t$, где $\theta(t)$ —неотрицательная функция, определенная при $t > 0$ и $\theta(t) < t$.

Пусть

$$\psi_T(x, y) = \begin{pmatrix} \varphi_T^{11}(x, y), \dots, \varphi_T^{1r}(x, y) \\ \dots \\ \varphi_T^{r1}(x, y), \dots, \varphi_T^{rr}(x, y) \end{pmatrix}$$

—матрица непрерывных функций $\varphi_T^{ij}(x, y)$ по x, y , определенная при $0 < x < T, 0 < y < T$ и обладающая следующими свойствами

$$a) \quad \varphi_T(x, y) = 0 \text{ при } 0 < x < y < T \text{ или } 0 < y < \theta(x) \quad (3)$$

$$b) \quad Pe^{(T-t)A} BPt - \left[\left(E - \int_0^T \varphi_T(s, t) ds \right) Pe^{(T-t)A} CQ(t) + \int_0^T \varphi_T(t, s) Pe^{(T-s)A} CQ(s) ds \right] \neq \emptyset \quad (4)$$

при всех $t \in [0, T]$, где E , 0 —соответственно единичная и нулевая матрицы порядка r . Через $K(T)$ обозначаем множество всех $\varphi_T(x, y)$ со свойствами (3)–(4).

Теорема 1. Пусть $T_1 > 0$ такое число, что

$$1) \quad K(T_1) \neq \emptyset$$

2) Существует $\varphi_{T_1}(x, y) \in K(T_1)$ такая, что

$$-Pe^{T_1 A} z_0 \in \int_0^{T_1} \left\{ Pe^{(T_1-t)A} BP(t) - \left[\left(E - \int_0^t \varphi_{T_1}(s, t) ds \right) Pe^{(T_1-t)A} (Q(t) + \int_0^t \varphi_{T_1}(t, s) Pe^{(T_1-s)A} CQ(s) ds) \right] dt - M_1 \right\}$$

Тогда игра (1)–(2) из начального состояния $z_0 \in M$ заканчивается за время $t = T_1$.

Замечание. Положим $\varphi_T(x, y) \equiv \tilde{0}$ при всех T , тогда получаем результат Л. С. Понтрягина (см. [1]).

2. В этом пункте предположим, что M_1 —выпуклое множество. Пусть

$$\psi_T(x, y) = \begin{pmatrix} \psi_T^{11}(x, y), \dots, \psi_T^{1r}(x, y) \\ \dots \\ \psi_T^{r1}(x, y), \dots, \psi_T^{rr}(x, y) \end{pmatrix}$$

—матрица непрерывных функций $\psi_T^{ij}(x, y)$ по x, y , определенная при $0 < x < T, 0 < y < T$ и обладающая следующими свойствами

$$a) \quad \psi_T(x, y) = \tilde{0} \text{ при } 0 < x < y < T \text{ или } 0 < y < \theta(x) \quad (5)$$

б) Существует неотрицательная, суммированная на $[0, T]$ функция $\omega(t)$ такая, что

$$1) \quad \int_0^T \omega(t) dt = 1$$

$$2) \quad [-\omega(t) M_1 + Pe^{(T-t)A} BP(t)] - \left\{ \left(E - \int_0^T \psi_T(s, t) ds \right) Pe^{(T-t)A} CQ(t) + \int_0^T \psi_T(t, s) Pe^{(T-s)A} CQ(s) ds \right\} \neq \emptyset \text{ при всех } t \in [0, T]$$

Через $\bar{K}(T)$ обозначаем множество всех $\psi_T(x, y)$ со свойствами (5)–(6).

Теорема 2: Пусть $T_1 > 0$ такое число, что

- 1) $\bar{K}(T_1) \neq \emptyset$
- 2) Существуют $\psi_{T_1}^*(x, y) \in \bar{K}(T_1)$ и неотрицательная, суммируемая на $[0, T_1]$ функция $\omega^*(t)$ такие, что

$$a) \quad \int_0^{T_1} \omega^*(t) dt = 1$$

$$b) \quad -Pe^{T_1 A} z_0 \in \int_0^{T_1} [(-\omega^*(t) M_1 + Pe^{(T_1-t)A} B P(t)) - \\ - \left[\left(E - \int_0^{T_1} \psi_{T_1}^*(s, t) ds \right) Pe^{(T_1-t)A} C Q(t) + \int_0^{T_1} \psi_{T_1}^*(t, s) Pe^{(T_1-s)A} C_{\sim}(s) ds \right] \right] dt$$

Тогда игра (1)–(2) из начального состояния $z_0 \in \bar{M}$ заканчивается за время $t=T_1$.

Замечание. Положим $\psi_T(x, y) = \bar{0}$ при всех T , тогда получаем результат Н. Ю. Сатимова (см. [7]).

3. В этом пункте рассматривается линейная дифференциальная игра преследования с интегральными ограничениями.

Пусть движение вектора $z \in K^n$ описывается уравнением (1), причем управления преследователя и убегающего удовлетворяют ограничениям

$$\int_0^{\infty} \|u(s)\|^2 ds \leq p^2, \quad \int_0^{\infty} \|v(s)\|^2 ds \leq \sigma^2, \quad (7)$$

где $p > 0$, $\sigma \geq 0$. Будем говорить, что игру (1), (7) из начального состояния $z_0 \in M$, можно закончить за время $t=t_1$, если по любой измеримой функции $v=v(t)$, $0 \leq t \leq t_1$, $\int_0^{t_1} \|v(t)\|^2 dt \leq \sigma^2$, можно построить такую измеримую функцию

$$u = u(t), \quad 0 \leq t \leq t_1, \quad \int_0^{t_1} \|u(t)\|^2 dt \leq p^2,$$

что траектория $z=z(t)$, $0 \leq t \leq t_1$ уравнения

$$\dot{z} = Az + Bu(t) - Cv(t); \quad z(0) = z_0$$

попадает на множество M при $t=t_1$. При этом для нахождения значения $u(t)$ параметра u в каждый момент времени $t \in [0, t_1]$, разрешается использовать значения z_0 и $v(s)$, $\theta(t) \leq s \leq t$, где $\theta(t)$ как в пункте 1.

Пусть

$$\Phi_T(x, y) = \begin{pmatrix} \Phi_T^{11}(x, y), \dots, \Phi_T^{1r}(x, y) \\ \vdots \\ \Phi_T^{r1}(x, y), \dots, \Phi_T^{rr}(x, y) \end{pmatrix}$$

— матрица непрерывных функций $\Phi_T^i(x, y)$ по x, y , определенная при $0 \leq x \leq T$, $0 \leq y \leq T$ и обладающая следующими свойствами

$$a) \quad \Phi_T(x, y) = \bar{0} \text{ при } 0 \leq x < y \text{ или } 0 \leq y < \theta(x) \quad (8)$$

б) Существуют линейные операторы $F_T(t)$, $G_T(t, s)$ из K^q в R^p , непрерывно зависящие от t, s , такие, что

$$G_T(t, s) = 0 \text{ при } 0 \leq t < s \text{ или } 0 \leq s < \theta(t) \quad (9)$$

$$Pe^{(T-t)A} BF_T(t) = \left(E - \int_0^T \Phi_T(s, t) ds \right) Pe^{(T-t)A} C, \quad 0 \leq t \leq T \quad (10)$$

$$Pe^{(T-t)A} BG_T(t, s) = \Phi_T(t, s) Pe^{(T-s)A} C \quad (11)$$

Через $K^*(T)$ обозначаем множество всех $\Phi_T(x, y)$ со свойствами (8)–(11).

Предположение 1. Пусть $T_1 > 0$ такое, что $K^*(T_1) \neq \emptyset$.

Пусть $\Phi_T(x, y) \in K^*(T_1)$ и $F_{T_1}^*(t)$, $G_{T_1}^*(t, s)$ — линейные операторы из K^q в R^p , удовлетворяющие (9)–(11). Положим

$$\chi^2(T_1) = \sup_{T_1} \int_0^{T_1} \left\| F_{T_1}^*(t) v(t) + \int_0^t G_{T_1}^*(t, s) v(s) ds \right\|^2 dt$$

Предположение 2. Пусть $\chi(T_1) \leq p$

Введем в рассмотрение множество

$$\Omega(T_1) = \left\{ \int_0^{T_1} Pe^{(T_1-s)A} B \omega(s) ds : \int_0^{T_1} \|\omega(s)\|^2 ds \leq (p - \chi(T_1))^2 \right\},$$

где $\omega(s)$ — p -мерная вектор-функция.

Предположение 3. Пусть

$$-Pe^{T_1 A} z_0 \in \Omega(T_1) - M_1$$

Теорема 3. Пусть выполнены предположения 1–3, то игра (1), (7) из начального состояния $z_0 \in M$ заканчивается за время $t=T_1$.

Замечание. Положим $\Phi_T(x, y) = \bar{0}$ при всех T , тогда получаем результат М. С. Никольского (см. [4]).

В заключение заметим, что полученные теоретические результаты применяются для исследования некоторых конкретных задач в теории дифференциальных игр, к которым методы преследования в [1], [4], [7] не применимы.

Авторы выражают благодарность А. Я. Азимову за обсуждение работы и полезные замечания,

Литература

1. Понtryагин Л. С. ДАН СССР. т. 174, № 6, стр. 1278–1280, 1967.
2. Пшеничный Б. Н. Автоматика и телемеханика, № 1, стр. 65–78, 1968.
3. Пшеничный Б. Н., Онопчик Ю. Н. Изв. АН СССР, Техническая кибернетика, № 1, стр. 13–22, 1968.
4. Никольский М. С. Управляемые системы. ИМ. ИК СО АН СССР, вып. 2, стр. 49–59, 1969.
5. Азимов А. Я. Изв. АН СССР, Техническая кибернетика, № 2, стр. 31–35, 1974.
6. Сатимов Н. Ю. Дифференциальные уравнения, т. 9, № 11, стр. 2000–2009, 1973.
7. Сатимов Н. Ю. Мат. сб. т. 99, № 3, стр. 380–393, 1976.

Фам Хонг Куанг, Фан Зуй Хай

ХЭТТИ ДИФЕРЕНСИАЛ ОЈУНЛАРДА ЁНИ ЕФФЕКТИВ ТЭГИБ
МЕТОДЛАРЫ ҺАГГЫНДА

Мэглэдээ һэндэсийн вэ интеграл мэхдүүдийн этлийг хэтти диференциал ојунда тэгив бахылыр:

$$\begin{aligned} \dot{z} &= Az + Bu - Cv; \quad z(0) = z_0 \\ u(t) &\in P(t), \quad v(t) \in Q(t) \end{aligned}$$

вэ ja

$$\int_0^{+\infty} \|u(s)\|^2 ds > p^2; \quad \int_0^{+\infty} \|v(s)\|^2 ds < c^2$$

Верилмийш нэгтэдэй ојуну гуртармаг үчүн ёни еффектив методлар верилдир.

Fam Hong Quang and Fan Zui Khai

ABOUT NEW EFFECTIVE METHODS OF PURSUIT IN LINEAR
DIFFERENTIAL GAMES

Linear differential games with geometrical or integral restrictions are considered.
New effective sufficient conditions are presented with guarantee of the possibility of completing the pursuit from a given point.

АЗЭРБАЙЧАН ССР ЕЛМЛЭР АКАДЕМИЯСЫНЫН МЭРҮЗЭЛЭРИ

ДОКЛАДЫ АКАДЕМИИ НАУК АЗЕРБАЙДЖАНСКОЙ ССР

ТОМ XXXIX ЧИЛД

№ 7

1983

УДК 517.512

МАТЕМАТИКА

АРИФ С. ДЖАФАРОВ

НОВЫЕ АНАЛОГИ МЕТОДА СУММИРОВАНИЯ
БЕРН ТЕЙНА—РОГОЗИНСКОГО

(Представлено академиком АН Азербайджанской ССР И. И. Ибрагимовым)

В статье для рядов по классическим ортогональным многочленам и рядов сферических гармоник вводятся новые, „осредненные“ методы суммирования Бернштейна—Рогозинского (БР). Изучаются вопросы о регулярности этих методов суммирования, их связи с методом (С, 1), а в некоторых случаях, также порядок приближения. Определения этих методов и полученные результаты отличны от имеющихся в непериодическом случае соответствующих определений и результатов (см., например, [1], с. 457).

1. Общая теорема о регулярности и обобщенное тождество Рогозинского. Для произвольного числового ряда $\sum u_k$, исходя из заданной последовательности функций $\{\psi_k(h)\}$, $h \geq 0$, составим сумму

$$B_n(h) = B_n(\{\psi_k\}; h) = \sum_{k=0}^n \psi_k(h) u_k. \quad (1)$$

Такое преобразование при $\psi_k(h) = \Phi(kh)$, где $\Phi(t)$ —заданная функция рассматривается в литературе в связи с методом суммирования Бернштейна—Рогозинского для тригонометрических рядов. Последнее как известно, для числовых рядов определяется как метод множителей с матрицей $\{\cos kh_n\}$. Названные вначале „осредненные“ методы БР приводят к рассмотрению именно преобразования вида (1).

Обозначая

$$\Delta\psi_k(h) = \psi_k(h) - \psi_{k+1}(h), \quad \Delta^2\psi_k(h) = \Delta[\Delta\psi_k(h)],$$

будем предполагать выполнение следующих условий, равномерно относительно h на $0 \leq h \leq \frac{A}{n}$, при любом постоянном A :

- 1) $|\psi_k(h)| \leq M$; 2) $n\Delta\psi_{n-1}(h) = O(1)$; 3) $(k+1)\Delta^2\psi_k(h) = O(n^{-1})$ ($0 \leq k \leq n-1$).

Теорема 1.1. Если $\sum u_k = S$, то при любом A

$$B_n(h) \rightarrow S\psi_0(h) \quad (n \rightarrow \infty)$$

равномерно относительно h на $0 \leq h \leq A/n$.

Теорема 1.2. Если $\sum u_k = S(C, 1)$, $S_n = \sum_{k=0}^n u_k$, то

$$B_n(h) - S\psi_0(h) = [S_n - S]\psi_0(h) + r_n(h),$$

где $r_n(h) \rightarrow 0$ при $n \rightarrow \infty$ равномерно относительно h на $0 \leq h \leq A/n$.

Лемма 1.1. Пусть $\sigma_k = (k+1)^{-1} \sum_{i=0}^n S_i$. Если $\psi_0(h) \equiv 1$, $h_u = O(n^{-1})$ и $\psi_n(h_u) = 0$, то для любого S

$$|B_n(h_n) - S| = O(n^{-1}) \sum_{x=0}^{n-2} |\sigma_x - S| + O(1)|\sigma_{n-1} - S|.$$

2. Случай рядов по многочленам Якоби. Пусть $S_n^{(\alpha, \beta)}(x)$ —частные суммы ряда по многочленам Якоби $P_n^{(\alpha, \beta)}(x)$. Для случаев $\alpha = \beta = -1/2$, $\alpha > \beta > -1/2$, исходя из „осреднения“ $T_h^{(\alpha, \beta)}(f; x) = \omega^{(\alpha, \beta)}(x)$ функции f из [2], положим

$$B_n^{(\alpha, \beta)}(x; h) = T_h^{(\alpha, \beta)}(S_n^{(\alpha, \beta)}; x).$$

Данное преобразование с $h = h_n$, где $h_n \geq 0$ и $h_n \rightarrow 0$ при $n \rightarrow \infty$, доставляет нам метод суммирования, который будем называть „осредненным“ методом БР (α, β) . Этому методу соответствует метод множителей с матрицей $\{R_k^{(\alpha, \beta)}(\cos h_n)\}$, где $R_k^{(\alpha, \beta)}(x) = P_k^{(\alpha, \beta)}(x)/P_k^{(\alpha, \beta)}(1)$.

Лемма 2.1. Если $q = \max(\alpha, \beta) \geq -1/2$, то для $-1 \leq x \leq 1$ и $k \geq 0$

$$|\Delta K_k^{(\alpha, \beta)}(x)| \leq C_{\alpha, \beta} \cdot (1-x)(k+1)^{q-\alpha+1};$$

$$|\Delta^2 K_k^{(\alpha, \beta)}(x)| \leq C_{\alpha, \beta} \cdot (1-x)(k+1)^{q-\alpha}.$$

Теорема 2.1. Пусть $\max(\alpha, \beta) = \alpha \geq -1/2$, тогда: 1) Метод БР (α, β) регулярен при $h_n = O(n^{-1})$; 2) Если $h_{vn}^{(\alpha, \beta)}$ ($v=1, 2, \dots, n$)—нули $P_n^{(\alpha, \beta)}(\cosh)$, занумерованные в возрастающем порядке, то методы БР (α, β) с $h_u = h_{vn}^{(\alpha, \beta)}$ не слабее метода (С, 1); 3) Справедливы соответствующие тождества Рогозинского,

Теорема 2.2. Если заданный ряд является рядом Фурье функции $f \in C[-1, 1]$, то при $\alpha = \beta = -1/2$ или $1/2 > \alpha > \beta > -1/2$

$$\|f - B_n^{(\alpha, \beta)}(f; h_n)\|_{C[-1, 1]} \leq C_{\alpha, \beta} E_n(f) + \omega^{(\alpha, \beta)}(f; h_u), \quad h_u = h_{vn}^{(\alpha, \beta)},$$

здесь $E_n(f)$ —наилучшее приближение f алгебраическими полиномами порядка n , $\omega^{(\alpha, \beta)}(f; \delta)$ —его „осредненный“ модуль непрерывности [2].

3. Случай рядов по многочленам Лежандра. При $\alpha = \beta = 0$ мы рассмотрим еще новые преобразования. Обозначив $f^{(0, 0)}(x; y) = f_{\arccos y}^{(0, 0)}(x)$ положим

$$T_h^{(\mu)}(f; x) = f_h^{(\mu)}(x) =$$

$$= \begin{cases} \frac{1}{\pi} \int_0^1 (1-t)^{\mu-1} f^{(0, 0)} \left(x; 1 - 2t \sin^2 \frac{h}{2} \right) dt & (0 < \mu < 1), \\ \frac{1}{2} \int_0^\pi f^{(0, 0)} \left(x; 1 - 2 \sin^2 \theta \sin^2 \frac{h}{2} \right) \sin \theta d\theta & (\mu = 0), \end{cases}$$

Преобразование

$$B_n^{(\mu)}(x, h) = T_h^{(\mu)}(S_n^{(0, 0)}; x),$$

с $h = h_n$ доставляет нам метод суммирования $\text{БР}^{(\mu)} = \text{БР}^{(\mu)}(0, 0)$, которому соответствует метод множителей с матрицей $\{\rho_k^{(\mu)}\}$, где $\rho_k^{(\mu)} = R_k^{(\mu, -\mu)}(\cosh h_n)$ при $0 < \mu < 1$, и $\rho_k^{(0)} = R_k^{1/2, 1/2}(\cosh h_n)$ при $\mu = 0$,

Для методов $\text{БР}^{(\mu)}$ справедливы аналоги теорем 2.1 и 2.2.

4. Случай рядов сферических гармоник. Пусть $S_n^{(m)}(x)$ —частные суммы ряда m -мерных ($m \geq 3$) сферических гармоник. Исходя из „осреднения“ $T_h(f; x) = f_h(x)$ функции f (см., например, [3]), положим

$$B_n^{(m)}(x; h) = T_h(S_n^{(m)}; x).$$

Это преобразование доставляет нам метод суммирования $\text{БР}(S^m)$, с соответствующей матрицей $R_k^{(1-m/2, 1-m/2)}(\cos h_n)$, где $\lambda = (m-2)/2$.

Имеет место аналог теоремы 2.1. При $m=3$, когда заданный ряд есть ряд Лапласа, доказан аналог теоремы 2.2. Получена также локальная оценка, как „логарифмическое“ среднее величин $W[f; x] \left(\frac{\pi}{\kappa+1} \right)$ [3], в случае метода „логарифмических“ средних рядов Лапласа.

5. Случай рядов по многочленам Лагерра. Пусть $S_n^{(\alpha)}(x)$ —частные суммы ряда по многочленам Лагерра $L_n^{(\alpha)}(x)$. При $\alpha > 0$, исходя из „осреднения“ $T_h^{(\alpha)}(f; x)$ функции f из [4], положим

$$B_n^{(\alpha)}(x; h) = T_h^{(\alpha)}(S_n^{(\alpha)}; x).$$

Это преобразование определяет метод суммирования $\text{БР}(L^\alpha)$ с матрицей $\{\bar{L}_k^{(\alpha)}(h_n)\}$, где $\bar{L}_k^{(\alpha)}(x) = L_k^{(\alpha)}(x)/L_k^{(\alpha)}(0)$.

Теорема 5.1. Пусть $\alpha > 0$, тогда: 1) Метод $\text{БР}(L^\alpha)$ регулярен при $h_n = O(n^{-1})$; 2) Если $h_{vn}^{(\alpha)}$ ($v=1, 2, \dots, n$)—нули $L_n^{(\alpha)}(h)$, то методы $\text{БР}(L^\alpha)$ с $h_u = h_{vn}^{(\alpha)}$ не слабее метода (С, 1); 3) Справедливо соответствующее тождество Рогозинского.

Лемма 5.1. Если $\alpha > 0$, то для $x \geq 0$ и $\kappa \geq 0$

$$|\Delta \bar{L}_k^{(\alpha)}(x)| \leq C_\alpha \cdot x e^{x/2}; \quad |\Delta^2 \bar{L}_k^{(\alpha)}(x)| \leq C_\alpha \cdot x e^{x/2} (k+1)^{-1}.$$

Следствие. Для $0 \leq h \leq 1$ и $\kappa \geq 0$

$$|1 - \bar{L}_k^{(\alpha)}(h)| \leq C_\alpha \cdot \kappa h. \quad (2)$$

Можно показать, что существует число $a > 0$ такое, что при $0 \leq \kappa h \leq a$ оценка (2) допускает обращение. Эти неравенства позволяют получить соответствующие реализации общих теорем из [2] и [5] в случае рядов Фурье—Лагерра, полагая в них $m_1 = m_2 = 1$, $\phi_k(h) = \bar{L}_k^{(\alpha)}(h)$, $x_h = f_h^{(\alpha)}(t) \cong T_h^{(\alpha)}(f; t)$.

6. Случай рядов по многочленам Эрмита. Пусть $S_n(x)$ —частные суммы ряда по многочленам Эрмита $H_n(x)$. Исходя из „осреднения“ $T_h(f; x) = f_h(x)$ функции f из [5], вид которого связан со свойствами многочленов Эрмита, положим

$$B_n(x; h) = T_h(S_n; x).$$

Это преобразование определяет метод суммирования $\text{БР}(H)$, которому соответствует метод множителей с матрицей $\{(1-h_n)^{k/2}\}$.

Теорема 6.1. Справедливы утверждения: 1) Метод $\text{БР}(H)$ регулярен при $h_n = O(n^{-1})$; 2) Справедлива тождество Рогозинского.

7. Некоторые замечания. Теорема 1 из [6], теоремы 1—2 и неравенство (3) из [7] остаются справедливыми и в общем случае для биортогональных разложений элементов из E , если только система $\{\varphi_k\}$ является F -системой (системой Фейера) в E .

Системы полиномов Лагерра $\{L_n^{(\alpha)}(x)\}$ ($\alpha > -1$) и Эрмита $\{H_n(x)\}$ являются F -системами в весовых L_p -пространствах, $1 \leq p \leq \infty$, рассмотренных в [8] (в случае системы $\{H_n(x)\}$ при $p = \infty$ можно положить также $r = 0$); система ультрасферических полиномов $\{P_n^{(\alpha)}(x)\}$ является F -системой в весовых L_p -пространствах, рассмотренных в [9].

Если $\|\cdot\|$ — норма в названных пространствах, D — дифференциальный оператор Лагерра с $\alpha > -1$, Эрмита или Якоби с $\alpha = \beta = \lambda - 1/2$, $\lambda > 0$, то для любого алгебраического полинома $P_n(x)$ степени n

$$\|DP_n\| \ll \text{const.} n^{\tau} \|P_n\|,$$

где $\tau = 1$ в случаях операторов Лагерра и Эрмита, и $\tau = 2$ в случае оператора Якоби.

Далее, в связи с теоремой 2.2 и ее некоторыми локальными аналогами, легко показать, что

$$f(x) - T_h^{(\alpha, \beta)}(f; x) = O\{\omega_2(f; \sqrt{1-x^2}\delta) + \omega(f; |x|\delta^2)\} \quad (\|f\| \leq \delta).$$

Теорема 2.5 при $\alpha = \beta = -1/2$ и $\alpha = \beta = 0$ дает возможности для функции $f \in C[-1, 1]$ в терминах порядка убывания к центру их коэффициентов Фурье—Лежандра, в случае неотрицательности последних, установить критерий принадлежности f к классу $H^{(\alpha, \beta)}[\varphi]$ [2].

Введенные в пунктах 1—4 методы БР насыщены с порядком n^{-2} .

Теоремы 2.1—2.2 выводятся с помощью леммы 2.1 из результатов п. 1 при $\psi_k(h) = R_k^{(\alpha, \beta)}(\cosh h)$. Точно также поступаем в других случаях.

Локальная теорема о порядке приближения получена и в случае методов суммирования БР (L°).

Литература

- Геронимус Я. Л. Дополнение к книге Г. Сеге „Ортогональные многочлены”. М., 1962.
- Джафаров А. С. „ДАН СССР”, т. 236, № 2, 1977.
- Джафаров А. С. „ДАН СССР”, т. 233, № 2, 1972.
- Askey R. SIAM, 61—85, 1970.
- Джафаров А. С., Алиев б. И. „ДАН Азерб. ССР”, т. 32, № 1, 1976.
- Харшиладзе Ф. И. „ДАН СССР”, т. 122, № 3, 1958.
- Джафаров А. С. „Изв. АН Азерб. ССР, серия матем.”, № 3, 1965.
- Poiani E. L. Trans. AMS, № 173, 1972.
- Миссенхорн В., Stein E. M. Trans. AMS, № 118, 1965.

АГУ им. С. М. Кирова

Поступило 25. I 1982

А. С. Чәфәров

БЕРНШТЕЙН—РОГОЗИНСКИ ЧӘМЛӘМӘ ҮСҮЛҮНҮН ЈЕНИ АНАЛОГЛАРЫ

Мәгәләдә классик ортогонал чохһәддиләр узрә сыралар үчүн Бернштейн—Рогозински чәмләмә үсүлүнүн јени аналоглары төзүн олумышшур. Регуллярлыг (С, 1) чәмләмә үсүлү илә элагә вә жаһылашма тәртиби мәсәләләри тәдгиг олунур. Уңун мәсәләләре сферик функциялар сырасы үчүн дә баһалылар.

Arif S. Dzafarov

NEW ANALOGUES OF THE BERNSTEIN—ROGOSINSKI SUMMABILITY METHOD

In this paper the new analogues of the Bernstein—Rogosinski summability method for the series of the classical orthogonal polynomials are introduced.

Б. А. ТАИРОВ, А. А. МУСАЕВ, чл.-корр. АН Азерб. ССР
М. Г. ШАХТАХТИНСКИЙ

ТЕМПЕРАТУРНАЯ ЗАВИСИМОСТЬ КИНЕТИЧЕСКИХ ПАРАМЕТРОВ СПЛАВА $\text{Bi}_{80}\text{Sb}_{20}$

На основе исследования температурных зависимостей гальваномагнитных коэффициентов производился расчет кинетических параметров (компонентов подвижностей носителей тока и их концентрации) сплава $\text{Bi}_{80}\text{Sb}_{20}$ в интервале температур $77 \div 300$ К.

Как показывают эксперименты, в сплаве $\text{Bi}_{80}\text{Sb}_{20}$, так же, как и в других составах [1—2], характер изменения всех компонентов магнитосопротивления с температурой остается постоянным. Качественно это должно свидетельствовать о сохранении отношений подвижностей электронов и дырок. В действительности при учете многодолинной зонной структуры магнитосопротивление оказывается зависящим как от участия в явлениях переноса различных типов носителей, так и соотношений компонентов их подвижностей в различных кристаллографических направлениях. Если предположить, что соотношения между компонентами подвижности отдельных групп носителей тока не изменяются с температурой, актуальными для явлений переноса остаются те же экстремумы валентной зоны и зоны проводимости, а также не изменяются отношения подвижностей носителей тока, то кривые изменения с температурой всех компонентов магнитосопротивления должны оказаться строго подобными. Для количественной интерпретации полученных экспериментальных результатов гальваномагнитным свойствам твердых растворов Bi—Sb использовались соотношения между компонентами тензоров гальваномагнитных коэффициентов и компонентами подвижностей электронов и дырок, определяемые моделью энергетического спектра. Такая интерпретация позволяет, с одной стороны, по согласию экспериментальных и вычисленных величин судить о правильности выбора модели энергетического спектра и, с другой — о характере изменения параметров спектра, поскольку с учетом анизотропии времени релаксации (или в предположении его изотропности) компоненты тензора подвижности характеризуют соответствующие компоненты тензора эффективной массы.

Для расчета кинетических параметров сплава $\text{Bi}_{80}\text{Sb}_{20}$ на основании полученных экспериментально значений гальваномагнитных коэффициентов и из анализа литературных данных [3—4] в качестве исходной была принята модель, представляющая поверхность Ферми электронов в виде трех переходящих друг в друга при повороте на 120° эллипсоидов общего типа, слегка наклоненных по отношению к тригональной оси (L -электроны). Поверхность Ферми дырок представляется тремя или шестью эллипсоидами общего типа, наклоненными относительно тригональной оси и располагающимися в точке H .

или $\Sigma(TW)$ зоны Бриллюэна. Принятая нами модель описывается девятью параметрами: тремя компонентами подвижности электронов (μ_1, μ_2, μ_3) тремя компонентами подвижности дырок (v_1, v_2, v_3), углом наклона электронных эллипсоидов φ_e , углом наклона дырочных эллипсоидов φ_h и концентраций $N_e = N_h$. Для определения численных значений с помощью программы, составленной на языке ФОРТРАН IV для ЭВМ ЕС-1022, производилась минимизация следующей функции

$$f = \sum_{i=1}^n \left[v_i \left(\frac{\sigma_i^{(\text{эксп.})} - \sigma_i^{(\text{расч.})}}{\sigma_i^{(\text{расч.})}} \right) \right],$$

которая является суммой взвешенных квадратов относительных отклонений экспериментально наблюдаемых значений, составляющих тензор магнитопроводности $\sigma_i^{(\text{эксп.})}$ от их рассчитанных значений $\sigma_i^{(\text{расч.})}$. Значения весов v_i выбирались в соответствии с относительной экспериментальной точностью наблюдения $\Delta\sigma_i^{(\text{эксп.})}$, где

$$v_i = \frac{1}{\Delta\sigma_i^{(\text{эксп.})}}$$

На рис. 1 показаны вычисленные таким образом на ЭВМ температурные зависимости компонентов тензора подвижности электронов

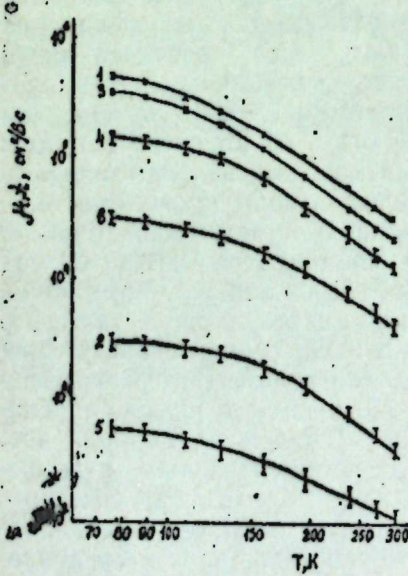


Рис. 1. Температурная зависимость компонентов тензора подвижности электронов и дырок для сплава $\text{Bi}_{80}\text{Sb}_{20}$: 1— μ_1 ; 2— μ_2 ; 3— μ_3 ; 4— v_1 ; 5— v_2 ; 6— v_3 .

и дырок в сплаве $\text{Bi}_{80}\text{Sb}_{20}$, множество полученных решений находится внутри обозначенных на рисунке отрезков. Как видно из рисунка, все решения лежат в довольно узких интервалах, свидетельствуя об однозначности проведенных расчетов. Об однозначности проведенной интерпретации свидетельствует также построенная температурная зависимость усредненных по трем направлениям подвижностей электронов и дырок от температуры (рис. 2). Все полученные значения усредненных подвижностей лежат в пределах доверительного интервала, показанного на графике отрезками прямых. С другой стороны,

для объяснения характера температурной зависимости подвижности и концентрации носителей тока также можно использовать простую двухзонную модель [5] с усреднением непосредственно измеряемых

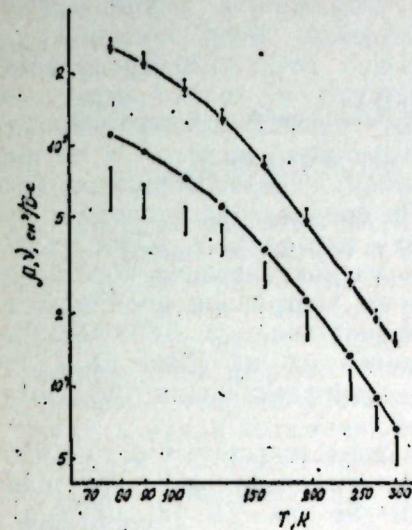


Рис. 2. Температурная зависимость подвижностей сплава $\text{Bi}_{80}\text{Sb}_{20}$
○—электронов μ , ●—дырок v , рассчитанной по изотропной модели; в доверительных интервалах—подвижностей электронов и дырок, усредненных по трем направлениям.

гальваномагнитных коэффициентов. Рассчитанные таким образом величины усредненных подвижностей при различных температурах показаны также на рис. 2. Обращает на себя внимание то, что для электронов температурная зависимость усредненной подвижности, найден-

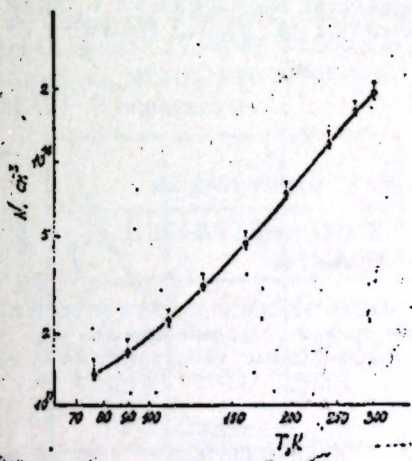


Рис. 3. Температурная зависимость концентрации носителей заряда сплава $\text{Bi}_{80}\text{Sb}_{20}$: ○—рассчитанная по изотропной модели; в доверительном интервале—рассчитанная по многодолинной модели.

ная путем расчета согласно многодолинной модели, практически совпадает с зависимостью, найденной согласно многодолинной модели, практически совпадает с зависимостью, найденной согласно изотропной модели.

Для дырочных подвижностей согласие между величинами подвижностей, определенными этими двумя способами, также можно

считать удовлетворительным, однако разница в кривых значительно больше, чем для электронных подвижностей. Кроме того, разброс значений, полученных при решении на ЭВМ, также больше.

Такая разница может быть объяснена следующим образом: подвижности электронов значительно выше подвижности дырок, благодаря чему определение последних (естественно, через общую подвижность) должно производиться с меньшей точностью. Кроме того возможно, что в явлениях переноса участвуют не только дырки, но и дырки другой зоны, вклад которых, хотя и незначителен, но может привести к некоторому изменению результатов расчета. В то же время выделение этого вклада мы считаем нецелесообразным, поскольку для этого надо увеличить число определяемых параметров и, следовательно уменьшить однозначность проводимых вычислений.

Переходя к температурному изменению концентрации носителей тока, надо отметить, что ее определение по изотропной модели дает еще более хорошее согласие с многодолинной моделью. Действительно, из рис. 3 видно, что множество полученных на ЭВМ решений дает значения, полностью совпадающие с определенными по изотропной модели.

Таким образом проведенные расчеты свидетельствуют о том, что модель поверхности Ферми, ранее применявшаяся для интерпретации гальваномагнитных эффектов в сплавах Bi-Sb при 77К [2], правильно описывает их изменение вплоть до 300 К.

Литература

1. Мусаев А. А., Томтиев Д. С., Шахтахтинский М. Г., Таиров Б. А. Изв. АН Азерб. ССР, серия физ.-тех. и матем. наук, № 4, 1979.
2. Мусаев А. А., Томтиев Д. С., Шахтахтинский М. Г. Изв. АН Азерб. ССР, серия физ.-тех. и матем. наук, № 4, 1978.
3. Брант Н. Б., Дитман Х. И., Пономарев Я. Г. ФТГ, 13, 10, 2860, 1971.
4. Брант Н. Б., Чудинов С. М., Караваев В. Г. ЖЭТФ 70, 1197, 1976.
5. Левитский Ю. Т., Иванов Г. А. ФИМ, т. 28, № 5, 1969.

Институт физики

Поступило 5. VII 1982

Б. А. Таиров, А. А. Мусаев, М. Г. Шахтахтинский

$\text{Bi}_{50}\text{Sb}_{20}$ ХЭЛИТЭСИНДЭ КИНЕТИК ПАРАМЕТРЛЭРИН ТЕМПЕРАТУР АСЫЛЫЛЫГЫ

Гальваномагнит эмсалларынын температур асылылыгларынын тэдгиги иэтичэсийде $\text{Bi}_{50}\text{Sb}_{20}$ хэлитэсийнин 77-300 К-дэ кинетик параметрлэри несабланмышидыр.

Электрон вэ дешниклэрин Ферми сэтгийнин формасынын температурдан асылы олмамасы көстэрлилмишидир.

Б. А. Таиров, А. А. Мусаев, М. Г. Шахтахтинский

TEMPERATURE DEPENDENCE OF KINETIC PARAMETERS OF $\text{Bi}_{50}\text{Sb}_{20}$ ALLOY

Kinetic parameters of $\text{Bi}_{50}\text{Sb}_{20}$ alloy have been calculated by means of galvanomagnetic coefficients measurements in the temperature range of 77-300K. It has been shown that Fermi surface for electrons and holes in $\text{Bi}_{50}\text{Sb}_{20}$ alloy does not change with temperature.

АЗЭРБАЙЧАН ССР ЕЛМЛЭР АКАДЕМИЈАСЫНЫН МӨРҮЗЭЛЭРИ

ДОКЛАДЫ АКАДЕМИИ НАУК АЗЕРБАЙДЖАНСКОЙ ССР

ТОМ XXXIX ЧИЛД

№ 7

1983

УДК 21.315.529

ФИЗИКА ПОЛУПРОВОДНИКОВ

Чл.-корр. АН Азерб. ССР М. Г. РАМАЗАНЗАДЕ, М. А. ДЖАФАРОВА

О ПОДВИЖНОСТИ ЭЛЕКТРОНОВ В $(\text{InSb})_x - (\text{InTe})_{1-x}$

Твердые растворы на основе соединений A^3B^5 являются достаточно хорошо изученными и широко применяемыми материалами. Однако имеется ряд невыясненных вопросов. Изучение влияния искажения решетки сплава на рассеяние электронов и фононов можно отнести к их числу. Экспериментальные результаты и теоретические интерпретации данного вопроса, по-видимому, внесли бы свой вклад в изучение твердых растворов и их практическое применение. Изучению влияния искажения решетки сплава на рассеяние электронов посвящены ряд теоретических работ [1-3]. Границные условия этих теорий ограничивают их применимость к широкому классу твердых растворов.

Однако при опробовании этих теорий на различных материалах [4] получено хорошее согласие с экспериментальными результатами.

Данная работа посвящена исследованию влияния искажения решетки сплава на рассеяние электронов в твердом растворе $(\text{InSb})_x - (\text{InTe})_{1-x}$. Электрические и тепловые свойства твердых растворов $(\text{InSb})_x - (\text{InTe})_{1-x}$ исследованы авторами работ [5-9] достаточно хорошо.

На рис. 1 приводятся результаты исследований подвижности от состава (кр. 1). Как видно из рисунка, подвижность электронов монотонно падает с увеличением содержания теллурида индия. Вначале

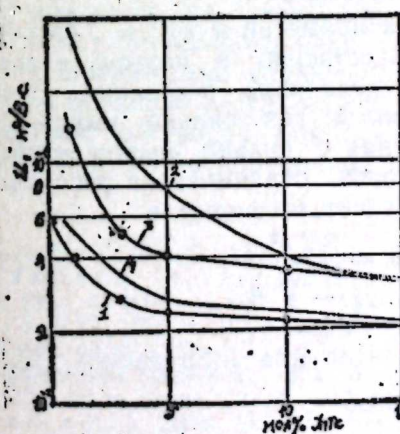


Рис. 1. Зависимость подвижности от состава для сплавов $(\text{InSb})_x - (\text{InTe})_{1-x}$

происходит резкий спад подвижности от состава сплава, а затем наблюдается более слабое ее изменение.

Для выяснения причины такой зависимости подвижности от сос-

тава, проведен расчет подвижности, обусловленной рассеянием на искажениях решетки сплава. По теории Брукса [1], подвижность электронов при рассеянии на беспорядочной структуре сплава

$$U_{\text{спл.}} = \frac{U_0 T^{-0.5}}{x(1-x)}, \quad (1)$$

где

$$U_0 = \frac{(2\pi)^{1/2} e^{1/4} N_a}{3\kappa^{1/2} m_c^{1/2} (E_1 - E_2)^2},$$

x —молярная доля первого компонента,

N_a —число атомов в 1 м^3 ,

$E_1 - E_2$ —разница между ширинами запрещенных зон исходных соединений.

Результаты расчета приведены на рис. 1 (кр. 2). Видно, что имеется качественное согласие эксперимента с теорией. Учитывая, что с составом концентрация носителей тока в сплавах $(\text{InSb})_x - (\text{InTe})_{1-x}$ почти не меняется, то можно предположить, что изменение подвижности, наблюдаемое в эксперименте, обусловлено рассеянием электронов на беспорядочной структуре.

Исходя из этого, экспериментальный вклад подвижности, обусловленной рассеянием носителей тока на беспорядке сплава был рассчитан по обычному закону сложения обратных величин подвижностей

$$\frac{1}{U_{\text{эксп.}}} = \frac{1}{U_{\text{исч.}}} + \frac{1}{U_{\text{спл.}}}, \quad (2)$$

где $U_{\text{эксп.}}$ —экспериментальные значения подвижности (рис., кр. 1), $U_{\text{исч.}}$ — $U_{\text{эксп.}}$ для сплава с $x=0,999$, после которого образуются твердые растворы.

$U_{\text{спл.}}$ —экспериментальный вклад подвижности, обусловленный рассеянием электронов на сплаве.

Эти результаты также приведены на рис. 1 (кр. 3). Как видно, экспериментальные значения подвижности при рассеянии на беспорядке имеют близкие значения к теоретическим.

При концентрациях электроактивных примесей $9 \cdot 10^{24} \text{ м}^{-3}$ рассеяние электронов на ионах примесей существенно и поэтому в этих сплавах необходимо учесть вклад этого механизма рассеяния. Учитывая, что во всех сплавах электронный газ сильно вырожден ($\mu^* > +10$) и, как известно [10], в образцах с сильно вырожденным электронным газом подвижность электронов, ограниченная рассеянием на ионах примеси, может быть вычислена по формуле

$$U_i = \frac{1}{48} \left(\frac{3}{\pi} \right)^2 \frac{h^2 e^2}{e^3 B m^{*2}} = \frac{0.2 e^2}{\left(\frac{m^*}{m_0} \right)^2 B}, \quad (3)$$

где ϵ —диэлектрическая постоянная, принятая для InSb равной 17,3,

$$B = \ln(1+\xi) - \frac{\xi}{1+\xi},$$

$$\xi = \left(\frac{3}{\pi} \right)^{1/2} \frac{e h^2 n^{1/2}}{4 e^2 m^*} = \frac{5 \cdot 10^{-8} \epsilon n^{1/2}}{m^*/m_0}$$

n —концентрация носителей тока,
 m^* —эффективная масса электронов в антимониде индия, зависящая от их концентрации в зоне проводимости и равная

$$m^* = m_n \left[1 + \frac{1}{2} \left(\frac{3}{\pi} \right)^{1/2} \frac{h^2 n^{1/2}}{E_g m_n} \right]^{1/2},$$

где m_n —эффективная масса электронов на дне зоны проводимости, E_g —ширина запрещенной зоны.

Так, как концентрация электронов в сплавах ($x < 0,999$) не меняется, доля подвижности, обусловленной рассеянием носителей тока на ионах примесей во всех сплавах будет одинакова ($U_{\text{ион.}} = 0,6 \text{ н}^2/\text{в} \cdot \text{сек}$).

Как видно, отдельные механизмы рассеяния не приводят к хорошему количественному согласию с экспериментом.

Учет смешанного механизма рассеяния, рассчитанный по формуле (2), приводит к хорошему количественному и качественному согласию теории с экспериментом (рис. 1, кр. 4).

Результаты температурной зависимости подвижности электронов для сплава $(\text{InSb})_{0.95} - (\text{InTe})_{0.05}$ показаны на рис. 2 (кр. 4 является

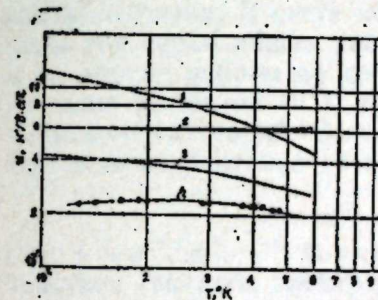


Рис. 2. Зависимость подвижности от температуры для сплава $(\text{InSb})_{0.95} - (\text{InTe})_{0.05}$

характерной для всех составов сплава). Там же приводится температурная зависимость подвижности рассчитанная по формулам (1) и (2) для этого же сплава (кр. 1, 2).

Учет смешанного механизма рассеяния электронов (кр. 3) также дает сравнительно хорошее согласие теории с экспериментом. Исходя из вышеприведенного, можно заключить, что рассеяние электронов в твердых растворах $(\text{InSb})_x - (\text{InTe})_{1-x}$ носит смешанный характер: рассеяние на беспорядочной структуре сплава и ионах примесей.

Литература

1. Brooks H. Advances in Electronics and Electron Physics, 8, 855, 1955.
2. Jaimes J., Tjelgen and Leonard R., Weisberg. Appl. Phys. Letters, 7, 10, 1965.
3. Nishinaga T., Horio and Uchiyama S. J. Phys. Soc. Japan, vol. 41, 5, 1603, 1976.
4. Makowski L. and Glicksman M. J. Phys. Chem. Solids, 34, 487, 1973.
5. Молодян И. П., Радауцан С. И. Сб. исследований по полупроводникам. Кишинев, 1964.
6. Молодян И. П., Радауцан С. И. Изв. АН СССР, серия физич. 23, 6, 1017, 1964.
7. Молодян И. П., Радауцан С. И. Изв. АН Молдавской ССР, 10, 88, 1961.
8. Молодян И. П., Наследов Д. Н., Радауцан С. И. Сб. Физические свойства полупроводников A^3B^5 и A^3B^6 . Труды Всесоюзной конференции. Баку, 1965.
9. Алиев М. И., Алиева М. А. Изв. АН СССР. Неорг. мат-лы, т. III, 11, 1967.
10. Kolodziejczak J. Acta Phys. Polonica, 20, 289, 1961, 20, 3079, 1961.

АЗИНЕФТЕХИМ им. М. Азизбекова

Поступило 18. X 1981

М. Н. Рамазанзадэ, М. Э. Чәфәрәзә

(InSb)_x—(InTe)_{1-x} БӘРК МӘҮЛУЛУНДА ЕЛЕКТРОНЛАРЫН
ЖҮЖҮРҮКЛҮҮ НАГГЫНДА

Мәгаләдә (InSb)_x—(InTe)_{1-x} бәрк мәүлүлларында жүжүрүк-
лүү наггында тәчүбүн тәдгигатларын вә иәзәри тәһлилиниң иәгичеләрни верилмишидир.
Мүэллән едилмишидир ки, бу бәрк мәүлүлларда электронларын сәпилмә механизмы
мүрәккәб характер дашијыр. Сәпилмә, эсасен, әринтидәки инзасмасыз гурулушдан вә
ашгар мәркәзләрниндең баш верир.

M. G. Ramazanzade, M. A. Djafarova

ELECTRON MOBILITY IN (InSb)_x—(InTe)_{1-x}

Experimental results and theoretical analysis of the carriers mobility in the (InSb)_x—(InTe)_{1-x} alloys are presented. It is shown, that the electron scattering in these alloys is complex. It is the scattering on the disordered alloy structure and on the impurities ions.

АЗЭРБАЙЧАН ССР ЕЛМЛӘР АКАДЕМИЯСЫНЫН МӘРҮЗӘЛӘРИ

ДОКЛАДЫ АКАДЕМИИ НАУК АЗЕРБАЙДЖАНСКОЙ ССР

ТОМ XXXIX ЧИЛД

№ 7

1983

УДК 539.12.01

ТЕОРЕТИЧЕСКАЯ ФИЗИКА

Чл.-корр. АН Азерб. ССР И. А. ГУЛИЕВ, И. Г. ДЖАФАРОВ,
Б. И. МЕХТИЕВ, Р. Ш. ЯХЬЯЕВ

ЭФФЕКТЫ НЕЙТРАЛЬНЫХ СЛАБЫХ ТОКОВ В ПРОЦЕССАХ
РОЖДЕНИЯ ПАР ЗАРЯЖЕННЫХ ЛЕПТОНОВ ПРИ
СТОЛКНОВЕНИИ ПРОТОН-АНТИПРОТОННЫХ
ПУЧКОВ ВЫСОКИХ ЭНЕРГИЙ I

1. Изучение взаимодействия нейтральных слабых токов (НСТ) заряженных фермионов является одним из важных вопросов физики элементарных частиц. Этот вопрос выдвигает задачу исследования возможностей выделения эффектов НСТ на фоне электромагнитного взаимодействия. В свете чего настоящая работа является продолжением той серии наших работ [1–8] (в этих статьях имеются ссылки и на другие работы по другому вопросу), которые посвящены исследованию эффектов НСТ на встречных пучках в рамках единых калибровочных теорий. В ней рассматривается процесс образования пар заряженных лептонов на встречных протон-антiprotonных пучках:

$$\bar{p} + p \rightarrow l + \bar{l}, \quad (1)$$

где $l = e^-, \mu^-, \tau^-$. С учетом всех вкладов электрослабого взаимодействия (вкладов электромагнитного взаимодействия, слабого взаимодействия и их интерференции) при произвольной поляризации начальных и продольной поляризаций, конечных частиц найдены дифференциальное (и полное) сечения процесса (1). Произведен анализ полученных выражений и выявлены все возможности выделения эффектов НСТ. Данное исследование приобретает особую актуальность в связи с вводом в действие большого ускорителя встречных протон-антiprotonных пучков с энергией 2×260 Гэв (см., например, [9]).

Настоящая статья содержит обобщение результатов работы [5], заключающееся в учете вкладов квадратичных по константе слабого взаимодействия членов, играющих существенную роль при высоких энергиях, а также вкладов всех тройных и четверной корреляции между поляризациями частиц. Кроме того, в ней устранены неточности и опечатки, имеющие место в ряде формул работы [5].

2. Амплитуду процесса (1) запишем в виде

$$M_{II} = \frac{e^2}{q^2} [\bar{v}(\kappa_1) \gamma_\alpha v(-\kappa_2)] [\bar{u}(-p_2) (F_1 \gamma_\alpha - F_2 \sigma_{\alpha\beta} q_\beta) u(p_1)] - \\ - \sqrt{2} GD [\bar{v}(\kappa_1) \gamma_\alpha (g_V + g_A \gamma_5) v(-\kappa_2)] [\bar{u}(-p_2) (\Phi_1 \gamma_\alpha - \\ - \Phi_2 \sigma_{\alpha\beta} q_\beta + G_1 \gamma_\alpha \gamma_5) u(p_1)], \quad (2)$$

где p_1, p_2, κ_1 и κ_2 — импульсы соответственно протона, антипротона лептона и антилептона; $q = p_1 + p_2 = \kappa_1 + \kappa_2$; $D = (1 - q^2/m_z^2 + i\Gamma_z/m_z)^{-1}$; Γ_z и m_z — ширина и масса Z -бозона, переносящего взаимодействие

НСТ; Φ_1 , Φ_2 и G_1 —формфакторы, учитывающие роль сильных взаимодействий в вершине $p\bar{p}Z$, которые следующим образом связаны с электромагнитными (F_1 , F_2) и обычными слабыми (f_1 , f_2 , g_1) формфакторами протона: $\Phi_1 = f_1/2 - 2F_1 \sin^2 \eta$, $\Phi_2 = f_2/2 - 2F_2 \sin^2 \eta$, $G_1 = g_1/2$, где $\sin^2 \eta$ —параметр теории; g_V и g_A —величины, определяющие структуры НСТ заряженных лептонов (в модели Вейнберга—Салама [10] $g_V = -1/2 + 2 \sin^2 \eta$, $g_A = -1/2$).

Дифференциальное сечение процесса (1) с произвольно поляризованными начальными и продольно поляризованными конечными частицами представим в виде

$$\frac{d\sigma(\vec{s}_1, \vec{s}_2, h_1, h_2)}{d\Omega} = \frac{\alpha^2}{64 E^2 \beta} \left\{ t_1 + (t_2 \vec{p}^0 + t_3 \vec{\kappa}^0 + t_4 \sin \theta \vec{n}) (\vec{s}_1 + \vec{s}_2) + \right.$$

$$+ 2t_5 \vec{p}^0 \vec{s}_1 \cdot \vec{p}^0 \vec{s}_2 + t_6 (\vec{p}^0 \vec{s}_1 \cdot \vec{\kappa}^0 \vec{s}_2 + \vec{p}^0 \vec{s}_2 \cdot \vec{\kappa}^0 \vec{s}_1) + 2t_7 \vec{\kappa}^0 \vec{s}_1 \cdot \vec{\kappa}^0 \vec{s}_2 + \\ + t_8 \sin \theta (\vec{p}^0 \vec{s}_1 \cdot \vec{n} \vec{s}_2 + \vec{p}^0 \vec{s}_2 \cdot \vec{n} \vec{s}_1) + t_9 \sin \theta (\vec{\kappa}^0 \vec{s}_1 \cdot \vec{n} \vec{s}_2 + \\ \left. + \vec{\kappa}^0 \vec{s}_2 \cdot \vec{n} \vec{s}_1) + t_{10} \sin^2 \theta \cdot \vec{s}_1 \cdot \vec{s}_2 \right\},$$

где

$$t_i = (1 - h_1 h_2) X_i + (h_1 - h_2) Y_i. \quad (4)$$

Выражения величин X_i и Y_i приведены в приложении. В формулах \vec{s}_1 и \vec{s}_2 —единичные векторы поляризации соответственно протона и антiprotona; h_1 и h_2 —спиральности лептона и антилептона; \vec{p}^0 и $\vec{\kappa}^0$ —единичные векторы импульсов соответственно протона и лептона; $\vec{n} = [\vec{p}^0 \vec{\kappa}^0]/\sin \theta$ —единичный вектор, перпендикулярный плоскости реакции; θ —угол вылета лептона по отношению к направлению импульса протона; E —энергия частиц в с. ц. и.; β —скорость протона. Здесь и далее пренебрегаем вкладами массы лептона.

В следующей статье [11], представляющей собой продолжение данной работы, рассмотрены случаи продольной и поперечной поляризаций встречных пучков и определены характеристики процесса (1), выделяющие вклады НСТ.

Приложение

$$X_1 = T_1 (1 + \cos^2 \theta) + T_2 \sin^2 \theta - 2T_3 \cos \theta,$$

$$Y_1 = 2T_4 \cos \theta + T_5 (1 + \cos^2 \theta) + T_6 \sin^2 \theta,$$

$$X_2 = T_4 (1 + \cos^2 \theta) + (2T_5 - T_7) \cos \theta - T_8 \cos^2 \theta,$$

$$Y_2 = (2T_1 - T_9) \cos \theta - T_3 (1 + \cos^2 \theta) + T_{10} \cos^2 \theta,$$

$$X_3 = (T_7 + T_8 \cos \theta), \quad Y_3 = T_9 - T_{10} \cos \theta,$$

$$X_4 = T_{11} - T_{12} \cos \theta, \quad Y_4 = -T_{13} + T_{14} \cos \theta,$$

$$X_5 = -T_2 \sin^2 \theta - (T_3 - T_{10}) \cos \theta - T_9 \cos^2 \theta + T_{15} (1 + \cos^2 \theta),$$

$$Y_5 = (T_4 - T_8) \cos \theta - T_6 \sin^2 \theta - T_7 \cos^2 \theta + T_{16} (1 + \cos^2 \theta),$$

$$X_6 = (T_9 - 2T_{17}) \cos^2 \theta - T_{18}, \quad Y_6 = (T_7 - 2T_{18}) \cos \theta + T_8,$$

$$X_7 = T_{17}, \quad Y_7 = T_{18},$$

$$X_8 = -(T_{13} - T_{19}) \cos \theta + T_{14}, \quad Y_8 = (T_{11} - T_{20}) \cos \theta - T_{12},$$

$$X_9 = -T_{19}, \quad Y_9 = T_{20},$$

$$X_{10} = T_3 - T_{17}, \quad Y_{10} = T_6 - T_{18},$$

где

$$T_1 = |F_m|^2 - g_V \operatorname{Re} F_m^* \Phi_m + \frac{|\chi|^2}{4} (g_V^2 + g_A^2) (|\Phi_m|^2 + \beta^2 |G_1|^2),$$

$$T_2 = \frac{m^2}{E^2} \left[|F_e|^2 - g_V \operatorname{Re} F_e^* \Phi_e + \frac{|\chi|^2}{4} (g_V^2 + g_A^2) |\Phi_e|^2 \right],$$

$$T_3 = \beta g_A [R_e \times F_m^* G_1 - |\chi|^2 g_V \operatorname{Re} \Phi_m G_1^*],$$

$$T_4 = \beta \left[g_V \operatorname{Re} F_m^* G_1 - \frac{|\chi|^2}{2} (g_V^2 + g_A^2) \operatorname{Re} \Phi_m G_1^* \right],$$

$$T_5 = g_A \left[\operatorname{Re} F_m^* \Phi_m - \frac{|\chi|^2}{2} g_V (|\Phi_m|^2 + \beta^2 |G_1|^2) \right],$$

$$T_6 = \frac{m^2}{E^2} g_A \left[\operatorname{Re} F_e^* \Phi_e - \frac{|\chi|^2}{2} g_V |\Phi_e|^2 \right],$$

$$T_7 = \frac{m}{E} g_A [R_e \times (F_e^* \Phi_m + F_m^* \Phi_e) - |\chi|^2 g_V \operatorname{Re} \Phi_e \Phi_m^*],$$

$$T_8 = \frac{m}{E} \beta \left[g_V \operatorname{Re} F_e^* G_1 - \frac{|\chi|^2}{2} (g_V^2 + g_A^2) \operatorname{Re} \Phi_e G_1^* \right],$$

$$T_9 = \frac{m}{E} \left[2 \operatorname{Re} F_e F_m^* - g_V \operatorname{Re} (F_m^* \Phi_e + F_e^* \Phi_m) + \right. \\ \left. + \frac{|\chi|^2}{2} (g_V^2 + g_A^2) \operatorname{Re} \Phi_e \Phi_m^* \right],$$

$$T_{10} = \frac{m}{E} \beta g_A [R_e \times F_e^* G_1 - |\chi|^2 g_V \operatorname{Re} \Phi_e G_1^*],$$

$$T_{11} = \frac{m}{E} \beta g_A [-I_m \times F_e^* G_1 - |\chi|^2 g_V I_m \Phi_e G_1^*],$$

$$T_{12} = \frac{m}{E} \left[2 I_m F_e F_m^* + g_V I_m \times (F_e^* \Phi_m - F_m^* \Phi_e) + \right. \\ \left. + \frac{|\chi|^2}{2} (g_V^2 + g_A^2) I_m \Phi_e \Phi_m^* \right],$$

$$T_{13} = \frac{m}{E} \beta \left[-g_V I_m \times F_e^* G_1 - \frac{|\chi|^2}{2} (g_V^2 + g_A^2) I_m \Phi_e G_1^* \right],$$

$$T_{14} = \frac{m}{E} g_A [-I_m \times (F_m^* \Phi_e - F_e^* \Phi_m) + |\chi|^2 g_V I_m \Phi_e \Phi_m^*],$$

$$T_{15} = |F_m|^2 - g_V \operatorname{Re} F_m^* \Phi_m + \frac{|\chi|^2}{4} (g_V^2 + g_A^2) |\Phi_m|^2,$$

$$T_{16} = g_A \left[\operatorname{Re} F_m^* \Phi_m - \frac{|\chi|^2}{2} g_V |\Phi_m|^2 \right],$$

$$T_{17} = |F_m|^2 - g_V \operatorname{Re} F_m^* \Phi_m + \frac{|\chi|^2}{4} (g_V^2 + g_A^2) (|\Phi_m|^2 - \beta^2 |G_1|^2),$$

$$T_{18} = g_A \left[\operatorname{Re} F_m^* \Phi_m - \frac{|\chi|^2}{2} g_V (|\Phi_m|^2 - \beta^2 |G_1|^2) \right],$$

$$T_{19} = \beta \left[-g_V I_m \times F_m^* G_1 - \frac{|\mathbf{x}|^2}{2} (g_V^2 + g_A^2) I_m \Phi_m G_1^* \right],$$

$$T_{20} = \beta g_A [-I_m \times F_m^* G_1 - |\mathbf{x}|^2 g_V I_m \Phi_m G_1^*].$$

Литература

1. Джадаров И. Г., Мустафаев Х. А. Изв. АН Азерб. ССР, серия физ.-техн. и матем. наук, № 1, 76, 1976. 2. Джадаров И. Г. В сб. «Некоторые вопросы экспериментальной и теоретической физики», 255. «Элм». Баку, 1977. 3. Гулиев Н. А., Джадаров И. Г., Халилзаде Ф. Т., Султанов С. Ф. Препринт № 51 ИФАН Азерб. ССР, Баку, 1977; Изв. ВУЗов (физика), № 4, 1978, 22; № 4, 31, 1978. 4. Гулиев Н. А., Джадаров И. Г., Мехтиев Б. И., Мустафаев Х. А. Препринт № 56 ИФАН Азерб. ССР, Баку, 1977; Изв. АН Азерб. ССР, серия физ.-техн. и матем. наук, № 4, 16, 1977. 5. Гулиев Н. А., Джадаров И. Г., Мехтиев Б. И., Мустафаев Х. А. ДАН Азерб. ССР, XXXIV, № 5, 25, 1978; Тез. докл. XXXVIII Совещания по ядерной спектроскопии и структуре атомного ядра, 317. «Наука», Л., 1978. 6. Гулиев Н. А., Джадаров И. Г., Мехтиев Б. И., Яхъяев Р. Ш. ЯФ, 34, 176, 1981. 7. Алиев Т. М., Гулиев Н. А., Джадаров И. Г., Халилзаде Ф. Т. Изв. ВУЗов (физика), № 2, 66, 1981. 8. Гулиев Н. А., Джадаров И. Г., Мехтиев Б. И., Яхъяев Р. Ш. ДАН Азерб. ССР, XXXVIII, № 11, 25, 1982. 9. Бережной В. А., Васильев А. А. Мат-лы XIV Международной школы молодых ученых по физике высоких энергий, 445. Дубна, 1981. 10. Weinberg S. Phys. Rev. Lett., 19, 1967, 1264; 27, 1971, 1688; Phys. Rev., D5, 1972, 1412; Salam A. Proc. 8-th Nobel Symp., Stockholm, 1968, 376.

Институт физики

Поступило 28. VI. 1982

Н. А. Гулиев, И. Г. Чәфәров, Б. И. Мәхтиев, Р. Ш. Яһијаев

ЖҮКСӘК ЕНЕРЖИЛИ ПРОТОН-АНИПРОТОН ДӘСТӘЛӘРИНИН ТОГГУШМАСЫ ЗАМАНЫ ЖҮКЛҮ ЛЕПТОН ЧҮТЛӘРИНИН ЖАРАИМАСЫ ПРОСЕССИНДӘ НЕЙТРАЛ ЗӘИФ ЧӘРӘДАҢ ЕФФЕКТЛӘРИ. I

Башлангыч зәррәчиләрни ихтијари вә ахырынчы зәррәчиләрни узунуна полжалыззәләрни наалында електроизаиф гарышылыгы тәсирин (електромагнит гарышылыгы тәсирин, зәиғи гарышылыгы тәсирин вә онларын интерференциясынын) шәртләндирди бүтүн һәдләр нәзәрә алымагла жүксәк енержили протон-анипротон дәстәләрниң тоггушмасы заманы жүклү лептон чүтләрниң жарaimасы процессинин диференциал кәсији һесабламышыдыр.

N. A. Gulyev, I. G. Djafarov, B. I. Mekhiyev, R. Sh. Yakhyayev

THE EFFECTS OF NEUTRAL WEAK CURRENTS IN THE PROCESSES OF CHARGED LEPTON PAIR PRODUCTION ON COLLIDING PROTON-ANTIPROTON BEAMS AT HIGH ENERGIES. II

The possibilities of isolating of neutral weak current effects in the processes of longitudinal polarized charged lepton pair production on colliding transverse and longitudinal polarized proton-antiproton beams have been investigated.

АЗӘРБАЙЧАН ССР ЕЛМЛӘР АКАДЕМИЯСЫНЫН МӘРУЗӘЛӘРИ

ДОКЛАДЫ АКАДЕМИИ НАУК АЗЕРБАЙДЖАНСКОЙ ССР

ТОМ XXXIX ЧИЛД

№ 7

1983

ТЕОРЕТИЧЕСКАЯ ФИЗИКА

Чл.-корр. Ф. М. ГАШИМ-ЗАДЕ, Б. Р. ГАДЖИЕВ

ТЕОРЕТИКО-ГРУППОВОЙ АНАЛИЗ ФАЗОВЫХ ПЕРЕХОДОВ ВТОРОГО РОДА В КРИСТАЛЛАХ $\text{Sr}_2\text{Ta}_2\text{O}_7$

Пиротанталат стронция является сегнетоэлектриком с температурой Кюри в интервале 189–218 К [1]. При низких температурах 83 ± 123 К° он еще претерпевает фазовый переход. Кроме того, при высоких температурах вблизи 443 К, по-видимому, также наблюдается фазовый переход [2]. Кристаллическая структура $\text{Sr}_2\text{Ta}_2\text{O}_7$ изучена в [3].

Оказалось, что пиротанталат стронция при комнатной температуре имеет орторомбическую объемно-центрированную решетку с пространственной группой симметрии.

Периоды орторомбической элементарной ячейки равны:

$$a = 3,88 \pm 0,01 \text{ \AA}$$

$$c = 5,58 \pm 0,01 \text{ \AA} \quad b = 27,15 \pm 0,05 \text{ \AA}$$

В сегнетоэлектрической фазе, согласно [3], пространственной группой симметрии $\text{Sr}_2\text{Ta}_2\text{O}_7$ является $C_{2v}^2\text{-Jma}_2$, при этом направление вектора спонтанной поляризации параллельно оси (001).

В настоящей работе приводятся результаты теоретико-группового анализа возможных фазовых переходов из кристаллической структуры с пространственной группой симметрии D_{2h}^{28} .

Метод исследования основан на теории Ландау и Лифшица, изложенной подробно в литературе [4]. Решение задачи сводится к нахождению, так называемых активных физически-неприводимых представлений пространственной группы симметричной фазы с последующим построением инвариантов четвертого порядка из базисов активных неприводимых представлений (Н. П.).

Активные НП должны удовлетворять следующим двум критериям: 1) критерий Ландау: симметричный куб НП не содержит единичного представления пространственной группы (ПГ);

2) критерий Лифшица: антисимметричный квадрат НП не содержит векторное представление ПГ.

В соответствии с критерием Лифшица активными могут быть НП для векторов, достигающих границы зоны Бриллюэна и точки $\vec{F} = \vec{0}$.

Зона Бриллюэна объемно-центрированной орторомбической решетки показана на рисунке.

Основные трансляции ОЦО решетки:

$$\vec{a}_1 \left(-\frac{a}{2}, \frac{b}{2}, \frac{c}{2} \right), \vec{a}_2 \left(\frac{a}{2}, -\frac{b}{2}, \frac{c}{2} \right), \vec{a}_3 \left(\frac{a}{2}, \frac{b}{2}, -\frac{c}{2} \right)$$

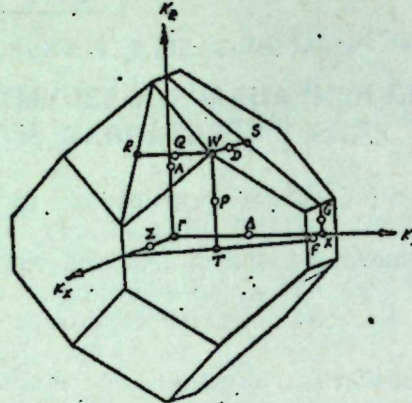
Основные векторы обратной решетки:

$$\vec{b}_1(0, 2\pi/b, 2\pi/c), \vec{b}_2(2\pi/a, 0, 2\pi/c), \vec{b}_3(2\pi/a, 2\pi/b, 0)$$

Зона Бриллюэна ограничена плоскостями

$$\pm \vec{b}_1/2; \pm \vec{b}_2/2; \pm \vec{b}_3/2; \pm (\vec{b}_1 - \vec{b}_2 + \vec{b}_3)/2; \pm (\vec{b}_2 - \vec{b}_3)/2;$$

$$\pm (\vec{b}_1 - \vec{b}_3)/2; \pm (\vec{b}_1 + \vec{b}_2)/2.$$



Обозначения симметрических точек указаны, согласно [5]. Фактор-группа ПГ D_{2h}^{20} по инвариантной подгруппе трансляций состоит из следующих элементов:

E —тождественное преобразование,

c_{2a} —поворот на угол π вокруг оси, параллельной a .

c_{2b} —поворот на угол π вокруг оси, параллельной b , сопровождающий неэлементарной трансляцией τ на подпериод вдоль оси b , где $\tau = (\vec{a}_1 + \vec{a}_3)/2(0, b/2, 0)$

c_{2c} —то же вокруг оси C .

J —инверсия относительно начала координат

σ_a —отражения в плоскости, перпендикулярной оси a .

σ_b —отражение в плоскости, перпендикулярной оси b , сопровождаемый неэлементарной трансляцией τ .

σ_c —то же в плоскости, перпендикулярной оси C .

В симметрических точках Γ , X , S и R все НП одномерны и совпадают с НП соответствующих точечных групп. В точках T и W имеется всего одно двумерное НП.

Критерий Ландау выполняется для всех НП. Непосредственная проверка на выполнение условия Лифшица показывает, что НП, соответствующие звездам T и W , пассивны. Все остальные НП являются активными (за исключением единичного представления Γ_4^+).

В таблице перечислены возможные фазовые переходы, связанные с активными НП. В ней символ G' обозначает группу упорядоченной фазы, $\kappa = \Omega'/\Omega$, где Ω' и Ω —объемы элементарных ячеек упорядоченной и неупорядоченной фаз, соответственно. Заметим, что сегнетоэлектрические фазовые переходы связаны с неприводимыми представлениями Γ_4 , Γ_6 и Γ_8 . При этом вектор спонтанной поляризации направлен вдоль осей $[1, 0, 0]$; $[0, 1, 0]$ или $[0, 0, 1]$ соответственно.

Возможные фазовые переходы 2-го рода, связанные с активными представлениями ПГ.

Представление	G'	Тип решетки	κ	Пространство параметра порядка	Представление	G'	Тип решетки	κ	Пространство параметра порядка
Γ_1^-	D_{2h}^9	Γ_b^v	1	(q)	X_1^+	D_{2h}^5	Γ_o	2	(q)
Γ_2^+	C_{2h}^3	Γ_m^b	1	(q)	X_1^-	D_{2h}^7	Γ_o	2	(q)
Γ_2^-	C_{2v}^{22}	Γ_o^v	1	(q)	X_2^+	D_{2h}^{16}	Γ_o	2	(q)
Γ_3^+	C_{2v}^{22}	Γ_o^v	1	(q)	X_2^-	D_{2h}^6	Γ_o	2	(q)
Γ_3^-	C_{2h}^3	Γ_m^b	1	(q)	X_3^+	D_{2h}^6	Γ_o	2	(q)
Γ_4^+	C_{2h}^6	Γ_m^b	1	(q)	X_3^-	D_{2h}^7	Γ_o	2	(q)
Γ_4^-	C_{2v}^{20}	Γ_o^v	1	(q)	X_4^+	D_{2h}^{16}	Γ_o	2	(q)
S_4, S_4	D_{2h}^{21}	Γ_o^b	4	(q, q)	X_4^-	D_{2h}^5	Γ_o	2	(q)
S_4, S_1	D_{2h}^0	Γ_o^b	4	(q, -q)	S_{31}, S_2	D_{2h}^{20}	Γ_o^b	4	(q, q)
S_3, S_3	D_{2h}^{20}	Γ_o^b	4	(q, -q)	S_4, S_1	C_{2h}^3	Γ_m^b	4	(q, o)
S_4, S_1	C_{2h}^6	Γ_o^b	4	(o, q)	S_3, S_2	C_{2h}^6	Γ_m^b	4	(o, q)
S_3, S_2	C_{2h}^6	Γ_m^b	4	(q, o)	R_1, R_2	D_{2h}^{17}	Γ_o^b	4	(q, q)
R_3, R_4	D_{2h}^{12}	Γ_o^b	4	(q, q)	R_3, R_4	C_{2h}^{22}	I_o^b	4	(q, -q)
R_1, R_2	D_{2h}^{17}	Γ_o^b	4	(q, -q)					

Видно, что в случае, когда направление вектора спонтанной поляризации параллельно $[0, 0, 1]$, сегнетоэлектрическая фаза имеет пространственную группу симметрии C_{2h}^3 . Если же направление вектора спонтанной поляризации параллельно $[0, 1, 0]$ или $[1, 0, 0]$, сегнетоэлектрическая фаза имеет пространственную группу симметрии C_{2v}^{22} . Это согласуется с результатами работ [3, 5], если, однако, учесть, что в последней работе ось $[0, 0, 1]$ перпендикулярна простой плоскости отражения, т. е. соответствует нашему $[0, 1, 0]$.

Литература

- Смоленский Г. А., Исупов В. А., Аграновская А. К. ДАН СССР, 108, 232 1956.
- Смоленский Г. А., Боков В. А., Исупов В. А., Крайник Н. Н., Пасынков Р. Е., Шур М. С. Сегнетоэлектрики и антисегнетоэлектрики, стр. 450. «Наука». Л., 1971.
- Исмаилзаде И. Г., Исмаилов Р. М. «Изв. АН Азерб. ССР», серия физ.-тех. и матем. наук, № 5, стр. 67) 1980.
- Любарский Г. Я. Теория групп и ее применение в физике. ГИТТЛ. М., 1957.
- Шувалов Л. А. «Кристаллография», т. 4, вып. 3, 1959.
- Bradley C. J. and Cracknell A. P. The mathematical theory of symmetry in solids, 1972.

Институт физики

Ф. М. Гашымзадэ, Б. Р. Нажиев

ГРУП НӘЗӘРИЈӘСИ ИЛӘ $Sr_2Ta_2O_7$ КРИСТАЛЫНДА II НӨВ ФАЗА
КЕЧИДЛӘРИНИН ТӘДГИГИ

Мәгәләдә симметријасы D_{2h}^{21} олан кристалларда мүмкүн II нөв фаза кецидләринин тәдгигинә групп нәзәријәси васитәсилә бахышлыбышыр.

F. M. Gashimzade, B. R. Hajiev

THE GROUP-THEORETICAL ANALYSIS OF SECOND ORDER PHASE
TRANSITIONS IN CRYSTALS $Sr_2Ta_2O_7$

The systematic study of the possible second order phase transitions in the crystals with the D_{2h}^{28} space group symmetry has been performed.

АЗӘРБАЙҖАН ССР ЕЛМЛӘР АКАДЕМИЯСЫНЫН МӘРҮЗӘЛӘРИ

ДОКЛАДЫ АКАДЕМИИ НАУК АЗЕРБАЙДЖАНСКОЙ ССР

ТОМ XXXIX ЧИЛД

№ 7

1983

УДК 511. 12. 183

ФИЗИЧЕСКАЯ ХИМИЯ

Чл. корр. З. Г. ЗУЛЬФУГАРОВ, Д. М. ГАНБАРОВ,
Х. Т. КАХРАМАНОВА, Дж. И. МИРЗАИ, Н. Г. РАГИМОВ,
Л. Г. КЕЙСЕРУХСКАЯ

ИК-СПЕКТРОСКОПИЧЕСКОЕ И РЕНТГЕНОГРАФИЧЕСКОЕ
ИССЛЕДОВАНИЕ КОМПЛЕКСООБРАЗОВАНИЯ В СИСТЕМЕ
ЦЕОЛИТ $CaY-NH_3$

Глубокое понимание многих каталитических и адсорбционных процессов непосредственно связано с выявлением природы взаимодействия весьма важных с практической точки зрения активных центров—обменных катионов с молекулами различной структуры.

В свете этого, способность обменных катионов переходных металлов образовывать устойчивые комплексы с молекулами воды, аммиака и т. д. представляет научный и практический интерес [1—3].

Настоящая работа посвящена исследованию природы взаимодействия обменных катионов кобальта с молекулами аммиака в цеолите типа фожазита, синтезированного на основе природного стекла—перлита [4]. Образцы для исследования готовились прессованием порошка цеолита без связующего в тонкие таблетки. Перед адсорбцией NH_3 с целью осушки пропускался через колонку с KOH и ловушку, погруженную в сухой лёд. Образцы цеолитов подвергались вакуумно-термической обработке при $400^\circ C$ в течение 4 ч в условиях вакуума 10^{-4} торр. Спектры сняты на спектрофотометре $I R=20$ в интервале $40000-400000 \text{ см}^{-1}$.

Для получения информации об обмене и комплексообразовании проведён рентгенодифрактометрический анализ образцов: исходного ($Na-Y$), катиономодифицированного ($Co-Y$) и комплексодержащего $[Co(NH_3)_6]-Y$ форм цеолитов типа фожазита. Сопоставление дифрактометрических картин указанных форм данного цеолита показывает, что происходит заметное изменение некоторых линий после обмена на ионы Co^{2+} и адсорбции аммиака.

Дифрактометрические данные приведены в таблице.

Спектр аммиака очень чувствителен к взаимодействию как с электроноакцепторными, так и электронодонорными центрами, в связи с чем в зависимости от типа и модификации цеолита отчетливое спектральное проявление координационно связанных с обменными катионами аммиака очень часто может затрудняться вследствие возможности наличия других форм адсорбции аммиака, таких как ион аммония и аммиака, координационно связанных с атомами алюминия [5]. Не составляет трудности установление наличия физически адсорбированных молекул аммиака, т. к. полосы поглощения, обусловленные ими исчезают из спектра после откачки при комнатной темпе-

Рентгенодифракт-ометрические данные различных форм цеолита
типа фожазита

№ пп	<i>hkl</i>	Na^+ —	$\Delta I^* = Co^{2+} + \text{Na}^- $	Co^{2+} —	$\Delta I = -1 [Co(NH_3)_6]^{2+} + +1 Co^{2+}$	$[Co(NH_3)_6]^-$ $d_{\text{эксп.}}, \text{\AA}$
		$d_{\text{эксп.}}, \text{\AA}$		$d_{\text{эксп.}}, \text{\AA}$		
1	111	13,85	-9	13,81	-20	13,94
2	220	8,60	-2	8,62	4	8,67
3	311	7,37	-5	7,37	17	7,40
4	331	5,63	1	5,66	1	5,64
5	333	4,72	1	4,73	9	4,75
6	440	4,35	3	4,34	-6	4,35
7	620	3,89	0	3,90	2	3,90
8	533	3,75	5	3,76	5	3,76
9	444	3,56	-2	3,56	2	3,56
10	711	3,45	3	3,44	-2	3,45
11	642	3,30	2	3,28	-4	3,30
12	731	3,22	0	3,20	1	3,22
13	733	3,01	1	3,00	-2	3,01
14	822	2,90	5	2,90	1	2,91
15	751	2,85	-7	2,85	-2	2,84
16	840	2,76	4	2,75	-7	2,76
17	911	2,71	0	2,71	2	2,71
18	664	2,64	-1	2,62	1	2,64
19	931	2,58	0	2,58	-1	2,59

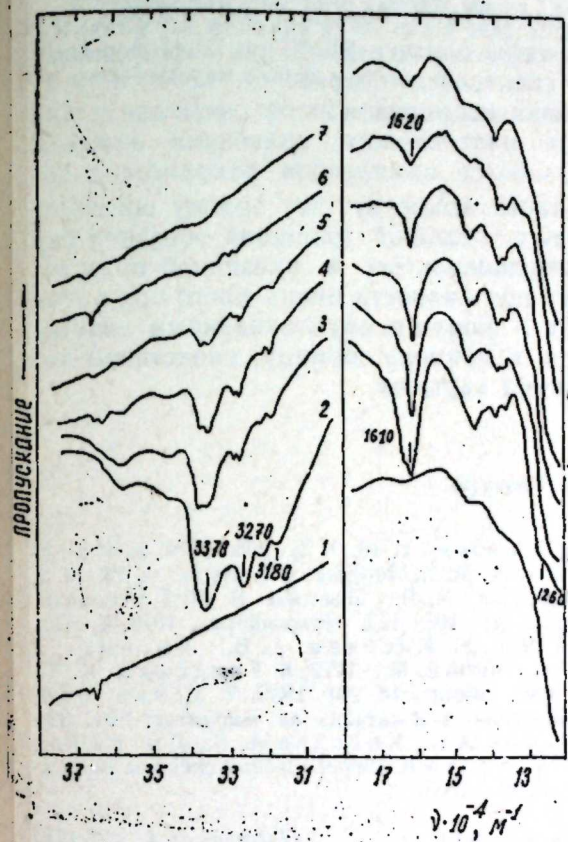
* ΔI находится после приведения к единой шкале интенсивностей линий различных форм образцов цеолита типа фожазит.

ратуре, как это обычно наблюдается на цеолитах со щелочными обменными катионами [6]. В отличие от молекулярно адсорбированного аммиака полосы поглощения иона аммония и координационно связанных аммиака являются "термоустойчивыми" и поэтому в большинстве работ основное внимание обращается на выбор полос поглощения для более дифференциального анализа возникновения иона аммония и координационно связанных аммиака.

На рисунке представлены ИК-спектры аммиака на синтезированном цеолите при различных температурах. После откачки при 400°C в спектре сохраняется слабая полоса поглощения гидроксильных групп. Контакт аммиака с цеолитом в течение нескольких часов с последующей откачкой при 20°C приводят к появлению полосы поглощения адсорбированных молекул при 126000 m^{-1} , которая находится на ниспадающей ветви сильного поглощения валентных Si—O колебаний. С повышением температуры откачки до 400°C эта полоса поглощения высокочастотно смещается до 131000 m^{-1} . Она относится к симметричному деформационному колебанию координационно связанных аммиака. Ее высокочастотное смещение с ростом температуры может рассматриваться как результат удаления части молекул аммиака, координационно связанных с более слабыми электроноакцепторными центрами [7].

Острая полоса поглощения при 16100 cm^{-1} , смещающаяся до 1620 при повышении температуры, относится к деформационному колебанию δd , координационно связанных с Co^{2+} аммиака [5], значение ко-

торой близко к полосе поглощения аммиака, координационно связанного с истинными Льюисовскими центрами, каким является трехкоординированный алюминий. Но, по-видимому, она не связана с аммиаком, адсорбированным на центрах Льюиса, т. к. полоса поглощения, обусловленная адсорбцией на Al не зависит от типа обменного катиона и почти во всех случаях имеет значение 163000 m^{-1} [8].



ИК-спектры поглощения аммиака, адсорбированного на цеолите CoY при различных температурах: 1—откачка при 400°C в течение 2 ч; 2—адсорбция аммиака с последующей откачкой при 20°C в течение 1 ч; 3—откачка при 100°C ; 4—откачка при 200°C ; 5—откачка при 300°C ; 6—откачка при 400°C ; 7—откачка при 450°C .

Более сложной является картина в области валентных колебаний молекул адсорбированного аммиака, вследствие чего отнесение полос в этой области очень часто является предположительным. Известно [9], что асимметричное возмущение силовых постоянных K_q и K_t приводит к небольшому расщеплению полосы поглощения дважды выраженного валентного колебания ν_3 , что проявляется в уширении этой полосы поглощения. В случае более асимметричного влияния поля на молекулу аммиака в каналах катионированных цеолитов может наблюдаться расщепление полосы поглощения ν_3 [6]. Поэтому важную полосу поглощения при 3370 cm^{-1} , расщепляющуюся на две полосы поглощения при повышении температуры, можно отнести к ν_3 колебанию координационно связанных аммиака, симметричному валентному колебанию которого, по-видимому, соответствует полоса поглощения 329000 m^{-1} . Относительно высокая "термоустойчивость" этих

полос связана с уменьшением числа лигандов вокруг Co^{2+} по мере роста температуры, что наблюдалось и в работе [3].

Полосы поглощения 319000 и 322000 м^{-1} вместе с полосами поглощения в области $1380-148000 \text{ м}^{-1}$ соответствуют полосам поглощения иона аммония. Это подтверждается еще тем, что адсорбция воды приводит к увеличению интенсивности этих полос поглощения.

Следует отметить, что прямую информацию о существовании координационной связи дает полоса поглощения колебания металла-азот $\nu(\text{MN})$. Но вследствие сравнительно большой массы атома металла она попадает в низкочастотную область (30000 м^{-1}) [10] и поэтому исследуется на серийных спектрофотометрах.

Особый интерес с точки зрения координационной связи представляет также полоса поглощения маятникового колебания амиака $\tau_2(\text{NH}_3)$, которая обычно для объемных комплексов находится в области 60000 м^{-1} [6]. Нам не удалось наблюдать эту полосу поглощения, что может быть связано как с большой толщиной образцов без связующих, так и с низкой газрешаемостью в указанной области. Применение КВг для увеличения прозрачности очень часто при высоких температурах как по [8], так и нашим неопубликованным данным может привести к оклюзии соли и ионному обмену, следствием которых является искажение истинной картины.

Литература

- Richard G. Herman. Inorg. Chemistry, v. 18, N 4, 995, 1979.
- Madhesudhan C. P., Patil M. D., and Good M. L. Inorgan. Chemistry, v. 18, № 9, 2384, 1979.
- Дьяконов С. С., Киселев А. В., Лыгин В. И. I Всесоюзн. конф. "Применение цеолитов в катализе", стр. 106-113. Новосибирск, 1976.
- Авт. свид. СССР, 715464. Бюлл. изобр. № 6, 1930.
- Киселев А. В., Лыгин В. И. Инфракрасные спектры поверхностных ссединений. М., 1972.
- Геодокин К. Т., Киселев А. В., Лыгин В. И. Ж. физ. химии, 43, 201, 1969.
- M. van Tongelen. J. Catal., 5, 535, 1966.
- Химия цеолитов и катализ на цеолитах. Ред. Дж. Рабо, т. 1, стр. 273. М., 1950.
- Абрамов В. Н., Киселев А. В., Лыгин В. И. Ж. физ. химии, 39, 1867, 1964.
- Накомото К. Инфракрасные спектры неорганических и координационных соединений. М., 1966.

Институт неорганической и физической химии

Поступило 1. VII 1981

З. һ. Зүлфүгаров, Д. М. Гәнбәров,
Х. Т. Гәһрәманов, Ч. И. Мирзаи, Н. К. Рәһимов, Л. Г. Кејсерухская

СЕОЛИТ СаY-NH₃ СИСТЕМИНДЭ КОМПЛЕКС ЭМЭЛЭКЭЛМЭНИН ИГ-СПЕКТРОСКОПИК ВЭ РЕНТГЕНОГРАФИК ТЭДГИГИ

Мэглэдэ тэбийн шүшэ-перлитдөн синтез едилмийш фожозит типли сеолитдэ мүбадилэ олуимуш кобалт катионлары илэ аммоңак молекулларынын гарышлыгы тэсир характеристикин өврэндэлмэснээн даир истигэлээр шэрэг олуимушдур.

Мүэйжэн едилмийшдир ки, сеолитдэ Co^{2+} катионлары аммоңак молекуллары илэ координасија кирэрэк амиакат типли комплекс эмэлэ кэтирир.

Z. G. Zulfugarov, D. M. Ganbarov, Kh. T. Kakhramanova,
Dj. I. Mirzai, N. G. Ragimov, L. G. Keiserukhskaya

INFRARED SPECTROSCOPIC AND ROENTGENOGRAFIC STUDIES OF THE COMPLEX FORMATION IN ZEOLITE-CaY-NH₃ SYSTEM

This work deals with the study of the interaction nature of the exchanging cations of cobalt with ammonia molecules in zeolite of faujasite type synthesized on the base of natural perlite glass.

Roentgenodiffractometric analysis shows the evident change of relative intensities during the exchange of Na to Co adsorption of ammonia molecules. The direct information about the existence of the coordinative bond gives adsorption band of the metal-nitrogen stretch $\nu(\text{MN})$.

Т. С. АХУНДОВ, М. В. ИМАНОВА, А. Д. ТАИРОВ

ТЕРМИЧЕСКИЕ СВОЙСТВА ВОДНОГО РАСТВОРА ЙОДИСТОГО НАТРИЯ ПРИ КОНЦЕНТРАЦИИ 400 г/л

(Представлено академиком АН Азербайджанской ССР А. А. Эфендизаде)

Настоящая работа, посвященная экспериментальному исследованию плотности и давления насыщенных паров водных растворов йодистого натрия в широком интервале изменения температуры и давления, выполнена согласно программе Советского национального комитета по сбору и оценке численных данных в области науки и техники Президиума АН СССР.

Для экспериментального определения плотности и упругости водных растворов смонтирована новая установка, позволяющая проводить исследования с большой точностью. Экспериментальная установка представляет собой один из вариантов метода пьезометра постоянного объема. На рисунке показана схема экспериментальной установки. Основным ее элементом является цилиндрической формы пьезометр 1 из нержавеющей стали 1Х18Н10Т наружным диаметром 30 мм, внутренним — 20 мм. Объем пьезометра при 20°C и давлении 0,1 МПа составляет $13,5768 \pm 0,0028 \text{ см}^3$. В нижний штуцер пьезометра впаян капилляр 2 из нержавеющей стали, внутренним диаметром 1 мм. Другой конец этого капилляра выведен в зону комнатных температур и присоединяется к ртутному "затвору" 3 — смотровому окну — устройству, фиксирующему объем исследуемой жидкости. Смотровое окно в свою очередь через разделяющую емкость 4 соединяется с грузопоршневыми манометрами МП-600 и МП-60, класса 0,05%.

Для заполнения пьезометра исследуемой жидкостью и выпуска ее при переходе из одного равновесного состояния в другое, в пьезометр впаян второй капилляр 5 одинакового диаметра с первым. Этот капилляр также выводится в зону комнатных температур и соединяется с вентилем 6.

Балластный объем составляет всего 2,75% от рабочего объема пьезометра, причем на зоне переходных температур приходится 0,7%. И, хотя изменение количества исследуемой жидкости в балластном объеме при различных режимах измерений очень мало по абсолютной величине, при прецизионных измерениях необходимо его учесть. Эта поправка на балластный объем пьезометра нами вводилась расчетным путем. Терmostатирование пьезометра осуществляется в жидкостном терmostате 7, снабженным осевым насосом 8, регулировочным нагревателем 11 и регулятором температуры 9, обеспечивающим постоянство регулирования температуры с погрешностью $\pm 0,02^\circ$. В качестве терmostатирующей жидкости до 450 K применен техни-

ческий глицерин — выше-расплавленная селитра. Вывод установки на заданный температурный режим осуществлялся с помощью контактного термометра 10. Для измерения температуры использовался образцовый платиновый термометр сопротивления 12 конструкции

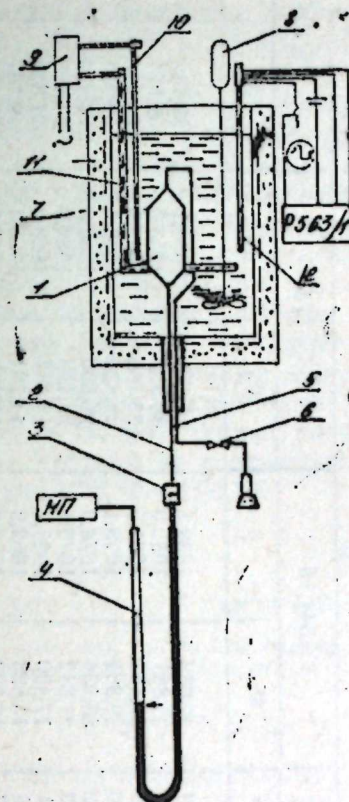


Схема экспериментальной установки

ВНИИФТРИ. Сопротивление термометра измерялось компенсационным методом с применением потенциометра Р(363)2 и образцовой катушки сопротивления. Максимальная погрешность измерения температуры до 600 K не превышает $\pm 0,02^\circ$. Избыточное давление в установке измерялось грузопоршневым манометром МП-600 и МП-60, класса 0,05%.

Таблица 1

T, K	293,15	298,15	313,15	323,15	333,15	348,15	353,15
p, кг/м³	1301,5	1298,3	1288,2	1281,1	1273,3	1263,0	1257,9

Удельный объем определялся как частное от деления объема пьезометра на количество исследуемой жидкости, заполняющей пьезометр при измеренных давлении и температуре. Максимальная суммарная относительная ошибка определения удельных объемов на экспериментальной установке не превышает $\pm 0,1\%$. Более подробно о методике измерений основных опытных величин, а также о введении поправок, присущих данному методу, говорится в [1].

При исследовании плотности растворов на данный установке

T, K		P, MPa		ρ, кг/м ³		T=323,15		T=348,15		T=373,15		T=398,15		T=423,15		T=448,15	
P	ρ	P	ρ	P	ρ	P	ρ	P	ρ	P	ρ	P	ρ	P	ρ	P	ρ
39,799	1319,8	39,622	1302,3	39,161	1283,1	39,623	1263,7	39,102	1242,5	39,321	1221,6	38,922	1197,5	35,378	1195,0	32,283	1192,8
36,123	1317,9	35,819	1300,1	35,419	1281,3	36,150	1262,0	36,023	1240,7	36,119	1217,4	32,797	1190,6	28,998	1190,6	24,222	1187,4
32,071	1315,6	32,955	1298,5	32,950	1280,1	32,148	1260,1	31,839	1238,5	32,747	1236,4	28,748	1214,5	24,220	1187,4	21,220	1184,3
28,074	1313,5	28,545	1296,0	28,873	1278,0	28,247	1258,0	27,747	1236,3	23,287	1233,8	24,593	1212,0	19,470	1184,3	15,567	1181,5
24,635	1311,6	24,678	1293,9	25,251	1276,3	24,701	1256,3	19,225	1231,7	18,368	1207,7	19,470	1203,3	12,018	1179,5	12,018	1179,5
21,349	1309,8	20,198	1291,4	20,302	1273,5	19,610	1253,7	15,253	1229,4	14,197	1209,0	9,323	1226,5	10,777	1200,4	7,831	1176,8
15,773	1306,9	14,749	1288,5	15,688	1271,2	14,823	1257,3	10,457	1249,0	6,489	1247,2	4,702	1223,9	5,758	1221,5	2,234	1172,9
10,634	1304,0	10,412	1286,2	11,102	1269,0	10,457	1249,0	5,361	1265,7	1,173	1244,3	0,501	1223,9	1,117	1197,5	0,7925	1172,3
5,350	1301,2	5,748	1284,1	5,748	1284,1	0,874	1284,1	0,874	1263,5	0,09028	1243,8	0,20666	1221,4	0,42388	1197,0	0,7925	1172,3
0,421	1298,7	1,150	1281,5	1,150	1281,5	0,09028	1243,8	0,09028	1243,8	0,09028	1243,8	0,09028	1243,8	0,09028	1243,8	0,09028	1243,8

Продолжение табл. 2

T=473,15		T=493,15		T=523,15		T=543,15		T=573,15		T=598,15	
P	ρ	P	ρ	P	ρ	P	ρ	P	ρ	P	ρ
39,611	1173,5	39,497	1146,9	39,419	1118,9	39,653	1089,1	39,375	1056,1	39,732	1020,1
35,639	1170,4	35,866	1144,0	35,387	1115,1	35,881	1085,0	36,563	1053,0	36,821	1016,3
31,417	1167,5	32,134	1141,1	31,799	1111,9	32,452	1081,5	33,168	1048,5	33,250	1011,2
28,077	1165,0	28,630	1137,9	28,515	1109,0	29,331	1078,1	29,423	1043,8	30,331	1007,1
24,361	1162,3	25,002	1135,0	24,573	1105,2	26,134	1074,9	25,600	1038,8	27,419	1002,0
20,678	1162,3	20,601	1131,4	20,887	1101,8	21,842	1070,1	22,173	1034,0	24,688	997,5
16,550	1156,8	15,585	1127,5	17,601	1099,1	17,550	1065,5	18,427	1028,9	21,860	992,2
12,083	1153,5	11,334	1124,4	13,882	1095,1	13,823	1062,5	14,761	1023,4	19,137	987,3
8,501	1151,2	7,150	1120,8	9,465	1091,7	10,272	1058,0	11,223	1017,5	16,259	982,0
2,689	1147,1	3,149	1117,6	4,617	1087,2	6,318	1053,9	8,201	1012,0	11,802	973,1
1,381	1146,1	2,273	1116,7	3,732	1085,9	5,301	1052,6	7,652	1010,9	10,710	971,0

необходимо предварительно располагать их плотностью при атмосферном давлении и в небольшом интервале температур. Эти данные необходимы для определения количества исследуемой жидкости, заполняющей пьезометр перед началом опытов при известных давлениях и температуре и измерения пикнометрическим методом в интервале температур 290–350 К с погрешностью, не превышающей $\pm 0,03\%$ (табл. 1).

В настоящей работе исследованы плотности и давления насыщенных паров водного раствора йодистого натрия, содержащего 400 г соли в 1 л раствора. Измерения P_s-T_s зависимости водного раствора йодистого натрия производились на экспериментальных изотермах со входом в двухфазную область параметров состояния. Выпуски вещества из пьезометра осуществлялись так, чтобы измерение давления насыщения производилось как можно ближе к пограничной кривой. При этом на каждой изотерме давление в двухфазной области, измеренное при двух близких друг другу ($\sim 1\%$) плотностях практически не менялось. Полученные данные приведены в табл. 2. Там же приведены давления насыщенных паров и значения плотностей насыщенной жидкости, полученные графической экстраполяцией экспериментальных изотерм на соответствующие давления насыщения при температурах 373,15–598,15.

Литература

Ривкин С. Л., Ахундов Т. С., Техноэнергетика*, № 1, с. 67–65, 1962.

Азербайджанский институт нефти и химии им. М. Азизбекова

Поступило 16. IV 1982

Т. С. Ахундов, М. В. Иманова, А. Д. Тайров
400 г/л КОНЦЕНТРАСИЯ НАТРИУМ ЙОДИДИН СУЛУ
МЭЛҮЛҮҮНУУ ТЕРМИКИ ХАССЭЛЭРН

Магалээ бир литр мэйлүүлдэ 400 г натриумууд юл дузу олан суу мэйлүүлүн сыхмыгынын да дошмуш бүхэр тээжигини таңгүүбүү үсулла тэлгигиний этичэлээр верилүүлүшдир. Олчмалар 598,15 К-ээ 40 МПа тээжинэ гээр амаралымышадыр.

T. S. Akhundov, M. V. Imanova, A. D. Tairov

THERMAL PROPERTIES OF AQUEOUS SOLUTION OF SODIUM IODINE AT THE CONCENTRATION 400 g/l

The results of experimental density and pressure studies of the saturated vapour of aqueous sodium iodine solution containing 400 gr of salt in a litre of solution are delivered. The measurements are carried on up to 598,15 K and pressure 40 MPa.

ГЕОЛОГИЯ

С. М. СУЛЕЙМАНОВ, В. М. БАБА-ЗАДЕ, А. А. МАСИМОВ,
В. Г. РАМАЗАНОВ

СООТНОШЕНИЕ ОСНОВНЫХ ЛИНЕЙНЫХ И КОЛЬЦЕВЫХ СТРУКТУР, КАК ФАКТОР ПРОГНОЗА РУДНЫХ МЕСТОРОЖДЕНИЙ

(Представлено академиком АН Азербайджанской ССР А. Д. Султановым)

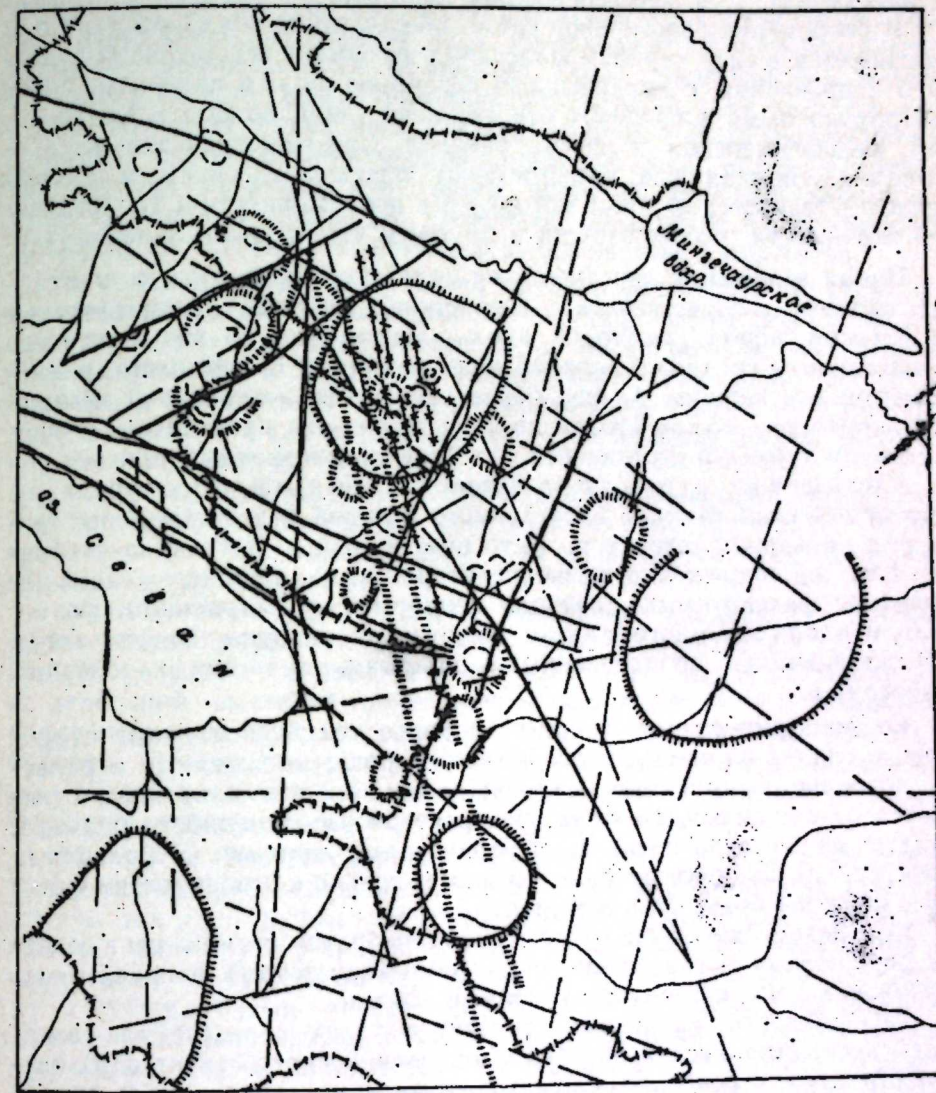
С целью изучения соотношений основных линейных и кольцевых структур и прогнозирования размещения рудных и нерудных месторождений дистанционными методами, авторами произведена выборка, сбор и дешифровка космических и высотных снимков для эвгесинклиналии Малого Кавказа и ее внешнего обрамления. Были также использованы снимки, отснятые фотосистемой МФК-6, фирмы "Карл Цейс", ГДР и снимки EPTS-E и EPTS-1, ресурсный спутник NASA США. При интерпретации результатов дешифрирования применена методика обработки [4,5] и использования отдешифрированных на аэрокосмических снимках линеаментов. Эта методика позволяет изучить раздробленность земной коры в плане и на заданной глубине.

Линейные структуры Малого Кавказа проявляются в виде довольно густой сети разных по протяженности линеаментов с простиранием 5–20° и 310–315°. Среди них, к числу наиболее основных, определяющих расположение главных структур Сомхито-Карабахской формационной зоны (Шамхорский, Муровдагский антиклиниории и Дашкесанский синклиниорий) относятся системы общекавказского и поперечного или северо-восточного направлений, которые отражены на существующих геологических картах [2,6]. Они подтверждаются геофизическими и геоморфологическими данными, а также данными специальной обработки аэрокосмической информации. Сказанное в равной мере относится и к выделенным авторами линеаментным зонам север-северо-западного простирания.

Среди выделенных нами зон, наиболее интересной и перспективной является так называемая Кедабек-Далидагская линеаментная зона глубокого заложения, прослеживаемая в ССЗ (субмеридиональном) направлении, начиная с Предмалокавказского разлома (в районе р. Дзегамчай) через Кедабекский рудный район и г. Далидаг на территории Армении, а возможно и далее. Мощность зоны порядка 10–15 км. Вдоль этой линеаментной зоны сконцентрированы массивы гранитоидов раннегеосинклинальной плагиогранитовой (Атабек–Славянский), поздне-геосинклинальной габбро-диорит-гранодиоритовой (Дашбулагский, Кедабекский и Шамхорчайский) и орогенной гранодиорит-сиенит диоритовой (Далидагский, возможно и Мегри-Ордубадский) формаций и связанные с ними месторождения и проявления эндогенных руд.

Линеаментная зона опознается также поперечной (субмеридиональ-

ной) ориентированной интрузивных выходов (Атабек-Славянский, Дашбулагский), относительно среднеюрским складчатым структурами [1] и наличием протяженной (16–18 км) зоны измененных пород нижней вулканогенной толщи байоса, а также и по геоморфологическим при-



Соотношение основных линейных и кольцевых структур северо-восточной части Малого Кавказа: 1–3—кольцевые структуры: 1—первого порядка; 2—второго порядка; 3—третьего порядка; 4–7—линеаменты; 4—Кедабек-Далидагская линеаментная зона; 5—дешифрированные и имеющиеся в геологических картах; 6—дешифрированные и исследованные наземными наблюдениями; 7—дешифрированные, но не исследованные наземными наблюдениями.

накам, спрямленным участкам или резким изгибам речных долин, (линейно расположение левого притока р. Дзегамчай и р. Мегри, резкие изгибы р. Шамхорчай в районе с. Калакенд и р. Тертер в

районе с. Зар), приуроченностью к ней минеральных источников (Славянский, Кедабекский и Калакендский источники типа "Нарзан" и "Истису"). Наконец, наличие выделенной зоны подтверждается аномальным изменением гравитационных и магнитных полей по трассе линеамента, т. е. геофизическими данными.

В современном эрозионном срезе линеаментная зона фрагментарно фиксируется в виде серии параллельных разломов север-северо-западного направления, с выдержаным северо-восточным падением, сконцентрированными в пределах относительно узкой полосы в Кедабекском, Кельбаджарском и других районах. При генерализации на космических снимках они соответствуют отдельным участкам единой Кедабек-Далидагской зоны, которую по протяженности и геологической значимости можно отнести к крупным структурам — линеаментам.

Время заложения линеамента не моложе средней юры, о чем свидетельствует существенное возрастное различие магматических комплексов пород, развитых вдоль линеамента, в результате его активизации в средней и верхней юре, палеогене и, возможно, ранне-четвертичном периоде. О еще более древнем (палеозойском) заложении линеамента можно судить по совпадению его простирации с направлением структур фундамента (Атабекский поперечный прогиб).

Кольцевые структуры. Наряду с линейными структурами, на аэрокосмических снимках исследуемого региона отдешифрирован также ряд кольцевых структур, часто приуроченных к узлам пересечения или же сопряжения разноориентированных крупных линейных структур, фиксируемых сложным геологическим строением, размещением вдоль их многофазовых интрузивов центров палеовулкана, а также важными промышленными объектами эндогенных полезных ископаемых.

Отдешифрированные крупные и более мелкие кольцевые структуры выглядят на снимках как четкие, хорошо выраженные в рельфе, правильные круги или дуги. Площади их составляющих, отличаются от окружающего их фона характеру расчлененности рельефа, а также ярковыраженными концентрическими линиями. У кольцевых структур, где подобное отличие сводится только к особенностям фототона, контуры более расплывчаты.

Кольцевые структуры области цепочкообразно размещены в северо-северо-западном и северо-западном (общекавказском) направлениях, сопрояждаясь мощными линеаментными зонами.

Расположение кольцевых структур в узлах пересечения разноориентированных систем линейных нарушений способствует образованию структур с особенно сложным внутренним строением. В подобных случаях магматические образования, обнажающиеся на поверхности, не очень отчетливо вписываются в контур сложной кольцевой структуры.

Как видно из схемы, максимальная плотность кольцевых структур на единицу площади в данной области, соответствует Шамхорскому блоку, в котором наиболее четко выражено Хархарское кольцо. Последнее имеет овальную форму диаметром до 50 км и слегка вытянуто в субмеридиональном направлении. На космических снимках данная структура отбивается по различным гризнякам, в основном сложным уступом, отличающимся от вмещающей среды по относительно светлому фототону. Овальная форма структуры совпадает с

контурами нижне- и верхнебайосских вулканогенов, занимающих междуречье Дзегамчая и правобережье Шамхорчая. Такое взаимоотношение позволяет предполагать, что заложение кольцевой структуры произошло одновременно или почти одновременно с консолидацией байосского вулканогенного комплекса. Начиная с батского времени участок внутри контура кольцевой структуры испытывал относительное погружение, вследствие чего происходило накопление батских вулканогенно-осадочных отложений. Такое геологическое строение позволяет отнести рассматриваемую структуру к типу кальдеры осадания, подтверждением чему является наличие в Кедабекском районе обширной отрицательной гравитационной аномалии, интерпретируемой как крупная интрузия или группа интрузий, имеющих кислый или умеренно-кислый состав [3]. Внешнее обрамление этой структуры довольно характерно подчеркивает вулканические сооружения.

В пределах этой относительно крупной кольцевой структуры выделяется ряд мелких колец второго порядка, соответствующих Атабек-Славянскому плагиогранитовому и более мелким по масштабу Джагирчайскому и Хархарскому гранодиорит-кварц-диоритовому интрузивным массивам. В южном же обрамлении кольцевой структуры вырисовывается Кедабекский гранитоидный массив и субвулканическое тело в районе с. Шекарбек.

Все остальные выявленные структуры в этой части области в основном соответствуют или ранее известным вулкано-плутоническим постройкам и интрузивным массивам, или же являются отражением невскрытых интрузивных тел.

Металлогеническое значение выявленных кольцевых структур определяется приуроченностью к ним узлов концентрации эндогенных руд. В результате обработки материалов наземных и дистанционных исследований выявлена определенная закономерность в размещении и формировании рудных районов и узлов в этих структурах. Установлено, что они приурочиваются к участкам пересечений региональных разломов (в основном, север-северо-западных и северо-западных) с центральными зонами кольцевых структур.

По трассе Кедабек-Далидагской линеаментной зон наблюдается закономерное распределение цветных и редких металлов, при этом намечаются две группы элементов: 1) "сквозные" — медь, молибден, свинец, цинк и др., приуроченные к линеаменту, независимо от того, какие структуры он пересекает. Руды этих металлов ассоциируют с субщелочными липарит-дацит-плагиогранитовой, гранодиорит-сиенит-гранитовой формациями, сформированными в течение средней юры — палеогена и моложе. К этой группе можно отнести Карадагское, Хархарское, Маарифское, Беюк-Калачинское медно-молибденово-порфировые, Кедабекское и Айталинское серно-медно-колчеданные, Ново-Гореловское медно-цинковое, Битти-булахское медно-мышьяковое, Далидагское медно-молибденовые и полиметаллическое месторождения и проявления и 2) "стационарные" — ртуть, сурьма и др., развивающиеся на участках развития основных и ультраосновных пород — Левчайское ртутьно-сурьмянное, Соютлинское и Агдуздагское кварц-убогосульфидные месторождения и проявления.

Все перечисленные месторождения и проявления по трассе линеамента возникают в пределах рудоконтролирующих структур, т. е. во внутренней части кольцевых структур второго порядка. Таково

например, положение Хархарского, Кедабекского, Далидагского месторождений. При этом, кольцевые структуры второго порядка с наиболее сложным внутренним строением являются особенно перспективными.

Анализ позволяет сделать вывод о том, что в рассматриваемой области сложный процесс формирования месторождений и проявлений эндогенных руд контролируется кольцевыми структурами в тесном взаимодействии с линейными нарушениями, в конкретном случае Кедабек-Далидагской линеаментной зоной. Подобное расположение месторождений в значительной мере повышает интерес к выявлению всевозможных скрытых ресурсов в этой зоне, а также в аналогичных структурных зонах.

Литература

1. Абдуллаев Р. Н., Мезозойский вулканизм северо-восточной части Малого Кавказа. Изд-во АН Азерб. ССР, 1962.
2. Кацкая М. А., Тамразян Г. Г. Об антикавказских дислокациях на Кавказе. Труды Совещ. по текстонике альпийской геосинклинальной области юга ССР. Изд-во АН Азерб. ССР, 1966.
3. Никольский Ю. И., Милой Т. А. и др. Геолого-геофизические исследования тектоники,магматизма и металлогении Кавказа. „Недра”, Л., 1975.
4. Сулейманов Э. С., Нечаев Ю. В., Ахундов Р. А., Мустафаев И. М. Оценка глобальной трещиноватости земной коры по космическим снимкам. „Советская геология”, 1978.
5. Сулейманов Э. С., Масимов А. А. и др. Роль трещинной тектоники в локализации медно-порфировых руд Хархарской группы проявлений (Азерб. ССР, Малый Кавказ). „ДАН Азерб. ССР”, № 3, 1980.
6. Шихалиев Э. Ш. Геологическое строение и история тектонического развития восточной части Малого Кавказа. „Изв. АН Азерб. ССР”, т. 2. Баку, 1966.

АГУ им. С. М. Кирова

Поступило 3. III. 1983

С. М. Сулейманов, В. М. Бабазадэ, А. А. Масимов, В. К. Рамазанов

ЭСАС ХЭТТИ ВЭ ДАИРЭВИ СТРУКТУРЛАРЫН МУНАСИБЭТИ ФИЛИЗ ЖАТАГЛАРЫНЫН ПРОГНОЗЛАШДЫРЫЛМАСЫ ФАКТОРУ КИМИ

Космик шэкиллэрин дешифрэ единмәс иэтчесиндэ Кичик Гафгазда бир сыра хэтти вэ дайрэви структурлар мүэйжэн единмешдир. Буллардан филиз тэмэркузлэшдирмэс чөхтдэн Кедебэй-Дэлидаг линеамент зонасы, хүсүсэн онун дайрэви структурларла мұнасибэтдэ олан һиссәләри бөյүк мараг кәсб едир.

S. M. Suleimanov, V. M. Baba-zade, A. A. Masimov, V. G. Ramazanov

CORRELATION OF MAIN LINEAR AND CIRCULAR STRUCTURES AS FACTOR OF PROGNOSING OF ORE RESOURCES

In Minor Caucasus on the basis of developed cosmic pictures circular and linear structures are distinguished among which the most perspective in term of the ore-concentration is the region of Gedabek-Dalidag lineament area, specially its combination with circular structures. Such regularity increases the interest to define unknown resources in the analogical structural areas.

АЗӘРБАЙЧАН ОСР ЕЛМЛӘР АКАДЕМИЯСЫНЫН МӘРҮЗӘЛӘРИ

ДОКЛАДЫ АКАДЕМИИ НАУК АЗЕРБАЙДЖАНСКОЙ ССР

ТОМ XXXIX ЧИЛД

№ 7

1983

УДК 553.982:551.24(479.24)

ГЕОЛОГИЯ НЕФТИ

З. А. БУНИАТ-ЗАДЕ, А. А. НАРИМАНОВ

О ГЛАВНЫХ ФАЗАХ МИГРАЦИИ УГЛЕВОДОРОДОВ НА ЗАПАДНОМ БОРТУ ВПАДИНЫ ЮЖНОГО КАСПИЯ

(Представлено академиком АН Азербайджанской ССР Ш. Ф. Мехтиевым)

На фоне непрерывной общей дегазации Земли миграция углеводородов в земной коре представляет собой сложный непрерывно-пульсационный процесс, при котором на постоянный фон миграции углеводородов накладывается своеобразная пульсация, заключающаяся в относительно кратковременных интервалах резкой активизации этого явления природы. «Всплески» миграции углеводородов, именуемые ее главными фазами, находятся в прямой причинной связи с усилением тектонической активности недр. Для различных областей нефтегазонакопления эти фазы могут, в зависимости от особенностей строения и истории геологического развития, отличаться как по количеству, так и по стратиграфической приуроченности.

В данной статье сделана попытка выявить главные фазы миграции углеводородов на западном борту впадины Южного Каспия.

Для Апшеронской нефтегазоносной области эти фазы определены [1—4 и др.] на основе изучения прямых признаков вертикальной миграции нефти (россыпи погребенной нефтяной гальки, линзы асфальта, нефтяные дайки в песчаных породах и т. п.) в среднеплиоцен-современном интервале геологического разреза. Нами обобщены и проанализированы данные об особенностях геологического строения и истории геотектонического развития разведочных площадей Бакинского архипелага [5] и Нижнекуринской депрессии; данные о последней дополнены из опубликованных работ [6—9].

Выполненный палеотектонический анализ ряда структур Бакинского архипелага (Булла-море, б. Погорелая Плита, о. Камень Игнатия и др.), а также анализ данных произведенного здесь довольно значительного объема картировочного, структурного, поискового и разведочного бурения вкупе с результатами геофизических исследований и данными о деятельности газонефтяных вулканов позволили выделить в недрах Бакинского архипелага погребенные следы интервалы и площади распространения пластов газонефтеулканической брекчии, восстановить историю геотектонического развития отдельных площадей и решить ряд других вопросов. В результате в среднеплиоцен-современном интервале разреза Бакинского архипелага удалось выявить стратиграфические диапазоны времени, характеризующиеся наивысшими степенями региональной геотектонической активности [5].

Исходя из прямой (причинно-следственной) зависимости усиления миграции углеводородов в пределах той или иной геологической области

от интенсификации тектонической активности ее недр, нами на фоне непрерывно протекающего процесса миграции углеводородов в пределах Западного борта впадины Южного Каспия выделены главные фазы миграции углеводородов, обусловившие накопление в различных ловушках ее подавляющего объема углеводородов нефти и газа. В изученном интервале геологического разреза эти фазы приурочены к интервалам времени нижнего ашхерона, середины среднего-верхнего ашхерона и с верхнебакинского горизонта по наши дни [10].

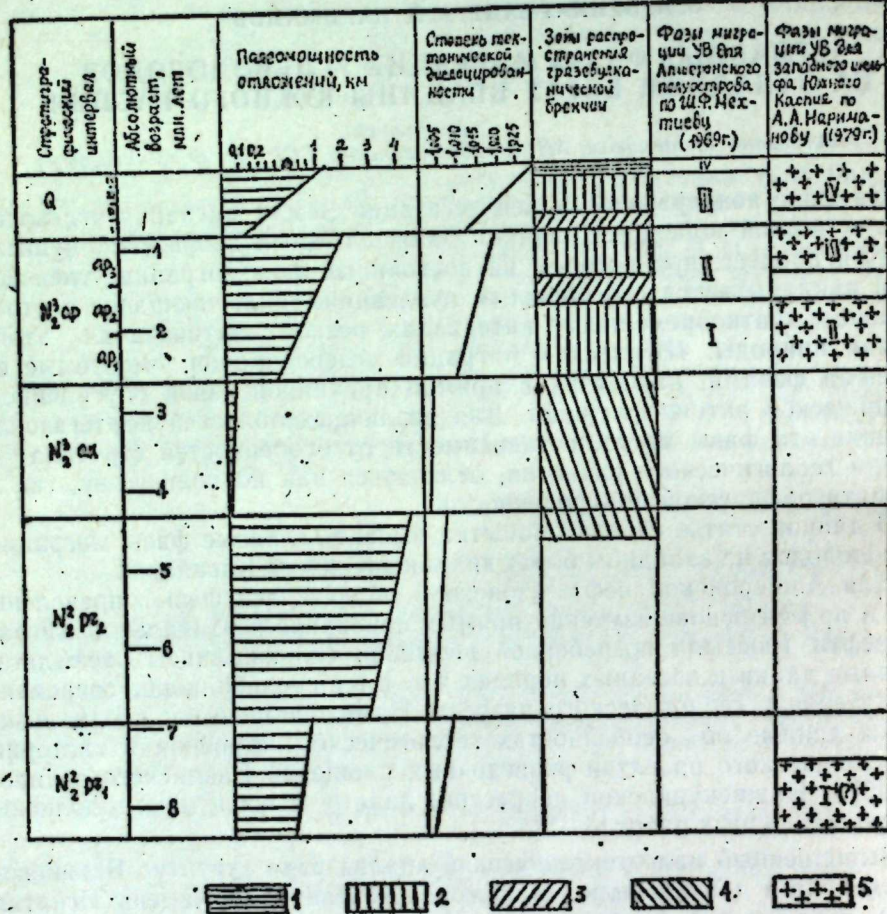


Схема главных периодов миграции углеводородов в среднеплиоцен-четвертичном комплексе отложений западного борта Южно-Каспийской впадины (составил А. А. Нариманов).

Зоны распространения брекчий по степеням: 1—интенсивного распространения; 2—сильного; 3—слабого; 4—весьма слабого; 5—интервалы времени главных фаз миграции углеводородов.

Что касается выделенной рядом исследователей [4, 11] фазы миграции углеводородов, приуроченной ко времени отложения нижнего отдела продуктивной толщи, то данные по Бакинскому архипелагу пока еще не дают оснований выделить в это время главную фазу, равнозначную указанным. Это может быть объяснено пространственно-временной связью региональных разломов с газонефтяными вулканами и нефтега-

зовыми залежами [12], обусловившей менее яркую выраженность в более внутренних частях впадины Южного Каспия (в частности, в пределах Бакинского архипелага) наиболее ранней из известных фаз миграции углеводородов. В целом же некоторые особенности тектоники нижнего отдела продуктивной толщи Западного борта впадины Южного Каспия и распределения в нем нефтегазовых залежей не исключают возможности выделения самостоятельной фазы миграции углеводородов до начала отложений верхнего отдела продуктивной толщи.

На рисунке, характеризующем степень дислоцированности положительных структур (через отношения длины горизонта в поперечном сечении к длине его горизонтальной проекции), значения мощностей отдельных стратиграфических интервалов указаны для Бакинского архипелага, т. к. в целом по Западному борту впадины Южного Каспия они изменяются в довольно широком диапазоне.

Последняя, верхнебакинско-современная главная фаза миграции углеводородов достигла в наше время своего апогея, о чем свидетельствуют такие ее признаки, как повсеместная интенсивная эруптивная деятельность газонефтяных вулканов, формирование газовых скоплений под газонефтеулканической брекчий четвертичного периода, полная заполненность углеводородами глубокопогруженных структурных ловушек (например, Булла-море) и др. Как уже указывалось, «современный газонефтяной вулканализм — один из наиболее ярких и убедительных среди геологических факторов, которые служат прямым указанием на наличие миграции нефти и газа, протекающей и в настоящее время» [4].

Естественно, что сама стратиграфическая приуроченность нефтяной залежи является однозначным свидетельством лишь нижней границы возможного диапазона времени начала ее формирования. Для определения верхней границы этого диапазона нужны другие столь же веские геологические аргументы.

Для области своего развития (и в частности для рассматриваемого Западного борта впадины Южного Каспия) одним из ярких и убедительных геологических факторов является газонефтяной вулканизм, интенсивная деятельность которого на ряде площадей отдельных районов и областей их развития в определенные интервалы времени свидетельствует об усилении («пульсации») в это время миграции углеводородов, а пароксизмы современной активной деятельности указывают на миграцию этих углеводородов и в настоящее время.

В «необратимой эволюции земной коры» (акад. Н. М. Страхов) возникновение газонефтяного вулканизма, как нового феномена в развитии осадочной толщи, относится ко времени третичной системы, что, с одной стороны, имеет довольно аргументированное теоретическое обоснование, а с другой объясняется практической неизвестностью ни одного факта обнаружения в разрезах более древних отложений следов газонефтевулканической деятельности. С этим же диапазоном времен связано и формирование нефтяных залежей на нашей планете. Как показано в работе [13], в мировой практике нет «случая, когда геологически было бы доказано существование нефтяных залежей в мезозое или палеозое, не говоря уже о докембрии».

Выделение главных фаз миграции углеводородов в средне- — плиоцен-современном интервале Западного борта впадины Южного Каспия

позволяет скорректировать оптимальное направление поисков нефтегазовых месторождений, контролируемых неантклинальными ловушками, образованными в верхнеплиоцен-четвертичное время. В частности, следует шире развернуть поиск тектонически-экранированных залежей на далеких бортовых погружениях антиклинальных зон за пределами опоясывающих Кичикдаг-Андреевский прогиб дизъюнктивами апшеронского времени заложения.

Литература

1. Мехтиев Ш. Ф., Горин В. А. «Уч. зап. АГУ им. С. М. Кирова, серия геол.-геогр. наук», № 6, с 3—11, 1961.
2. Мехтиев Ш. Ф. Проблемы генезиса нефти и формирования нефтегазовых залежей. Изд-во АН Азерб. ССР, 325, 1969.
3. Горин В. А., Буният-Заде З. А. «Уч. зап. АГУ им. С. М. Кирова, серия геол.-геогр. наук», № 6, с. 3—7, 1963.
4. Горин В. А., Буният-Заде З. А. Глубинные разломы, газо-нефтяной вулканизм и залежи нефти и газа Западного борта Южно-Каспийской впадины, 190, «Азернефть», 1971.
5. Нариманов А. А. Геологическое развитие Бакинского архипелага в среднеплиоцен-четвертичный период в связи с поиском нефтегазовых скоплений. В сб. «Перспективы освоения морских нефтегазовых месторождений», с. 5—6. Баку, 1979.
6. Алиев А. К. Геология и нефтегазоносность Кура-Аракской области. «Азнефтениздат», Баку, 1960.
7. Исмайлова К. А., Коцарли Ш. С. «Изв. АН Азерб. ССР, серия геол.-геогр. наук», № 4, с. 10—18, 1965.
8. Шихлинский А. Ш. Геология и перспективы нефтегазоносности плиоценовых отложений Нижнекуринской впадины. «Азернефть», Баку, 1967.
9. Асадов М. Н., Гульдуст М. А. АНХ, № 1, с. 9—11, 1968.
10. Нариманов А. А. О фазах миграции нефти и газа в Бакинском архипелаге. В сб. «Перспективы развития геологоразведочных и буровых работ с целью интенсификации добычи нефти в Азербайджане», с. 61. Баку, 1979.
11. Багирзаде Ф. М. Формирование среднеплиоценовых залежей нефти и газа в акваториальной части Южно-Каспийской впадины. «Азернефть», 1968.
12. Буният-Заде З. А. О генетической связи нефтегазовых залежей Южно-Каспийской впадины с газо-нефтяным вулканизмом этой впадины. В сб. «Материалы научной сессии, посвященной 50-летию АГУ им. С. М. Кирова, серия геол.-геогр. наук», с. 87—89. Баку, 1969.
13. Геологические критерии поиска новых объектов на нефть и газ на территории Украины, с. 150. Изд-во «Наукова Думка», Киев, 1977.

Институт геологии

Поступило 1. II 1980

З. Э. Буниятзаде, А. Э. Нариманов

ЧЭНУБИ ХЭЗЭР ЧӨКӨКЛИЈИННИН ГЭРБ ЙАМАЧЫНДА КАРБОҮДРОКЕНЛЭРИН МИГРАСИЈАСЫНЫН ЭСАС ФАЗАЛАРЫ ҮАГГЫНДА

Чэнуби Хэзэр чекёклийнин гэрб юмачынын геологи кэсилишини Орта Плиоцен мүасир дээр үүдүндэд карбоидрокенлэрийн фасилэсэз миграција просеси кедир. Бүгд просес фонууда миграцијаны Алт Абшерон, Орта-Үст Абшеронууд орталары эс Уст Бакы норизонтундан идијэдэк олан вахт интервалларына иштээж эсас фаза мүэжэн эдилшидир.

Z. A. Buniyat-zade, A. A. Narimanov

ABOUT THE MAIN PHASES OF HYDROCARBON MIGRATIONS ON WESTERN EDGE OF SOUTH-CASPIAN HOLLOW

On the background of a continuous process of hydrocarbon migrations in the middle pliocene-modern interval edge of South-Caspian hollow three main phases of this migration are distinguished. They are timed to the intervals of low apsheron, middle-upper apsheron and the period from upper Baku level till nowadays.

АЗЭРБАЙЧАН ССР ЕЛМЛЭР АКАДЕМИЈАСЫНЫН МЭРҮЗЭЛЭРИ

ДОКЛАДЫ АКАДЕМИИ НАУК АЗЕРБАЙДЖАНСКОЙ ССР

том XXXIX ЧИЛД

№ 7

1983

УДК 550.4:550.86

ПАЛЕОБИОГЕОХИМИЯ

Чл.-корр. Ак. А. АЛИ-ЗАДЕ, А. М. МАМЕДАЛИЗАДЕ,
С. А. АЛИЕВ, Г. А. ГАМЗАЕВ

ГЕОХИМИЧЕСКИЕ АСПЕКТЫ ДИАГЕНЕЗА ПАНЦИРЕЙ ECHINOIDEA

Изучение диагенетических изменений в химическом составе и строении беспозвоночных является одной из важных задач палеобиогеохимии. При диагенетических процессах, возникающих с момента осадконакопления изменения, как правило, происходят в составе раковины организма и окружающей его среды. В обоих случаях как в вещественном составе скелетных остатков, так и в осадках возникают изменения различного характера. Нередко наблюдается образование более устойчивых модификаций кристаллов за счет менее устойчивых. Существенную роль при диагенезе играют воды и растворы, обладающие различной растворительной способностью на состав осадков.

Нами изучены панцири Echinoidea из кампанских и маастрихтских отложений Малого Кавказа, подвергшиеся различной степени диагенетическим изменениям на разных стадиях седиментогенеза и литификации. Для сравнения на признак диагенеза, был использован большой сравнительный материал по современным эхиноидеям из Охотского и Японского морей, Сахалинского залива, Индийского и Тихого океанов и др. В общей сложности, было изучено и проанализировано 450 панцирей современных и ископаемых Echinoidea. Всего изучены скелетные части 20 видов (16 ископаемых, 4 современных) Echinoidea, относящихся к представителям 13 родов (9 ископаемых, 4 современных) из 5 отрядов (Echinoida, Clypeasteroida, Diadematoida, Holocystopoda и Spatangoida). Количественные определения Cu, Al, Si, Ti, Mn, Fe, Mg и Sr проводились спектральным методом.

С целью выявления характера сохранности вещественного состава панцирей ископаемых Echinoidea применена математическая обработка: подсчитаны средние концентрации (C), среднеквадратичные отклонения (C_s) и коэффициенты вариации (C_v) (табл. 1 и 2).

Были проведены также оптико-и сканирующие электронномикроскопические исследования с целью изучения постседиментационных изменений.

Под высоким активным кислородным потенциалом и при непосредственном участии микробов и бактерий происходит распад органического вещества. При этом возникает обмен веществ между составными частями скелетов и окружающей средой. В одном случае составные части органического вещества скелетов переходят в осадок и обогащают его различными химическими соединениями, а в другом — получает от него. Образующиеся пустоты в панцирях в результате абсорбции заполняются растворами различного состава. В зависимости от его состава в раковинах повышается концентрация кремния, железа, алюминия и др.

С незначительным изменением термодинамических параметров среды минеральный состав панциря не изменяется, происходит скрытая перекристаллизация первичного кальцита, разрушается внутренняя структура, за счет мелких кристаллов образуются крупные. При перекристаллизации часть магния и стронция выходит из структуры первичного

Таблица 1

Биогеохимическая характеристика современных эхиноид

Химические элементы	Средняя концентрация, С, %	Среднеквадратичное отклонение, С _с , %	Коэффициент вариации, С _в	Частота встречаемости, %
Cu	1,2·10 ⁻⁴	1,5·10 ⁻⁴	0,33	100
Al	1,0·10 ⁻²	1,03	1,3	100
Si	9,0·10 ⁻²	1,9·10 ⁻²	0,93	100
Ti	3,0·10 ⁻⁴	1,0·10 ⁻¹	0,07	100
Mn	6,0·10 ⁻⁴	5,4·10 ⁻¹	0,06	100
Fe	8,0·10 ⁻³	5,0·10 ⁻³	0,616	100
Mg	2,0·10 ⁻¹	8,2·10 ⁻¹	0,415	100
Sr	2,6·10 ⁻¹	8,4·10 ⁻¹	0,766	100

кальцита и их процентное содержание в панцире уменьшается. В некоторых случаях, в составе панцирей образуется отдельная фаза протодоломита [1]. В этом случае магний не образует своего самостоятельного минерала-магнезита [2].

Таблица 2

Биогеохимическая характеристика ископаемых эхиноид

Химические элементы	Средняя концентрация, С, %	Среднеквадратичное отклонение, С _с , %	Коэффициент вариации, С _в	Частота встречаемости, %
Cu	1,54·10 ⁻¹	1,8·10 ⁻⁴	0,778	100
Al	2,7·10 ⁻²	2,0·10 ⁻²	1,5	100
Si	3,0·10 ⁻²	2,8·10 ⁻²	0,89	100
Ti	1,4·10 ⁻³	1,0·10 ⁻³	1,45	100
Mn	6,8·10 ⁻²	1,1·10 ⁻³	1,56	100
Fe	4,6·10 ⁻²	5,4·10 ⁻²	1,19	100
Mg	2,3·70 ⁻¹	1,7·10 ⁻¹	0,767	100
Sr	6,0·10 ⁻²	2,5·10 ⁻¹	0,732	100

Во время фоссилизации и после него в некоторых образцах панцирей происходит интенсивное обогащение, в результате чего концентрация Fe, Mn, Ca, Ti, Al и Si увеличивается в 10—100 раз. При этом состав вещества панцирей Echinoidea по содержанию химических элементов мало отличается от состава вмещающих отложений.

Как видно из таблиц, средняя концентрация марганца и титана в современных панцирях меньше, чем в ископаемых. Обратная картина наблюдается в содержании магния и стронция. Содержание этих элементов в образцах панцирей современных Echinoidea больше, чем в ископаемых. В содержании Cu, Al, Si и Fe больших отклонений не наблюдается.

Сопоставляя значения средних концентраций и среднеквадратичных отклонений, можно отметить, что для современных Echinoidea минимальной вариацией обладает Ti ($C_v=0,07$), а максимальной — Al ($C_v=1,3$), для ископаемых Echinoidea минимальной вариацией обладает Sr, Mg, Cu и Si (C_v соответственно 0,73; 0,77; 0,78 и 0,89), а максимальной — Mn ($C_v=1,56$).

Разница между значениями среднеквадратичных отклонений (табл. 1 и 2) наблюдается для Mn, Ti, Mg и Sr в панцирях современных и ископаемых Echinoidea, что по нашим представлениям, связано с диагенетическими процессами.

Исходя из изложенного, можно заключить, что сохранность первичного содержания того или иного химического элемента в панцирях зависит, в первую очередь, от сохранности первичной внутренней структуры их и физико-химических факторов окружающей среды.

Литература

1. Ализаде Ак. А., Мамедализаде А. М., Халилов А. Д., Алиев С. А. «ДАН Азерб. ССР», т. XXXIV, № 12, 66—79, 1978. 2. Халифазаде Ч. М. В сб. «Проблемы современной литологии и осадочных полезных ископаемых», 80—83. Изд-во «Наука», 1977.

Институт геологии

Поступило 7. V 1981

А. Элизадэ, Э. М. Мамедализадэ, С. А. Алиев, К. Э. Гамзайев

ЕХИНОИД ЧАНАГЛАРЫНЫН ДИОКЕНЕЗИНИН КЕОКИМЈЭВИ АСПЕКТИ

Мәгәләдә мигдари спектрал, оптик ва электронмикроскопик үсуллары илә Кичик Гафгязы кампан вә маастрихт ехиноидләрниң чанагларының тәдиг олумасында бәнседишиләр.

Мүәյҗиди едилмишләр ки, ехиноидләрниң чанагларында кимјәви элементләрни илким мигдәрләрниң сахланасы илк иөвәдә габығын дахили түрлүшүнүү горунуб сахланышында вә этраф мүһиттин кеокимјәви амилләрниң асылылдыр.

Ak. A. Ali-Zade, A. M. MamedaliZade, S. A. Aliev, G. A. Gamzayev

GEOCHEMICAL ASPECTS OF DIAGENESIS OF ECHINOID ARMOURS

The character of safety of the armours and biogenic accumulation of Mg, Sr, Mn, Ti, Fe, Al, Si and Cu in armours of recent, Campan and Maastricht echinoids have been studied by optico- and scanning electron-microscopic observations and quantitative spectral analysis. It is revealed that safety of primary content of macro- and microelements in armours depends in the first place on the safety of the initial inner structure of the armours after their death and on geochemical factors of environment.

А. А. АЛИЗАДЕ

НЕКОТОРЫЕ ВОПРОСЫ ПЕТРОХИМИИ И ПЕТРОЛОГИИ НИЖНЕБАЙОСКОГО КОМПЛЕКСА ВУЛКАНИЧЕСКИХ ПОРОД МАЛОГО КАВКАЗА

(Представлено академиком АН Азербайджанской ССР А. Д. Султановым)

Вулканизм нижнего байоса является одним из мощных проявлений вулканической деятельности раннего этапа развития Малокавказской геосинклиналии. Его продукты широко распространены в пределах Шамхорского и Мровдагского антиклиниориев, мощностью более 2000 м. Вулканиты встречаются в лавовых, пирокластических и кориевых фациях, которые слагаются базальтами, диабазами, спилитами, пироксеновыми, плагиоклазовыми и кварцевыми порфиритами.

Как видно из петрографических особенностей и химизма изверженных пород, глубинные процессы формирования вулканического комплекса были довольно сложными. Поскольку все изверженные породы возникли из одного и того же первичного расплава, мы будем обсуждать причины и направленность дифференциации базальтовой магмы, а также место ее генерации. С этой целью нами использованы геологопетрографический материал, эксперименты исследователей и пересчеты 65 анализов изверженных пород методом, основанным на расчете химического состава по так называемым «нормативным» минералам, разработанным советскими и американскими исследованиями.

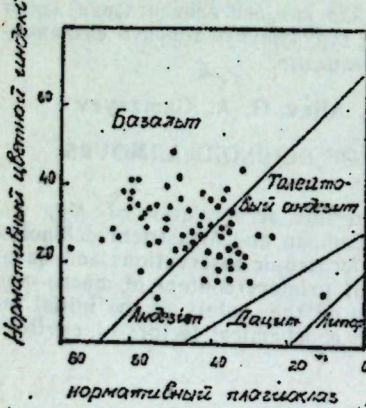


Рис. 1. Распределение вулканических пород нижнего байоса на диаграмме: нормативный цветной индекс-нормативный состав плагиоклаза.

Результаты приведенного пересчета показали, что вулканические породы нижнего байоса являются продуктами базальтовой и андезитовой магм (рис. 1). Базальтовая серия магмы представлена в основном

двумя типами — оливийловые базальты и кварцевые толенты. Наряду с этим встречаются их щелочные и глиноземистые разновидности.

Щелочно-базальтовая магма отличается от толеитовой обогащением щелочами и недонасыщенностью кремнеземом. Она не имеет важного самостоятельного значения, так как щелочные базальты нижне-байосского вулканизма пользуются весьма ограниченным развитием, установлены только лишь в семи анализах, в которых содержание нефелина изменяется от 0,29 до 12% вес. % минеральной молекулы. Следовательно, указанный тип базальтов не имел значительного щелочного уклона. Формирование этих пород происходило на больших глубинах (35—60 км) от богатых оливином толеитовых магм после удаления магнезиально-железистого метасиликата, приведшего к уменьшению содержания кремнезема, увеличению щелочности и окиси алюминия и кальция.

Большая часть базальтовых пород глиноземистая. Щелочные оливиновые базальты содержат 13,3—16,5 % глинозема. Оливиновые базальты и толеиты характеризуются повышенным содержанием глинозема, нередко достигаются 21—22%, как это наблюдается в андезитах. В указанных базальтах присутствуют основные плагиоклазы и глиноземистые пироксены (авгит и его разновидности).

Как известно из литературных источников, увеличение содержания глиноzemса в магматическом расплаве происходит отсадкой оливина и ромбического пироксена в оливиновом базальте и толенте, а в щелочном оливиновом базальте — моноклинного пироксена до кристаллизации полевых шпатов. В связи с тем, что содержание кремнезема в расплаве не изменяется, в последующей дифференциации магмы вместо пересыщенного кварцевого толента возникает высокоглиноzemистый оливиновый толент. Этот процесс, как показывают результаты экспериментов исследователей, происходит на глубине 15—35 км при давлении 9 кбар.

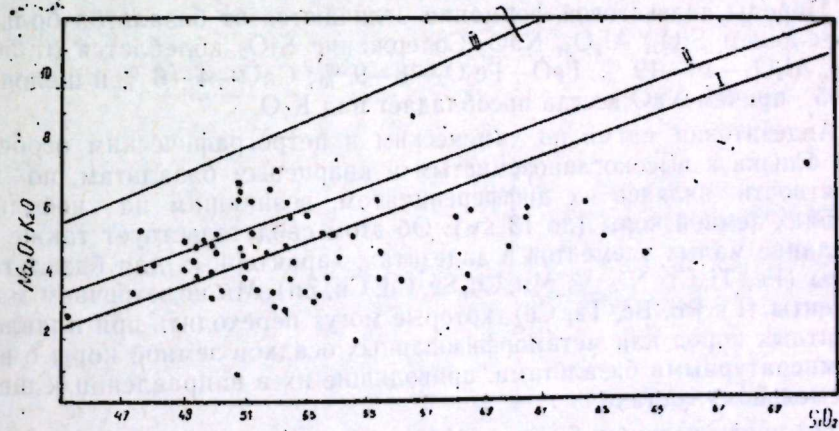


Рис. 2. Диаграмма зависимости суммарного содержания щелочей от кремнезема в породах базальтовой и андезитовой формаций вулканизма нижнего байоса.

Линия I, отделяющая поле щелочных базальтов от поля толентов, проведена по данным Макдональда и Кацуры (1964). Линии II—III, границы полей переходной, умеренно щелочной и сильнощелочной серий базальтов и андезитов, проведенных по данным Морра (1974) и Саккорсена—Вильямса (1964).

Х. Куно (1964) полагает, что по химизму высокоглиноземистые базальты являются переходной разновидностью между толентовыми и щелочными базальтами. Г. С. Йодер и К. Э. Тилли (1962) также отмечают, что высокоглиноземистые базальты нельзя включать ни в группу толентов, ни в группу щелочных базальтов.

Вторым основным типом базальтовой магмы вулканизма нижнего байоса являются кварцевые толенты. Они представляют собой базальты с нормативным кварцем и гиперстеном. Нормативный оливин отсутствует. Кварцевые толенты формировались в результате дифференциации оливиновых толентов в пределах земной коры на небольших глубинах и при низком давлении. В этих условиях ранняя кристаллизация оливина вызывает обогащение остаточного расплава окислами кремния, глинозема и кальция, приведшее к появлению сильно известкового плагиоклаза, который ограничивает развитие указанных компонентов в остаточном толентовом растворе, ведущего к образованию обогащенных железом и щелочами кварцевых толентов.

Породы кварцевых толентов представлены порфиритами беспрерывной формации с порфировыми выделениями плагиоклаза и пироксена, являющихся главными кристаллическими фазами магмы. В этих породах содержание SiO_2 более высокое (52–53 %) по сравнению с другими базальтами: Al_2O_3 —16–20 %; $\text{FeO} + \text{Fe}_2\text{O}_3$ около 9–10 %, CaO —7–9 % и щелочей—3–5 %. NaO всегда доминирует над K_2O , отношение $\text{Fe}_2\text{O}_3/\text{FeO}$ низкое.

В вулканических породах нижнего байоса наряду с базальтами распространены андезито-базальты, андезиты и андезитовые порфиры, среди которых часто встречаются плагиоклазовые, авгито-андезитовые, гиперстено-андезитовые и кварцевые порфиры. По данным Р. Н. Абдуллаева [1], они сопровождаются субвулканическими образованиями кварцевых диорит-порфириотов, гранофировых гранодиорит-порфириотов, кварцевых альбитопорфириотов.

Породы андезитовой формации отличаются от базальтов большим содержанием SiO_2 , Al_2O_3 , NaO . Содержание SiO_2 колеблется от 56 до 59 %; Al_2O_3 —16–19 %, $\text{FeO} + \text{Fe}_2\text{O}_3$ —8–9 %; CaO —4–6 % и щелочей—3,5–5, причем NaO всегда преобладает над K_2O .

Андезитовая магма по химическим и петрографическим особенностям близка к высокоглиноземистым и кварцевым базальтам, по всей вероятности, являясь их дифференциатом, возникшим на небольших глубинах земной коры (до 13 км). Об этом свидетельствует также преобладание малых элементов в андезитах, характерных для базальтовой магмы (Fe , Ti , Cr , Ni , V , Mn , Co , Sc , Cd , Cu , Zn). Мы не встречаем малые элементы (Li , Rb , Be , Ta , Ce), которые могут переходить при плавлении гранитных пород или метаморфизованных осадков земной коры с высокотемпературными базальтами, приводящие их в направлении к щелочно-земельному составу.

По представлению Боэна (1934), Е. Осборна (1959, 1964), Х. Куно (1968) и др., базальтовая магма, находясь в геосинклинальных породах, достаточно содержащих воду, в условиях возрастающего давления кислорода, вызывающего фракционную кристаллизацию, может образовать значительное количество жидкости андезитового состава. На Малом Кавказе крупные массы высокоглиноземистых и кварцевых толентов ассоциируют с андезитами, которые способны выделять расплавы, содержащие достаточно тугоплавкие кристаллические остатки

полевых шпатов и железо-магнезиальных минералов для образования пород известково-щелочного ряда.

Экспериментальные исследования Осборна (1959) показали, что увеличение парциального давления кислорода способствует выделению магнетита, ограничивающего кристаллизацию оливина и пироксена, в связи с чем образуется избыток кремнезема в жидкости. С другой стороны, увеличение давления кислорода понижает температуру кристаллизации плагиоклаза из магмы базальтового состава. Все эти факторы по заключению указанного исследователя, способствуют дифференциации базальтовой магмы и возникновению андезитового и более кислого расплавов известково-щелочного ряда.

Таким образом, первичная базальтовая магма, извергавшаяся вулканами нижнего байоса, поднимаясь к поверхности, подвергалась неоднократным фракционным и кристаллизационным дифференциациям, выделяя жидкости оливинового толента, высокоглиноземистого толента, кварцевого толента и, наконец, известково-щелочного расплава.

Большое развитие порфириевой формации кварцтолентовой и андезитовой магм указывает на активность их к беспрерывным дифференциатам. Как в первых, так во вторых магматических образованиях, порфировое выделение начинаются пироксенами, за ними следует плагиоклазы, которые являются основными вкрапленниками порфириотов. Последовательность дифференциации зависит от физико-химических условий и состава расплава, в котором важную роль играет взаимоотношение пордообразующих химических компонентов.

Литература

1. Абдуллаев Р. Н. Мезозойский вулканализм северо-восточной части Малого Кавказа, АН Азерб. ССР, Баку, 1963.
2. Генштадт Ю. С. Экспериментальные исследования в области глубинной минералогии и петрологии. «Наука», М., 1977.
3. Грин Д. Х., Рингвуд А. Э. Происхождение базальтовых магм. В кн. «Петрология верхней мантии». «Мир», М., 1968.
4. Сарачина Г. М., Шинкарев Н. Ф. Петрология магматических и метаморфических пород. Лен. отд. «Недра», 1973.
5. Фролова Т. И., Буркова И. А. Геосинклинальный вулканализм. Изд-во МГУ, 1977.

Институт геологии

Поступило 2. VI. 1981

Э. Э. Элизадэ

КИЧИҚ ГАФГАЗЫН АЛТБАЙОС ВУЛКАН СУХУРЛАРЫНЫН
ПЕТРОКИМЈАСЫНЫН ВӘ ПЕТРОЛОКИЈАСЫНЫН БӘЗИ МӘСӘЛӘЛӘРИ.

Апарылмыш петрокимјави вә петрологи тәдгигатлар көстәрир ки, алтбайос вулканларынын пүскүрмүш базалт магмасы яр үзүнә жақынлашыгча дифференсија уграјыб оливин толентини, кварслы толентләри вә андезит сухурларыны эмэлә көтиришилләр.

А. А. Alizade

SOME PROBLEMS OF PETROCHEMISTRY AND PETROLOGY OF LOWERBAYOS COMPLEX OF IGNEOUS ROCKS IN MINOR CAUCASUS

Petrographic, petrochemical and petrological investigations showed that initial basaltic magma, erupted by the volcano of the lower bayos, rising to the surface had undergone repeated fractional and crystallizational differentiations, isolating liquid of olivine tholeiite, high-alumina tholeiite, quartzy tholeiite and finally calc-alkali melt.

А. А. АЛИЕВ

**ВЛИЯНИЕ ВЫСОТЫ МЕСТНОСТИ НА РАЗВИТИЕ ВИНОГРАДА
(НА ПРИМЕРЕ СРЕДНЕЙ ЧАСТИ БАССЕЙНОВ РЕК АХСУЧАЙ
И ГИРДЫМАНЧАЙ)**

(Представлено академиком АН Азербайджанской ССР Г. А. Алиевым)

Средняя часть бассейнов рек Ахсучай и Гирдыманчай является наиболее перспективной для развития виноградарства в нашей республике. Эта территория расположена от 60 до 1000 м над ур. моря на южном предгорье Большого Кавказа и северной части Ширванской равнины. В административном отношении охватывает центральную и северную части Ахсунинского района и частично Исмаиллинского.

Исследования проводились в 1979—1980 гг. под руководством Г. А. Алиева.

Ряд ученых, в том числе Ф. Ф. Давитая (1946, 1947), А. А. Мартаков (1951), Д. И. Табидзе (1957), Р. К. Аллахвердиев (1965) и др. уделяли большое внимание высоте местности в размещении виноградных плантаций, их урожайности и качеству продукции.

Из литературных данных [3, 4, 5] видно, что с увеличением высоты изменяется прохождение фазы вегетации винограда и качество его продукции.

По данным Д. И. Табидзе, в условиях Грузии сахаристость сока ягод одного и того же сорта на каждые 100 м высоты падает на 0,87 %, а кислотность повышается на 1,2 г/л.

Установлено, что в предгорьях Заилийского Алатау на каждые 100 м высоты сахаристость сорта Саперави уменьшается на 0,8—1,0 %, Пино черного — на 1,4 %, Рислинга — 1 % (А. А. Мартаков). Такие закономерные изменения качества сока ягод начинаются с определенной высоты. По мнению Ф. Ф. Давитая [3], в условиях Крыма наиболее благоприятными для накопления сахара оказались участки, расположенные в средней полосе на высотах 68—113 м. Уменьшение сахаристости и увеличение кислотности начинается выше этой полосы.

Мы выбрали 3 пробных площадки, для изучения влияния высоты из разведения и качество урожая винограда, сложенные в зональном порядке.

Первая пробная площадка выбрана на низменной, предгорной части орошаемых каштановых почв винсовхоза им. М. А. Сабира Ахсунинского района. Абсолютная высота 180 м над ур. моря, смешанный сад.

Вторая пробная площадка на одной линии с первой, на высоте 560 м над ур. моря на винограднике винсовхоза «Правда» Ахсунинского района. Почвы горно-коричневые, остеиненные. Сорт Мадраса, богарный.

Третья пробная площадка является вертикальным продолжением второй, высота — 820 м над ур. моря, на винограднике винсовхоза М. Ф. Ахундова, почвы горно-коричневые, остеиненные, смешанный сад, богарный. Возраст кустов восьмилетний, экспозиция склона-южная.

Как видно из таблицы, прохождение фаз вегетации сорта Мадраса до цветения в пр. пл. 1 и 2 совпадает, а следующие фазы в пр. пл. 2

Прохождение фазы вегетации сортов Мадраса, Ркацители и некоторые качественные показатели в различных условиях

№ пр. пл.	Сорт	Годы исследований	Фазы вегетации				Продолжение вегетации (в днях) от расп. почек до полн. зрелости	Сахаристость, %	Титруемая кислотность, г/л
			I	II	III	IV			
			распускание почек	начало цветения	рост ягод	полное созревание			
1	Мадраса	1979	10. IV	14. V	22. VII	28. VIII	140	22,4	4,8
		1980	5. IV	17. V	18. VII	24. VIII	141	23,4	4,6
	Ркацители	1979	12. IV	24. V	28. VII	8. IX	149	21,8	5,0
		1980	9. IV	20. V	25. VII	6. IX	150	22,1	4,8
2	Мадраса	1979	7. IV	12. V	17. VII	20. VIII	135	25,8	4,2
		1980	3. IV	14. V	14. VII	18. VIII	137	26,2	4,0
3	Ркацители	Нет	—	—	—	—	—	—	—
		1979	1. V	7. VI	13. VIII	16. IX	139	22,4	6,12
		1980	29. IV	3. VI	11. VIII	13. IX	138	23,6	5,8
		1979	9. V	14. VI	7. VIII	24. IX	138	21,9	7,0
		1980	4. V	12. VI	4. VIII	20. IX	139	22,4	6,8

протекают в более сжатые сроки. Другими словами, сбор урожая на этой пр. пл. начинается примерно на 6—8 дней раньше, чем на пл. 1. В основном это явление обусловливается месторасположением виноградников. Климатические данные показывают, что количество тепла и естественная влагообеспеченность этих площадок почти одинаковы, в отличие от предыдущих, равнинные виноградники орошаются. В связи с этим, период вегетации этих виноградников более продолжительный, чем малообеспеченных влагой (пр. пл. 2).

Известно, что по мере повышения высоты местности повышается увлажнение и наоборот, понижается температура воздуха и почвы, что приводит к сокращению вегетационного периода растений. Такую картину мы наблюдаем в полосе свыше 700 м., т. е. на участке пр. пл. 3. По данным таблицы, распускание почек виноградных кустов пр. пл. 3 по сравнению с пр. пл. 1 задерживается примерно на 20—26 дней, но разница последних фаз сокращается до 18—10 дней. Другими словами, продолжительность вегетации сорта Мадраса оказалась примерно такой же, как на пр. пл. 2. Следовательно, если в средней полосе на высоте 200—600—700 м недостаток влаги сокращает продолжительность вегетации, то в нагорных участках — выше 600—700 м к аналогичному результату приводит недостаток тепла.

Согласно изложенному, можно прийти к выводу, что созревание

урожая одного и того же сорта в пределах изучаемого района, расположенного на различных высотах, протекает почти в течение одного месяца — с третьей декады августа по вторую декаду сентября (Мадраса).

В связи с разновременностью созревания ягод по поясам возникает необходимость в очередности мобилизации рабочей силы и механизации труда.

Учитывая особенности отдельных сортов винограда и месторасположение виноградников, можно в течение 2—3 месяцев (с конца июля до конца октября) обеспечивать городское население свежим виноградом.

Влияние высоты местности отражается и на качественных показателях винограда. Как видно из таблицы, с подъемом к абсолютной высоте процент сахара в ягодах закономерно уменьшается, а кислотность увеличивается. Исключение составляет средняя полоса (200—600—700 м), которая занимает промежуточное положение между равниной и низкогорьем. Закономерная корреляция между этими показателями наблюдалась выше этой отметки. Сорт Мадраса на склонах от 200 до 600—700 м набирает большие сахара и наименьшую кислотность, которую можно использовать в качестве продукции десертных вин.

Осуществление ряда работ по уходу и эксплуатации виноградников на этих склонах требует несколько более высоких затрат по сравнению с равнинными. Но урожайность здесь меньше, чем на равнинах ввиду недостатка влаги. Единственное превосходство виноградников, расположенных на склонах — качество, которое нужно всемерно использовать, чтобы быстро окупить все затраты и сохранить почвы от разрушения. Для этого необходимо рационально высаживать те сорта винограда на склонах, которые обеспечивают получение высококачественных виноматериалов.

Научные и практические данные показывают, что сравнительно засухоустойчивый сорт Мадраса (пл. 2) хорошо развивается и дает качественный урожай. В пределах исследуемого района только в горной части (пл. 2), у подножья Гюргианского плато и на южном склоне Ленгебизского хребта имеются потенциальные возможности для получения высококачественного десертного виноматериала, который требует особого подхода при обработке.

Литература

1. Аллахвердиев Р. К. Автореф. докт. дисс. Ереван, 1965.
2. Давитая Ф. Ф. «Виноделие и виноградарство СССР», № 4, стр. 31—37, 1946.
3. Давитая Ф. Ф. «Виноделие и виноградарство СССР», № 11, стр. 39—44, 1947.
4. Мартаков А. А. «Виноделие и виноградарство СССР», № 7, стр. 30—32, 1951.
5. Табидзе Д. И. Продвижение промышленной культуры винограда в новые горные районы Грузинской ССР. Изд-во АН СССР. М., 1957.

Институт геологии

Поступило 12. VII. 1982

Э. А. Элиев

ӘРАЗИННИН ҮҮЙДҮРЛҮҮНҮН ҮЗҮМ БИТКИСИНИН ИНКИШАФЫНА ТӘСИРИ.
(Ағсуңай вэ Кирдиманчај һөвзәләринин орта һиссәси тимсалымыда)

Тәдгигат иетичесинде мәлүм, олмуштур ки, мүтлөг үүндүрлүк артдыгча үзүм бигисинин векетасија мүддәти вэ мөңсүлүк кејфијэтли эңемијётли дәрәчәдә дәјиншилир. Векетасија мүддәти эн чох 60 м-лә 200 м арасында давам едип. 200 м-лә 600—700 м.

арасындақы саңаңларда рутубэт чатышмазлығы, 600—700 м-лә 1000 м арасындақы саңаңларда исо истилек чатышмазлығындан үзүм биткисинин векетасија мүддәти эввәлки саңаңа иисбәтән 6—8 күн гысалып.

Нэмчинин үүндүрлүк артдыгча гапунаујгүн олары мәңсүлүк шәкәрлилиги артыр, туршалуғу исо азалып. Даһа чох шәкәрлиликтоплајан 200 м-лә 600—700 м арасында жерләшеп үзүмлүкклэр исо (Мәдрәсә сорту) аралыг мөвгө тутур.

Жүксөк кејфијётли шәраб хаммалы олан бу мөңсүлүк айрыча е'мал единмәси мөсләһэт көрүлүп.

А. Алиев

THE INFLUENCE OF HEIGHT OF RELIEF ON DEVELOPMENT OF VITICULTURE

It is determined that the rising of the height of relief considerably influences on duration of vegetation and quality of grapes. By rising in true altitude the sugar per cent in grapes is increasing with the exception of middle zones, between plain and lower parts of mountain (200—600—700 metres).

ЭНЕРГЕТИКА ПОЧВ

Д. Г. ПОНОМАРЕВ, Ф. Д. МИКАИЛОВ

РАСЧЕТ ФУНКЦИОНАЛЬНОЙ ЗАВИСИМОСТИ, ЯВЛЯЮЩЕЙСЯ ПОКАЗАТЕЛЕМ ВОЗДЕЙСТВИЯ МЕЛИОРАЦИИ НА МИКРОАГРЕГАТНЫЙ СОСТАВ ПОЧВ

(Представлено академиком АН Азербайджанской ССР В. Р. Волобуевым)

При мелиоративных мероприятиях, осуществляемых по освоению засоленных почв, наряду с безусловно положительным эффектом, который выражается в опреснении земель, возможны и отрицательные явления. В частности, отмечаются случаи в изменении микроагрегатного состояния почв. Поскольку каждое из этих изменений оценивается с использованием некоторых частных показателей, возникают определенные трудности в обобщенной оценке суммарного эффекта изменений.

В связи с этим естественна мысль о поиске других, более общих критериев оценки происходящих мелиоративных изменений в почвах [4, 6, 7].

На этом пути мы обратились к принципам теории информации и термодинамики.

Данная работа является попыткой выявить возможную информационно-энергетическую зависимость влияния мелиоративного воздействия на степень дисперсности почв.

Рассмотрим это воздействие с определенными ограничениями, используя для этого теорию информации. Введение ограничений позволяет нам дать количественное определение информации и трактовать информацию как физически измеримую величину. Кроме этого эти ограничения позволяют рассматривать нашу систему как изолированную (на самом деле почва — система открытая), но для простоты понимания мы исключим изменения энергетических характеристик за счет выноса из почвы различных воднорастворимых соединений и т. п., т. е. действие мелиорации примем только как механическое воздействие на почвенные частицы без изменения минералогического состава, а также переноса частиц из верхних слоев почвы в нижележащие с нисходящими потоками воды. Кроме этого примем, что то количество мелиоранта, которое воздействовало на почву в том же количестве было и удалено.

Таким образом, мы рассматриваем простую модель, такую, например, как если бы на нашу систему (почву) действовал ультразвук: все компоненты остались прежние, а изменилась только количественная сторона этих компонентов.

Рассмотрим нашу систему почвенных частиц различного диаметра с позиций Шеннона—Бриллюэна, используя для этого теорию информации и заменяя, применяемый Бриллюэном [1, 2], термин «символ (буква)» на термин «почвенная частица».

Прежде чем приступить к рассмотрению возможности приложения теории информации к нашей системе, рассмотрим возможность применения этого понятия для нашего случая. Примем, что метровый слой рассматриваемой нами почвы имеет объемный вес, допустим, 1 т/м³, т. е. общий вес однометрового слоя почвы на площади 1 га будет равен 10 000 т или 10¹³ мг. Если одна почвенная частица весит, предположим, 1 мг, то таких частиц в нашей системе будет в 1 га 10¹³. Следовательно, к такому количеству частиц применимы законы статистической физики.

Начнем рассмотрение примера с простой задачи: система (почва) состоит из почвенных частиц двух родов: <0,01> 0,01 мм. Рассмотрим N позиции, и пусть N_1 содержит частицы I рода, а N_2 — позиции II рода, так что $N_1 + N_2 = N$. Таким образом, все позиции заполнены. Тогда вероятность позиции, содержащей почвенные частицы I рода будет

$$P_1 = \frac{N_1}{N}$$

и вероятность того, что позиция содержит частицы II рода есть

$$P_2 = \frac{N_2}{N},$$

причем $P_1 + P_2 = 1$, так как вероятность того, что в некоторой позиции содержатся либо частицы I рода, либо II рода, равна единице.

Найдем число способов заполнения каждой N позиции либо N_1 , либо N_2 (но ни в коем случае не обоими частицами одновременно). Число способов заполнения N позиций равно числу способов заполнения N_1 позиций почвенными частицами I рода, так как, если мы уже распределили N_1 позиций почвенными частицами I рода, то остальные N_2 позиций должны содержать по почвенной частице II рода каждая. Но число способов заполнения N_1 позиций почвенными частицами I рода равно числу перестановок (с повторяющимися элементами) из N по N_1 :

$$P = \frac{N!}{N_1! N_2!}$$

Это есть число сообщений из N почвенных частиц двух родов, один из которых встречается N_1 раз, а другой — N_2 раз.

Поскольку определение информации выводится из статистических рассуждений, то согласно Шеннону [1], информация есть функция логарифма вероятности: $J = -K \ln P$.

Для рассмотренного случая с двумя родами почвенных частиц предыдущее уравнение запишется так:

$$J = -K(P_1 \ln P_1 + P_2 \ln P_2) \quad (1)$$

Для большего числа почвенных частиц различного рода уравнение Шеннона примет вид:

$$J = -K(P_1 \ln P_1 + P_2 \ln P_2 + P_3 \ln P_3 + \dots + P_n \ln P_n) \quad (2)$$

Теперь рассмотрим нашу систему с точки зрения термодинамической (статистической) вероятности, состоящую из тех же N почвенных частиц. Каждая почвенная частица одного рода содержится в данной системе в количестве N_1 , второго рода — N_2 и т. д., т. е. $N_1 + N_2 + \dots + N_n = N = \Sigma N_i$. Считаем, что состояние системы известно и определенно, если нам известно распределение почвенных частиц по каким-то нами же принятым параметрам, например, размерам, т. е. нам

известны числа N_1, N_2, \dots . Термодинамическая вероятность данного состояния рассматриваемой нами системы определяется соотношением [3]:

$$W = \frac{N!}{N_1! N_2! N_3! \dots N_l!} = \frac{N!}{\prod N_i!} (i = 1, 2, 3, \dots, n)$$

Между вероятностью состояния системы и ее энтропией, как установил Больцман, существует определенная связь: $S = k \ln W$, где k — постоянная Больцмана.

Допустим, что система в начальный период имела энтропию, равную $S_u = k \ln W$. Над системой была произведена какая-то работа и энтропия системы приняла иное значение, т. е. $S = k \ln W$. Тогда

$$\Delta S = S - S_u \quad (3)$$

Учитывая, что

$$W = \frac{N!}{\prod N_i!} (i = 1, 2, 3, \dots, n)$$

уравнение (3) запишем в виде:

$$\Delta S = k \ln \frac{N!}{\prod N_i^{(k)}!} - k \ln \frac{N!}{\prod N_i^{(u)}!} = k \ln \frac{N_i^{(k)}}{N_i^{(u)}} \quad (4)$$

Таким образом, зная численные значения N_1, N_2, \dots, N_l , мы можем определить изменение энтропии системы ΔS .

Определением микроагрегатного состава почвы мы устанавливаем численные значения почвенных частиц 6 разных диаметров, т. е. мы знаем, что в почве содержится Λ_1 частиц диаметром 1—0,25 мм, Λ_2 частиц — 0,25—0,05 мм и т. д., как до промывки, так и после промывки. Используя уравнения (3,4), мы получим уравнение изменения энтропии почвы при изменении ее микроагрегатного состава:

$$\Delta S = k \left[\ln \frac{N_1^{(k)}!}{N_1^{(u)}!} + \ln \frac{\Lambda_2^{(k)}!}{\Lambda_2^{(u)}!} + \dots + \ln \frac{\Lambda_6^{(k)}!}{\Lambda_6^{(u)}!} \right], \quad (5)$$

где $\Lambda_1^{(k)}, \dots, \Lambda_6^{(k)}$ — числа (проценты) почвенных частиц соответствующих диаметров до промывки и $\Lambda_1^{(u)}, \dots, \Lambda_6^{(u)}$ — числа (проценты) почвенных частиц соответствующих диаметров после промывки [4].

В данной статье нет необходимости подробно останавливаться на давно установленной связи между информацией и энтропией. Отметим только, что энтропия и информация изменяются в противоположных направлениях, т. е. с ростом энтропии информация уменьшается и, наоборот, с уменьшением энтропии информация увеличивается [5].

Таким образом, $S = k \ln W$ тождественна $J = K \ln P$, так как $P = W$. Следовательно $K = k = 1.38 \cdot 10^{-23}$ дж/градус. Отсюда следует, что информация и энтропия рассматриваются как два аспекта одной и той же величины [5].

Рассматриваемые нами в нашей системе почвенные частицы — материальны, состоят из молекул различных минералов, содержание которых в каждом виде почвенных частиц, в принципе, мы можем определить. Поэтому коэффициент K или k в уравнениях (2,5), рав-

ный $1.38 \cdot 10^{-23}$ дж/градус применим для нашего случая и безусловно, в силу материальности почвенных частиц, имеет физический смысл.

Используя уравнения (2,5), мы можем определить изменение энтропии при изменении степени дисперсности нашей системы (почвы). Причем, оба эти уравнения могут быть применимы, но использование уравнения (2) более удобно для расчета с технической точки зрения.

Рассмотрим это на конкретных цифровых данных.

Значения $N (P)$ (в числителе — до мелиорации, а в знаменателе — после мелиоративного воздействия)

$N_1 (P_1)$	$N_2 (P_2)$	$N_3 (P_3)$	$N_4 (P_4)$	$N_5 (P_5)$	$N_6 (P_6)$
$\frac{1}{4}$	$\frac{2}{8}$	$\frac{81}{69}$	$\frac{9}{5}$	$\frac{2}{1}$	$\frac{5}{13}$

Подставляя эти данные в уравнение (2), приведя их в дроби, получим:

$$J_u = -K (0.01 \ln 0.01 + 0.02 \ln 0.02 + 0.81 \ln 0.81 + 0.09 \ln 0.09 + 0.02 \ln 0.02 + 0.05 \ln 0.05) = 0.738 \text{ К.}$$

Учитывая, что если информация численно равна энтропии, тогда $S_u = 0.738 \text{ К.}$

$$J_u = -K (0.04 \ln 0.04 + 0.08 \ln 0.08 + 0.69 \ln 0.69 + 0.05 \ln 0.05 + 0.01 \ln 0.01 + 0.13 \ln 0.13) = 1.046 \text{ К.}$$

Следовательно, $S_u = 1.046 \text{ К.}$ Тогда $\Delta S = +0.308 \text{ К.}$

В рассмотренном примере энтропия системы увеличилась, т. е. произошла дезагрегация почвенных частиц.

Таким образом, изложенного видно, что существует возможность, используя информационно-энергетический подход, количественно, рассчитать изменение энтропии почвы при мелиоративных мероприятиях в связи с перестройкой ее агрегатного состава.

Литература

- Бриллюэн Л. Наука и теория информации. Физматгиз. М., 1960.
- Бриллюэн Л. Научная неопределенность и информация. «Мир». М., 1966.
- Герасимов Я. И. и др. Курс физической химии, т. I-II, «Химия». М., 1964—1966.
- Пономарев Д. Г., Микаилов Ф. Д. Опыт расчета изменения энтропии при мелиорации. В сб.: Мат-лы конф. молодых ученых Ин-та почв и агрохим. АН Азерб. ССР, посвященные 60-летию установления Советской власти в Азербайджане и образование Компартии Азербайджана». Баку, 1978.
- Шамбадаль П. Развитие и приложение понятия энтропии. «Наука». М., 1967.
- Воронин А. Я. О некоторых методических подходах к определению влияния орошения на изменение плодородия почв. Тез. докл. VI делегата склона ВОП, кн. 4. Тбилиси, 1981.
- Диденко А. В., Соколенко Э. А. Понятие энтропии в мелиорации засоленных почв. В кн.: «Количественные методы в мелиорации засоленных почв». «Наука». Алма-Ата, 1974.

Поступило 4. XI. 1981

Институт почвоведения и агрохимии

ФУНКЦИОНАЛ АСЫЛЫЛЫГ ТОРПАҒЫН МИКРОГУРГУ ТӘРКИБИНӘ
МЕЛИОРАТИВ ТӘСІР ЕДӘН КӨСТӘРИЧИДІР

Мәлumat нәзәриjесиндең истифадә едәрек, торпагын микрогургуда тәркибиден асылы оларға, онун ентропијасының дәжішмәсінесабланышты.

D. G. Ponomarev, F. D. Mikailov

ESTIMATION OF THE FUNCTIONAL DEPENDENCE WHICH IS THE
INFLUENCE INDEX OF MELIORATION ON THE SOIL
MICROAGGREGATIONAL STATE

Using the information theory, the possibility of quantitative estimation of the soil entropy changes during the reconstruction owing to meliorative influence was shown.

УДК 576.395:595.1:599.74

ПАРАЗИТОЛОГИЯ

М. Ш. ЕЛЧУЕВ, И. А. САДЫХОВ

О ВЫЯВЛЕНИИ (TRICHINELLA NELSONI BRITO VET BOEV), 1972
У ДИКИХ ПСОВЫХ В ШЕКИ-ЗАКАТАЛЬСКОЙ ЗОНЕ
АЗЕРБАЙДЖАНСКОЙ ССР

(Представлено академиком АН Азербайджанской ССР М. А. Мусаевым)

Среди нематод трихинелла занимает одно из важных мест по патогенности для человека. Вызываемое ею заболевание — трихинеллез широко распространено среди людей и животных, особенно у свиней во многих странах мира. Чаще всего он регистрируется в Германии, США, Польше и др. Трихинеллез также распространен и в СССР, наибольшие вспышки его у людей наблюдаются в Белоруссии.

В нашей республике мышечный трихинеллез констатирован у людей (Тарноградский, Штейн, 1925; Джанжутова, 1936), собак [6, 9, 11], свиней [7, 10], бурных медведей (Шульц, Кастрорский, 1945), домашних кошек [14], лисиц, шакалов, волков (Садыхов, 1964, 1965, 1967, 1974, 1981; Фейзулаев, Литвинов В. Ф., 1977) у каменных куниц, лесных кошек [11, 12, 17], барсуков, камышовых кошек [12, 13, 14, 16], леопардов [13] экспериментально — у собак, домашних кошек, кроликов, белых мышей [14, 15]. Несмотря на довольно значительное число работ, посвященных обнаружению трихинеллеза, до 1971 г. как в СССР, так и в других странах считалось, что возбудителем этой болезни является только *Trichinella spiralis* Owen 1835.

Однако после обстоятельной работы В. А. Бритова [2] из рода *Trichinella* выделено еще 2 вида:

Trichinella nativa Britow et Boev, 1972, *Tr. nelsoni* Britow et Boev, 1972. В том же 1972 г. Б. Л. Гаркави описал четвертый вид *Tr. pseudospiralis* Garkavi, 1972. Все указанные виды морфологически одинаковы, только *Tr. pseudospiralis* характеризуется несколько меньшими размерами. Основное различие между ними — отсутствие способности при скрещивании давать потомство, а также комплекс некоторых экологических и других признаков [1].

Таким образом, в литературе зарегистрировано паразитирование у млекопитающих животных 4 указанных видов (*Tr. spiralis*, *Tr. nativa*, *Tr. nelsoni*, *Tr. pseudospiralis*).

Проведенные в Азербайджане исследования по выявлению трихинеллы до 1971 г. основывались только на трихинеллоскопии и все найденные капсулы относились к *Tr. spiralis*.

В целях дальнейшего углубленного изучения этого вопроса в Азербайджане один из авторов этой статьи (М. Ш. Елчукев) освоил генетическую идентификацию трихинелл по методу Бритова (1971 г.) под руководством С. Н. Боева в Институте зоологии АН Казах. ССР.

Учитывая актуальность и важность затронутого вопроса в Азербайджане, мы приступили к выявлению видовой принадлежности мышечных трихинелл у млекопитающих в зональном масштабе. С этой целью с 1977 по 1980 гг. в Шеки-Закатальской зоне компрессорным методом переваривания исследовано: скелетных мышц, диафрагм, брюшных мышц, жевательных мышц от 52 лисиц, 70 шакалов, 13 волков. При этом выявлена следующая экстенсивность трихинелл у шакалов—28,6 %, лисиц—17,3 %, волков—7,7 %, при интенсивности в 1 г мыши 3—16 капул трихинеллы.

Результаты этих исследований по районам Шеки-Закатальской зоны приведены в таблице.

Степень зараженности трихинеллами диких псовых в Шеки-Закатальской зоне

Районы исследований	Шакал		Волк		Лисица	
	Исслед.	Зараж.	Исслед.	Зараж.	Исслед.	Зараж.
Белоканы	4	1	1	—	2	—
Закаталы	25	10	5	1	12	2
Кахский	10	2	1	—	2	1
Шеки	25	6	3	—	31	6
Варташен	4	1	2	—	3	1
Куткашен	2	—	1	—	2	—

Из результатов исследований видно, что из числа диких псов больше всего трихинеллами инвазированы шакалы, это связано, с одной стороны, большой плотностью популяций шакалов, сравнительно с другими видами псовых, а с другой — со степенью доступности мясных, зараженных трихинеллезом отходов и трупов диких животных в данной зоне.

Трихинеллезный материал от указанных видов животных мы подвергали одновременно исследованию методом генетической идентификации по Бритову, 1971. Для этого из Института зоологии АН Казах ССР были привезены эталоны 3 видов *Tr. spiralis*, *Tr. nativa*, *Tr. nelsoni* в Институт зоологии АН Азерб. ССР. Каждым эталоном заражали по 30 мышей с целью сохранения их для дальнейших работ.

Методика исследования. Материал от шакала, лисицы и волка обрабатывали методом переваривания в желудочном соке при 38—40°C. Метод идентификации трихинелл проводился со всеми тремя известными видами трихинелл: для каждой серии опытов по отдельным видам животных (шакал, лисица, волк) использовались по 150 личинок и 75 белых мышей. Каждая серия опытов имела контроль. Через 4—7 дней с начала постановки опыта в кишечнике подопытных мышей обнаруживались половозрелые трихинеллы. Через 36—40 дней после заражения мышцы мышей из каждой трех серий опытов подвергались проверке компрессорным методом и способом переваривания. В результате проведенных опытов выяснилось, что выделенные личинки *Trichinella* sp. от шакала, волка, лисицы не скрещивались с *Tr. nativa* скрещивание произошло с *Xg. nelsoni*. При этом у белых мышей экстенсивность инвазии от материала: шакала—60 % (у 9 из 15), лисиц—66,7 % (у 10 из 15), волка—46,7 (у 7 из 15), методом переваривания в 1 г мышь

интенсивность обнаруженных личинок соответствует: 250—965, 85—283 и 150—667 экз.

В незначительной степени скрещивание произошло с *Tr. spiralis* от материала шакала: с 3-я из 15 белых мышей, лисиц — с 2-я из 15 белых мышей, волка — с 1 из 15 особей. В 1 г мыши интенсивность колеблется соответственно: 4-16, 4-12; 10 экземпляров. Однако эти личинки не дают потомства, так как являются гибридными.

Приводится схема проведенных 3-х опытов: исследуемый штамм обозначали *trichinella* spa эталонные — соответствующим латинским названием вида трихинеллы.

Опыт 1. Первый вариант [*Tr. spiralis* ♂ X *Tr. sp.* ♂] — 1 мышь X 7
Второй вариант [*Tr. spiralis* ♂ X *Tr. sp.* ♀] — 1 мышь X 8

Опыт 2. Первый вариант [*Tr. nelsoni* ♀ X *Tr. sp.* ♂] — 1 мышь X 8
Второй вариант [*Tr. nelsoni* ♂ X *Tr. sp.* ♀] — 1 мышь X 7

Опыт 3. Первый вариант [*Tr. nativa* ♀ X *Tr. sp.* ♂] — 1 мышь X 7
Второй вариант [*Tr. nativa* ♂ X *Tr. sp.* ♀] — 1 мышь X 8

Таким образом, нашими четырехлетними исследованиями у диких псовых Шеки-Закатальской зоны в исследованных пробах от шакала, лисицы, волка идентифицирован лишь один вид *Tr. nelsoni* Britov et Boev, 1972.

Литература

1. Боев С. Н., Бондарева В. И., Соколова И. Б. Трихинелла и трихинеллез. Изд-во «Наука», Каз. ССР, 1978.
2. Боев С. Н., Бритов В. А., Соколова И. Б. В кн.: «Вопросы природы, очаговости болезней», вып. 7, стр. 94—97. Алма-Ата, 1972.
3. Боев С. Н. и др. В кн.: «Вопросы природы, очаговости болезней», вып. 5, стр. 169—179, 1972.
4. Боев С. Н. и др. Мат-лы докл. Всесоюз. конф. по пробл. трихинеллеза человека и животных, стр. 27—29. Вильнюс, 1972.
5. Гаркави Б. Л. Мат-лы и докл. Всесоюз. конф. по пробл. трихинеллеза человека и животных, стр. 53—54. Вильнюс, 1972.
6. Демидова А. А. Сб. работ по гельминтологии, стр. 181—183, М., Изд-во ВАСХНИЛ, 1937.
7. Джавадов М. К., АзНИВИ, № 2, стр. 30—34; 1935
8. Джапижутова Тр. I съезда АМО, стр. 331—335, Баку, 1936.
9. Исмаилов Г. Д. Гельминтофауна собак и ее эпизоотологическая и эпидемиологическая характеристика. Канд. дисс. Баку, 1969.
10. Петров А. М. Обзор ветделя Азерб. ССР, № 3, ристика. Канд. дисс. Баку, 1960.
11. Садыхов И. А. «Изв. АН Азерб. ССР, серия биол. наук», № 3, стр. 85—96, 1930.
12. Садыхов И. А. Мат-лы к научн. конф. ВОГ, ч. 2, стр. 216—217, М., 1965.
13. Садыхов И. А. «ДАН Азерб. ССР», 24, № 3, стр. 69—71, 1968.
14. Садыхов И. А. В кн.: «Исслед. по зоол. и паразитол. «Труды VI научн. конф.»
15. Садыхов И. А. Гельминты пушнинно-зоол. УССР, ч. 1, стр. 208—209, Киев, 1969.
16. Фейзулаев Н. А. Промысловый зверь Азербайджана. Изд-во «ЭЛМ», 1981.
17. Литвинов В. П., Литвинов В. Ф. «ДАН Азерб. ССР», № 3, стр. 61—62, 1977.
18. Фаталиев Г. Г. Эколого-фундаментальная характеристика распространения гельминтов пушнинно-промыловых зверей на Малом Кавказе и в Мильтско-Карабахской степи Азербайджана. Канд. дисс., Баку, 1980.

Проступило 7. V. 1982

Институт зоологии

М. Ш. Йолчуев, И. Э. Садыхов

АЗЭРБАЙЧАН ССР-ИН ШЭКИ-ЗАГАТАЛА ЗОНАСЫНДА ВӘНШИ ИТКИМИЛӘРДӘ (*TRICHINELLA NELSONI BRITON ET BOEV*)
1972 АШКАР ЕДИЛМЭСИ

Мәгарәдә Шеки-Загатала зонасында чараварын, чагталын вә түлкүнүн трихинелла илә јолукма дәрәчәси көстөрilmишdir. Ѝемин јолукмуш һевайларда трихинелланың тәркиби ашқар етмәк учүн онларын әзәлесиндей гејд едилмиш еркәк вә диши

сүрфэлэри, нөв тэркйи мэ'лум олан трихинелла сүрфэлэри илэ аг сичанлар үзэриндэ чарназ чүтлэшмэ үсүүндэн истифадэ едэрэк тэчрүб гојулмушдур.
Нэтичээд Шэки-Загатала зонасында иткимилэрдэ талылмыши трихинелланын илж дэфэ мүэллифлэр тэрэфиндэн *Trichinella nelsoni* олдуу ашкар едилмишдир.

M. Sh. Elchuyev, I. A. Sadykhov

DETECTION OF TRICHINELLA NELSONI BRITO V ET BOEV, 1972 IN WILD CANIDAE IN SHEKI-ZAKATALY ZONE OF THE AZERBAIJAN SSR

In Sheki-Zakataly zone of the Azerbaijan SSR *Trichinella* was detected in jackals, wolves and foxes. In the muscle samples of the investigated animals, infected with *Trichinella*, by the genetic identification method it was determined that their larvae (for the first time in Azerbaijan) belonged to the species *Trichinella nelsoni* Britov et Boev, 1972.

АЗЭРБАЙЧАН ССР ЕЛМЛЭР АКАДЕМИЯСЫНЫН МЭРҮЗЭЛЭРИ

ДОКЛАДЫ АКАДЕМИИ НАУК АЗЕРБАЙДЖАНСКОЙ ССР

ТОМ XXXIX ЧИЛД

№ 7

1983

УДК 581.9.(479:24)582.734.

СИСТЕМАТИКА РАСТЕНИЙ

T. A. КАСУМОВА

НОВЫЕ ВИДЫ БОЯРЫШНИКА ДЛЯ ФЛОРЫ АЗЕРБАЙДЖАНА II

(Представлено академиком АН Азербайджанской ССР В. И. Ульянишевым)

Нахичеванская АССР — наиболее интересный флористический регион Азербайджана.

В результате неоднократных поездок собран богатый гербарный материал по роду боярышник. Обработка материалов позволила выявить ряд интересных новинок для флоры данного региона и республики [1, 2].

Продолжая изучение боярышников (*Crataegus* L.), автор осенью 1980 г. собрал новый материал из Нахичеванской АССР. В результате обработки этого материала в гербарии Института ботаники АН Азерб. ССР (Баку) и в Кавказском разделе гербария Ботанического института им. В. Л Комарова АН СССР (Ленинград), выявлены виды — *C. armena* Pojark. и *C. zangezura* Pojark., которые ранее проводились для Азербайджана.

Экземпляры, собранные нами в Шахбузском районе, по некоторым признакам отличается от типичных образцов этих видов.

Секция *Oxyacanthae* Loud.

Crataegus armena Pojark. — Боярышник армянский.

Кустарник 2—3 м высоты с немногочисленными колючками. Кора ветвей буровато-серая или серо-каштановая. Молодые побеги темно-коричневые, волосистые, одногодичные, а более старые — голые. Листья с обеих сторон коротко-мохнато-опущенные в очертании обратно-яйцевидные, с клиновидным основанием, 3—5-лопастные с цельными или слабозубчатыми долями. Плоды темно-вишневые, продолговато-яйцевидные, эллиптические, 12—14 мм длины, с 1—2 косточками (рис. 1).

Встречается в среднем и верхнем горном поясах на высоте 1800—2000 м на ур. моря. Растет на опушке смешанного леса в сообществе с алычой, яблоней, дубом, шиповником, жостером, бересклетом, барбарисом и другими видами боярышника, а также единично на щебенисто-каменистых склонах.

Место нахождение. Нах. АССР, Шахбузский р-н, выше сел. Биченек, в боярышниково-дубовом лесу. 20. X 1980. Т. А. Касумова; окрестности сел. Ашагы Ремешин, на щебенисто-каменистых склонах, 16. X 1980. Т. А. Касумова.

Этот вид описан А. И. Поярковой [3] из Мегринского района Армянской ССР и принимался ею как гибридный вид (*C. kyrrostylia* X *C. meyeri*) эндемичный для Армении. У А. А. Гроссгейма [4, 5] этот вид отсутствует.

Секция Oxyacantheae Loud.

C. zangezura Pojark. — Боярышник занげзурский.

Кустарник 2—2,5 м высоты, колючки немногочисленные, короткие.



Рис. 1



Рис. 2

Кора ветвей темно-серая. Побеги тонкие, голые или слегка волосистые, тусклые, в очертании обратно-яйцевидные с клиновидным основанием, 3—5-лопастные. Лопасти острые, на вершине крупнозубчатые. Плоды вишневые, эллиптические, мелкие, 6—8 мм длины, с 1—2 (реже 3) косточками (рис. 2).

Растет в среднем горном поясе, на щебенисто-каменистых склонах, в ущельях совместно с алычой, шиповником, дубом и другими видами боярышиника.

Местонахождение. Нах. АССР, Шахбузский район, окрестности сел. Биченек, в боярышниково-дубовом лесу. 20. X 1980. Т. А. Касумова.

Вид описан из ущелья Горисчая (близ города Горис, Армянская ССР) А. И. Поярковой [3], которая считает его гибридогенным (*C. pentagynae* × *C. pseudoheterophylla*) и указывает на близость с *C. pallasii* Griseb.

У А. А. Гросгейма [4, 5] этот вид также не приводится. Во «Флоре Азербайджана» Л. И. Прилипко [6] в примечании к роду *Crataegus* L. указывает на возможность произрастания этих видов на Малом Кавказе. Однако каких-либо гербарных сборов до сих пор из указанного района не имеется.

Некоторые авторы относят *C. zangezura* к секции *Pentagynae*, но

по количеству косточек (2—3), окраске плода (темно-вишневый), окраске мякоти (желтоватая) правильнее отнести этот вид в секцию *Oxyacantheae*.

Приводимые экземпляры Б. армянского и Б. зангеузского хранятся в гербарии Института ботаники АН Азерб. ССР (БАК).

Литература

1. Исаев Я. М., Касумова Т. А. «ДАН Азерб. ССР», т. XXXII, № 3, 1976.
2. Касумова Т. А. «ДАН Азерб. ССР», т. XXXVII, № 1, 1981.
3. Пояркова А. И. Род *Crataegus* L. Флора СССР, т. IX. Изд-во АН СССР. М.—Л., 1939.
4. Гросгейм А. А. Определитель растений Кавказа. Изд-во «Советская наука». М., 1949.
5. Гросгейм А. А. Флора Кавказа, т. V. Изд-во АН СССР. М.—Л., 1952.
6. Прилипко Л. И. Род *Crataegus* L. Флора Азербайджана, т. V. Изд-во Азерб. ССР. Баку, 1954.
7. Полетико О. М. Род *Crataegus* L. Деревья и кустарники СССР, III. М.—Л., 1954.

Институт ботаники

Поступило 8. IV. 1981

Т. А. Гасымова

АЗЭРБАЙЧАН ФЛОРАСЫ ҮЧҮН ЈЕМИШАН НӨВЛӘРИ II.

Нахчыван МССР-дә битән јемишиналарын еңрәнилмәси нәтиҗәсүндә Азәрбајҹан флорасы үчүн *Crataegus armena* Pojark 1ә *Crataegus zangezura* Pojark нөвләринин олдуғу ашқар елилмишdir.

Т. А. Касумова

NEW CRATAEGUS L. SPECIES FOR THE FLORA OF AZERBAIJAN

In result of study the species of *Crataegus* collected by author in Nakhichevan ASSR *Crataegus armena* Pojark. and *Crataegus zangezura* Pojark. are established.

ТОПОГРАФИЯ

ТУФАН ИСААК ОГЛЫ АХУНДОВ

К ТОПОГРАФИИ ГРУППЫ РАННЕСРЕДНЕВЕКОВЫХ
ПОСЕЛЕНИЙ КУСАРСКОГО РАЙОНА

(Представлено академиком АН Азербайджанской ССР З. М. Буниятовым)

Вдоль левой стороны грунтовой дороги, от шоссе Кусары — Худат в с. Ашагы Легер, на участке протяженностью 4—5 км, тянется грязь холмов (СВ—ЮВ). С СЗ она раскрыта на широкую долину. Выявленные на грязе поселения объединены топографией, что и предположило их комплексное изучение (рис. 1).

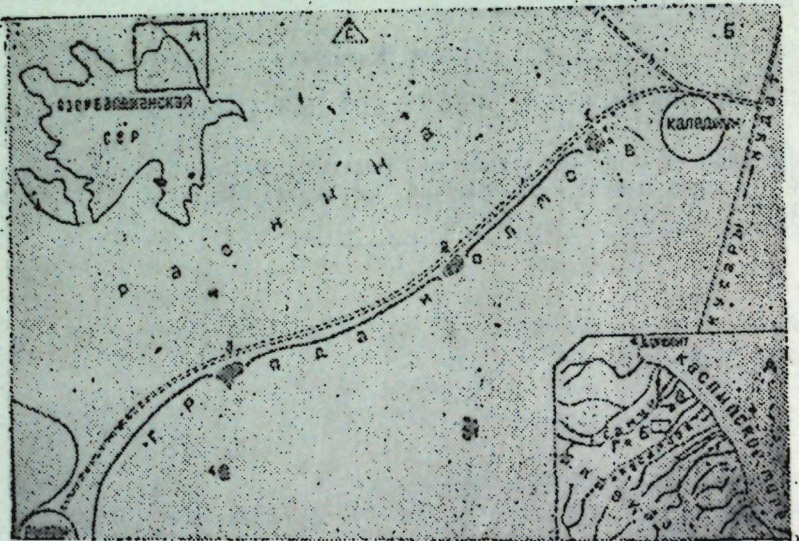


Рис. 1. План-схема: А—зоны исследования; Б—непосредственный район исследуемых памятников и их расположение; В—поселение Беюктепе; Г—сел. Гиль. ГС—грунтовая дорога; ●—памятники. 1—Гызлартепене; 2—Юсифхантепене; 3—Гызлартепелери; 4—Агахантепене.

На северо-восточном конце грязи находится холм Гызлартепене¹ (рис. 2, 1). Высота его 6—20 м, площадь вершины — 6 000 м². Поверхность в плане трапециевидная, три стороны п-образной формы охватывают заглубленное, по отношению к верхней площадке внутреннее пространство и раскрыта на СВ. С этой стороны был, видимо, единственный вход в укрепление. Эту мысль подтверждают два холмика, фланкирующие его, а также вал, преграждающий лобовой подход к нему.

Главная опасность грозила со стороны долины (СЗ), так как эта

сторона усиlena дополнительным валом и рвом, хотя высота холма здесь 18—20 м. Поверхность ее практически ровная, на данном участке на 1,5—2 м выше общего уровня. Возможно, здесь находились наиболее значительные сооружения.

С ЮВ к холму примыкает территория со следами сельбища. С этой стороны, имея высоту 6—8 м, дополнительных укреплений он не имеет. Наличие укреплений лишь с СЗ стороны указывает на направленность обороны.

Шурф, заложенный на кромке верхней площадки холма, на глубине 0,7 м выявил булыжную кладку шириной 2,1 м, что позволяет предполагать крепостную стену, опоясывающую холм-платформу по периметру вершины. Материал представлен зернотерками, костями животных, фрагментами светло-розовой, характерной для раннесредневековья даниной зоны, керамикой с «гребенчатым» орнаментом.

К юго-западу от Гызлартепе, на расстоянии около 1 км находится ход Юсифхантепе² (рис. 2, 3), вытянутой трапециевидной формы площадью 4500 м² и высотой 10—19 м.

Раскоп, заложенный на кромке верхней площадки холма, на глубине 0,5 м, выявил оборонительную стену из кирпича-сырца с примыкающим к ней помещением. На глубине 1,6 м выявлен пол помещения, обмазанный, как и стены, желтовато-белой глиной. К стене примыкает небольшое возвышение, уровень которого на 20 см выше пола.

Ниже уровня пола вскрыта кладка из крупноразмерного булыжника шириной 1,4 м. Один участок ее расположен под сырцовой стеной, частично возведенной на ней. Кладка вскрыта на глубину до 3 м. В местах несоответствия конфигурации булыжной и кирпичной стен, последняя заглублена до нижнего уровня предыдущей. Непосредственно под полом выявлен деревянный желоб — часть системы дренажа.

Археологический материал, представлен керамикой, характерной для раннего средневековья, в основном розового обжига. Имеется пряслице, выточенное из фрагмента керамики.

Результаты раскопа и визуального обследования топографии позволили сделать вывод, что холм представляет собой платформу, на которой было возведено укрепление, имеющее оборонительную стену, опоясывающую верхнюю площадку. С трех сторон к ней изнутри примыкали строения, наиболее значительные из которых находились у СВ стены. Замкнутая планировка укрепления нуждалась в системе дrenaажа, частью которого и был вскрытый желоб.

Вход в укрепление был, видимо, с ЮВ стороны и не имел такой развитой системы обороны, как на Гызлартепе, прикрыт полуночными. С этой стороны к нему примыкало сельбище.

Основная оборона сосредоточена на СЗ стороны, где холм имеет наибольшую крутизну и следы оплавившего передового вала, вместе с которым высота его превышает 20 м.

Несоответствующие булыжной и кирпичной стен позволяют выделить два строительных периода. В свою очередь, верхний период имел частые переделки. Так, кладка возвышения не связана со стеной, в кирпичной кладке имеются участки, не соответствующие основной стене. Желоб заложен кирпичом. Обмазка пола и стен, относящаяся, видимо, к последнему периоду, скрыла все эти переделки.

На ЮЗ в 1,5—2 км от Юсифхантепе находится холм — Гызлартепелери³ (рис. 2, 4). Он имеет вытянутую форму, южная широкая сторона к СВ сужается в виде рога, острье которого отсечено от основного

холма рвом глубиной 7 м. Этот участок имеет квадратную форму поверхности, площадью 425 м². Поверхность основного холма, площадью 5250 м², двумя незначительными уступами разделена на три террасы.

Раскопы выявили незначительный (0,5—0,6 м) культурный слой. Материал представлен мелкими фрагментами керамики бледно-розового обжига.

Говорить о деятельной планировке поверхности холмов пока трудно, так как они перепахивались и имеют практически ровную поверхность.

На этом укреплении так же, как и на предыдущих, оборона сосредоточена со стороны долины (З—СЗ—С). Склон на этой стороне наиболее крут и усилен дополнительным, хорошо сохранившимся валом. Высота этой стороны холмов от верха современного уровня вала 10—



Рис. 2. Планы-разрезы исследуемых памятников: 1—Гызлартепе; 2—Агахантепе; 3—Юсифхантепе; 4—Гызлартепелери.

11 м, а вместе с ним около 20 м. Южная сторона холма оборонительных сооружений не имеет. Прилегающий к этому склону участок насыщен керамическим материалом, идентичным добывшему из шурфа.

В 500 м южнее Гызлартепелери расположены холмы Агахантепе⁴ (рис. 2, 2). Они находятся на возвышенном относительно Гызлартепелери участке и имеют форму деформированного эллипса, вытянутого по линии С—Ю, зрительно как бы продолжает Гызлартепелери и занимает возвышенную по отношению к ней точку. Поверхность площадью 1250 м², высота—7,5—12 м.

Шурф на глубине 0,3 м выявил кладку из мелкого булыжника в один ряд, напоминающую мощения, шириной 65 см, с выделенной длиной 2 м, вытянута поперек склона и уходит к центру холма. Подъемный и раскопочный материалы в основном представлены керамикой розового и бледно-красного цвета с гребенчатым орнаментом.

Обследование топографии участка показало, что Агахантепе и Гызлартепелери входили в состав большого поселения.

Для определения места исследуемых поселений в общей системе расселения, важны и природные условия.

Северо-восточные склоны Большого Кавказского хребта в нескольких местах опускаются к морю⁵, оставляя узкую береговую полосу. На рубеже эр, море в летнее время из-за постоянно дующих в одном направлении ветров заливало низкие берега⁶ и на участках, примыкающих к горам, запирало проходы по ним, а зимой ветер гнал его назад, обнажая прибрежные мелководья⁷. Эти колебания затрудняли постоянные передвижения по указанному пути.

С понижением уровня моря⁸ и углублением русел рек дельты передвигаются на восток, обнажая прибрежную полосу. К началу раннего средневековья море, видимо, уже не запирало прибрежные проходы, что способствовало появлению нового восточного рукава, транзитного пути, по побережью. Этот период совпал с периодом мощного наступления северокавказских кочевых народов.

Расположенные вдоль одного из древних дельтовых рукавов реки Самур, исследуемые поселения, во взаимосвязи с другими поселениями, образовывали заградительную цепь на главном пути набегов северных народов, в сторону которых и направлены основные средства обороны.

На юго-западе систему поселений замыкало поселение у с. Гиль, расположенное на одном из артерий транскавказского пути⁹, и являющееся одним из опорных пунктов (рис. 1, Г).

Северо-восточный, пребрежный конец системы, вероятно, замыкался в зоне поселений Беютепе¹⁰, откуда начиналась зона лиманных дельтовых берегов (рис. 1, в).

С середины VII—начала VIII в. н. э. исследуемая территория превращается в арену непрерывных арабо-хазарских войн¹¹. Переменный успех в военных действиях не позволял ни одной из сторон надолго задерживаться в этом районе, что способствовало ограблению и разрушению ее обитыми сторонами. Кроме того, «арабское завоевание»... было не только политическим фактором, но и привело к созданию новых общественных отношений¹².

Видимо, с описанными событиями и связанным прекращение жизни на исследуемых поселениях и изменение топографии расселения в зоне.

Примечания

¹ Дж. А. Халилов, Р. Б. Аразова, Л. Г. Гусейнова, Т. И. Ахундов. Исследование в Кусарском районе. ДО за 1976 г., стр. 496. М., 1977.

2 Там же

3 Там же

4 Там же

5 У города Махачкала, у г. Дербент, у горы Бешбармак.

6 Это время совпадает с сезоном разлива рек зоны.

7 Тацит. Аиналы. Кн. VII, гл. 33.

8 С середины I тыс. до н. э. по VII в. н. э. море интенсивно понижалось. См. Атлас Азербайджанской ССР, ст. 99. Баку — М., 1963.

9. Ч. Э. Хэлилов, А. Ш. Оручев. Азэрб. ССР ЕА «Хәбәрләр», № 1, с. 79, 1977.

10 Р. Б. Аразова. «ДАН Азерб. ССР», № 1 стр. 95, 1980.

11 З. Буниатов. Азербайджан в VII—IX вв., стр. 107—116. Баку, 1965.

12 И. И. Петрушевский. Сб. «История Иранского государства и культуры», стр. 72, М., 1971.

Сектор археологии и этнографии

Поступило 9. III. 1981

Туфан Исааг оглы Ахундов

ГУСАР РАЙОНУНУН БИР ГРУП ИЛК ОРТА ЭСР АБИДӘЛӘРИНИН ТОПОГРАФИЯСЫНА ДАИР

Мәгаләдә бир груп илк орта эср абидаләринин топографик хүсусијәтләри арамырылыр. Өјрәнилән дөврдә дәнисин саһил хәттинин кери чәкилмәси иәтичәсисидә саһилбоју кечидләр хејли кенәлмиш, бу исә Гафгaz боју јолу дәнисин саһилица тарәф јөнәлмәсисиң кәтириб чыхартмышдыр. Бүтүн бу факторлар шимали Гафгaz халгларының гүвәтли һүчумлары илә бир вахта тәсадүф едир. Өјрәнилән яшајыш јөрлөри бир груп башга абидалорлә бирликдә дағатәзи һиссәсисидән та дәнис кәнары батаглыг саһилләриндәк узанарал, шималдан олан һүчумларын гарышында бир сөддә яратмышдыр. Абидаләрнән эсас истәнкамлары шимала дөгрү јөнәлділмешдир.

Әрәб-Хәзәр муһарибәләри дөврүндә өјрәнилән абидалор тез-тез дагыдылырды. Әрәб ишгали ејни заманда јени ичтимай мұнасибәтләрни яраимасында зәмни яратырды. Мәһә бу нағисәләрлә әлагәдар олар, VIII эсрә өјрәнилән абидалорда яшајыш кәсишләр вә зонанын яшајыш јөрләри хәритасинин топографијасы дәјишиләр.

Tufan Isaac oglu Akhundov

SOME NOTES ON THE HISTORICAL TOPOGRAPHY OF ONE GROUP OF EARLY MEDIEVAL MONUMENTS OF THE DISTRICT OF GUSAR OF AZERBAIJAN SSR

The article deals with topographic peculiarities of a definite group of early medieval settlements. In the analyzed period in connection with the regression of coast line of Caspian Sea littoral passages were considerably widened, which resulted in displacement of Trans-Caucasian way nearer to the east of seaboard. These events coincided with the period of mighty onsets of North Caucasian peoples. The settlements which were taken for investigation formed with others a barrage line from zone of foothills to seaside shores, on the way of onsets from the North. All defensive works are turned to the Nerib.

In the times of Arabo-Khazar wars these settlements were often destroyed. Besides that, the Arabian conquests stimulated the formation of new social relations. The ceasing of life in the settlements in the VIIIth century A. D. and the changes in topography of settling are connected with above-mentioned events.

АЗӘРБАЙЧАН ССР ЕЛМЛӘР АКАДЕМИЈАСЫНЫН МӘРҮЗӘЛӘРИ

ДОКЛАДЫ АКАДЕМИИ НАУК АЗЕРБАЙДЖАНСКОЙ ССР

ТОМ XXXIX ЧИЛД

№ 7

1983

ЯЗЫКОЗНАНИЕ

И. М. ЭФЕНДИЕВА

К ВОПРОСУ О ТЕОРЕТИЧЕСКИХ ОСНОВАХ ОРГАНИЗАЦИИ ТЕРМИНОСИСТЕМЫ

(Представлено академиком АН Азербайджанской ССР А. А. Эфендиеве)

Не будет преувеличением сказать, что терминология в современных условиях функционирования языка является тем ядром, вокруг которого происходит выкристаллизация всех языковых процессов [1, 2, 3].

К ним мы относим следующие:

I. В области семантики: формирование и переформирование семантических полей [4, 5, 6, 7].

II. В области лексики: появление новой конкретизирующей лексики и ее специфическое отношение к лексике ассоциативной.

III. В области морфологии: неравнозначность распределения такой новой конкретизирующей лексики по классам существительных, глаголов и лимитативных единиц (прилагательных и наречий).

IV. В области синтаксиса: стандартизацию данного вида лексики в строго определенных моделях типа: «адъективность — субстантивность» и «вербинальность — адвербиальность» [8].

V. В области актуального членения: использование терминологических единиц неоднозначно в ремной и тематической частях предложения.

Помимо перечисленных, нельзя не остановиться на специфиности анализируемой лексики при формировании двусоставных и односоставных предложений в английском языке, при их отношении к эллипсису и парцеллированным конструкциям (базовой части и парцелляту), а в этой связи следует остановиться и на закономерностях перехода речевых структур в языковые и наоборот.

Таков круг вопросов, на базе которых, на ваш взгляд, только и может быть проблема терминологической лексики [9, 10].

Наше исследование шло в соответствии с рядом намеченных здесь вопросов, каждый из которых должен быть решен не только самостоятельно, но и в свете его отношения ко всем остальным. Поэтому в ходе анализа нами была предложена методика раздельного и совокупного исследования.

Первая, то есть методика раздельного исследования, предусматривала, по возможности, всесторонний анализ семантических, лексических и морфолого-синтаксических особенностей терминологической системы с точки зрения выявления тех кардинальных или ключевых моментов, которые характеризуют ее относительность к каждому из названных аспектов языка.

Вторая, то есть методика совокупного исследования, была связана с дальнейшим рассмотрением терминологической лексики и предполагает ее изучение не в отдельных частных проявлениях (то есть либо в

сфере семантики либо в сфере лексики, либо в сфере грамматики), а напротив — в совокупности всех присущих языку сфер и категорий [11].

В этой связи встал второй круг вопросов. Они включали в себя моменты актуального членения, и соотношения между языковыми и речевыми моделями, когда нормативный уровень языка взаимодействует с индивидуальным и как результат такого взаимодействия неизбежно развиваются структуры эллипса и парцеллята.

Однако и этот круг вопросов не является в нашем исследовании окончательным, так как он в свою очередь предполагал выход в более широкое рассмотрение, которое позволило нам взглянуть на терминосистему с точки зрения общей перспективы существования и развития языка. Для решения такой задачи данные, полученные в результате исследования, были связаны с двумя основными принципами языковой интеграции, а именно с центростремительностью и центробежностью, которые, как мы полагаем, позволили решить проблему [12].

В этом плане представлялось целесообразным остановиться на проблеме сужения и расширения внутреннего содержания слова.

Движение языка, как известно, носит циклический развивающийся характер, при котором наиболее подверженным к изменению является лексический пласт.

Причины, вызывающие его прогрессирующее развитие, заложены в отражательной функции языка и связаны со все более глубоким проникновением человека в окружающий мир [13].

В ходе исследования закономерно возник вопрос: за счет каких внутренних импульсов происходит это поступательное развитие, приводящее к расширению словаря и появлению новых значений в слове, вплоть до омонимичных?

Общая численность словарного состава, то есть лексики языка (условно обозначенная нами через L), ограничена числом грамматических категорий (также условно обозначенных нами через k). Она может быть выражена в виде формулы типа:

$$L=3kn$$

где — 3 — условное обозначение общего количества категорий, а n — каждой отдельной части речи, из которых складывается весь словарный состав языка. Поэтому по числу существующих в языке категорий L всякий раз замкнута точными рамками, которые не могут быть произвольно изменены. Однако по числу слов, составляющих язык, она как бы открыта свободному расширению и стремится к бесконечности.

Сам процесс развертывания потенциальных возможностей захватывает язык в целом (то есть он не ограничивается какой-то одной частью речи). При этом имеют место следующие закономерности, заслуживающие, на наш взгляд, тем более пристального внимания, что они непосредственно относятся к теме исследования.

1. В каждый исторический промежуток времени количество словарных единиц, составляющих существительные, глаголы, прилагательные и наречия, поддается формальному подсчету и с большей или меньшей точностью фиксируется в словарях [14].

2. Процесс развертывания потенциальных возможностей происходит не только за счет расширения внутреннего содержания каждой отдельной словарной единицы, но и за счет ее сужения.

3. Количественно сужение не равно расширению, однако оно весьма значимо в процессе поступательного развития языка, приводя к

становлению определенного рода специализированной лексики, включающей в себя и терминологическую.

Переходя к рассмотрению выдвинутых положений, мы полагали, что каждая словарная единица выступает явлением двусторонним. С одной стороны, она оказывается составной частью общего словарного состава языка. (В этом плане она отмечена рядом различных значений).

С другой стороны она оказывается составной частью акта коммуникации, где значение всегда стремится к единичному качеству. Это стремление основано на оппозиции узкого и широкого плана.

Оппозиция широкого плана имеет внутри общей формы (типа: table), отмеченной рядом сопряженных значений. Сопряженность значений понимается как некоторое многозначное единство, уже стабильно зафиксированное словарем и известное всем членам языкового коллектива. В этом случае имеет место расширение словарной единицы, которое связано с подвижностью значения и стабильностью формы.

Причем, характерно, что многозначность формы не ведет к ее разложению. Форма и содержание едины, поскольку кажущееся отставание формы от содержания наблюдается только в языке, где одна и та же лексическая оболочка может оказаться вместилищем не одного, а целого ряда закрепленных за ней значений. Однако кажущееся отставание формы от содержания каждый раз снимается синтаксисом. Его модели формируют новое значение и поэтому само значение существует только лишь как результат особого синтаксического употребления словоформы. Это значит, что синтаксис не просто позволяет языку на протяжении длительного времени сохранять свой структурный модус при значительном расширении его значения, но синтаксис формирует это значение.

Таким образом, каждый из зафиксированных компонентов многозначности лишь тогда входит в словарь и фиксируется словарем, когда он устоялся в определенной синтаксической связи. Это дает основание заключить, что многозначность слова подчинена синтаксическим моделям. Поэтому процесс общеязыкового употребления нового значения димитирован синтаксическим планом, который в определенный исторический промежуток времени дает строго определенное количество новых значений.

Следовательно, расширение значений, основанное на оппозиции широкого плана и связанное с расщепляемостью исходных значений, ограничено общим развитием человеческой мысли в каждый исторический промежуток времени. Сама же мысль, как известно, протекает в том синтаксическом стандарте, который является фиксированной и общеупотребительной нормой данного исторического периода.

В этой связи вполне закономерным является тот факт, что существование каждого из сопряженных значений ограничено реально сформированными моделями синтаксической сочетаемости.

При оппозиции узкого плана процесс расширения как бы меняется своей противоположностью. Имеет место функционирование такого значения, которое не вырастает из нового синтаксического рисунка, переваривающего в себе конгломерат сопряженных значений многозначного слова. Если при оппозиции широкого плана расширение предполагает постепенное врастание сопряженных значений в несвойственную им синтаксическую среду и закрепление в себе значений этих новых синтаксических компонентов (типа: «Я тебя осиплю звездными стихами»), то при

сужении происходит совершенно иное явление. Сужение предполагает создание в значительной мере искусственного значения, закрепленного за словом в результате законодательного акта.

Литература

1. Акодес М. И. Формирование и функционирование терминов в английском языке. ФН, № 1, с. 101—107, 1978.
2. Ширэлиев М. А. Истинатлар жарадычылыгының асас принциптер. Аз. ССР. ЕА. Дил институту. Эсәрләри, 1 чилд. Бакы, 1947.
3. Гасымов М. Ш. Азәрбајҹан дили терминологиясының асаслары. Бакы, Елм, 187 с., 1973.
4. Даниленко В. Н. Лексико-семантические и грамматические особенности слов-терминов. М., 1975.
5. Зяггицев В. А. «Семасиология», 322, МГУ, 1957.
6. Вердиева В. Н. вә башгалары. Азәрбајҹан дилинин семасиологиясы. Бакы, Маариф, 306 с., 1979.
7. Каидеки Т. Л. Семантика и мотивированность терминов, с. 167. «Наука», М., 1977.
8. Гинзбург Е. Л. Словообразование и синтаксис, с. 264. «Наука», М., 1979.
9. Лотте Д. С. Основы построения научно-технической терминологии. Вопросы теории и методики, с. 158. Изд-во АН СССР, 1961.
10. Food W. E. Scientific Words: 1978, Their Structure and Meaning—Ind. Oldbourne, Cap. 1960.—220 р.
11. Niels L. Zu einigen Fragen der Terminologie. — Sprachpflege, № 7, 1971, S. 146—148.
12. Будагов Р. А. Что такое развитие и совершенствование языка, с. 264. «Наука», М., 1977.
13. Эфандиева Н. М. Центробежные и центростремительные связи в лексике и их учет в лексикографии. В кн.: Тез. научно-методической конференции «Проблемы общей и терминологической лексикографии», с. 116—120. Баку, 1988.
14. Bridg. The Social Meaning of Language. Ind. Oxford Univ. Press, 1971, 124р.

Азербайджанский инженерно-строительный институт

Поступило 22. II. 1983

Н. М. Эфандиева

ТЕРМИН СИСТЕМИНИН ТӘШКИЛИНИН НӘЗӘРИ ЭСАСЛАРЫНА АЙДЫСЛАМАЛЫК ПРОБЛЕМ

Тәддиг етдијимиз елми проблем үч сферик мүстәвиде апарылып. Өзәк-термин системи семантик, лексик вә грамматика планда сәцијијеләндирилип. Өзәкдән кәнар терминләр парадигматик, синтагматик вә коммуникатив синтаксиси характеризә едир. Һудуд-техники терминләрин үмуми сөzlәrә кечмәси процесси мушаһидә олунур. Термины системиниң өзәкдән кәнар сфераларының функциялышасы синтагматик автономлуг вә јаҳуд терминләшмә принципинде мүәјјиенләшdirилip, учунчү һудуд-синтагматик субдинасија вә јаҳуд терминләрин үмуми сөzlәrә кечмәси принципе асасланып.

N. M. Efendiyeva

PROBLEM ASPECTS OF THE TERMINOLOGICAL SYSTEM IN SCIENCE AND TECHNICS

The scientific research is being carried out by means of three spherical planes—nuclear, including the terminological system characterization in semantic, lexical and grammatical plans; transnuclear, covering the terminological units characterizations of the paradigmatic, syntagmatic and communicative syntax; and border-line one, In which the terms pass to the general use vocabulary. The nuclear and transnuclear spheres of terminological units functioning are based on the principle of the syntagmatic autonomy or terminologization; as concerning the third border-line plane, it is based on the syntagmatic subordination principle or determinologization.

МҮНДЭРИЧАТ

Ријазијјат

- | | |
|---|----|
| Э. А. Вәлијев. Иккичи тәртиб квазихәтти һиперболик тәнликлөр үчүн гојулмуш бир икнөлчүлү тәрс сәрнәд мәсәләсүнин классик һәллинин тәддиги | 3 |
| О. М. Мәммәдов. Атомик компакт ярымшәбәкәләр | 7 |
| Фам Хоиг Куанг, Фан Зүй Хай. Ҳәтти диференциал ојуларда јени эффектив тә'гіб методлары нағында | 10 |
| А. С. Чәфәров. Бернштейн-Рогозински чәмләмә үсүлүнүн јени аналоглары | 15 |

Ярымкечиричиләр физикасы

- | | |
|--|----|
| Б. А. Таһиров, А. Э. Мусаев, М. Ы. Шантахтиев. $\mathrm{Bi}_{50}\mathrm{Sb}_{20}$ халитасындә кинетик параметрләрин температур асылылыгы | 19 |
| М. Ы. Рамазанзадә, М. Э. Чәфәрова. $(\mathrm{JnSb})_x-(\mathrm{JnTe})_{1-x}$ бәрк мәһілүлүнда электронларын жүйүрүклюјү нағында | 23 |

Теоретик физикасы

- | | |
|--|----|
| Н. А. Гулијев, И. И. Чәфәров, Б. И. Мәһдијев, Р. Ш. Яһјәев. Йүкесәк енержили протон-антинпротон дәстәләринн тоггушмасы заманы јүклү лептон чүтләринин јарымасы просессендә неутрал зәйф чәрәјән еффектләри | 27 |
| Ф. М. Җашымзадә, Б. Р. Җачыјев. Группа изомерийеси илә $\mathrm{Sr}_2\mathrm{Ta}_2\mathrm{O}_7$ кристалында II нөв фаза кечидләринин тәддиги | 31 |

Физики кимја

- | | |
|--|----|
| З. Һ. Зүлфүгаров, Д. М. Гәнбәров, Х. Т. Гәирәманов, Ч. И. Мирзан. Н. К. Рәhimов, Л. Г. Кејсерухскаја. Сеолит $\mathrm{CaU}-\mathrm{NH}_3$ системасындә комплекс эмәләкәлмәсүн ИГ-спектроскопик вә рентгенографик тәддиги | 35 |
|--|----|

Енергетика

- | | |
|---|----|
| Т. С. Ахундов, М. В. Иманова, А. Д. Таһиров. 400 г/л концентрасиялы патриум юдидин сулу мәһілүлүнүн термики хасасләри | 40 |
|---|----|

Кеолокија

- | | |
|---|----|
| С. М. Сүлејманов, В. М. Бабазадә, А. А. Мәсимов, В. К. Рамазанов. Эсас ҳәтти вә даирәви структурларын мұнасибәти филиз жаталарының прогнозлашдырылмасы фактору кими | 44 |
|---|----|

Нефт қеолокијасы

- | | |
|--|----|
| З. Э. Бүйядзадә, А. Э. Нәриманов. Чонуби Ҳәзәр чөкәклијиниң гәрб јамачында карбоидрокеңләрин миграциясының эсас фазалары нағында | 49 |
|--|----|

Палеобиоекономика

- | | |
|---|----|
| А. Элизадә, Э. М. Мәммәдәлизадә, С. А. Элијев, К. Э. Номзәјев. Ехиноид чанагларының диокенезинин қеокимјәви аспекти | 53 |
|---|----|

Кеоморфология

- | | |
|--|----|
| Ә. Элизадә. Қичик Гафгазын алтбајос вулкан сүхурларының петро-кимјасының бәзи мәсәләләри | 56 |
| | 85 |

Биооғраfiја

Ә. А. Элиев. Эразинин һүндүрлүгүнүн үзүм биткисинин инкишафына тәсирі	60
---	----

Торпаг енеркетикасы

Д. Г. Пономарев, Ф. Д. Микаилов. Функционал асылылыг торпагын микрогургуу тәркибине мелиоратив тәсир едән көстәричидир	64
--	----

Паразитология

М. Ш. Йолчуев, И. Э. Садыгов. Азэрбајҹан ССР-ин Шәки-Загатала зонасында воңши иткимиләрдә (<i>Trichinella nelsoni britton et boev</i>) 1972 ашкар едилемеси	69
---	----

Битки систематикасы

Т. А. Гасымова. Азэрбајҹан флорасы үчүн јемишан нөвләри II	73
--	----

Топография

Туфан Иссааг оглу Ахундов. Гусар раionунун бир груп илк орта эср аби-дәләрции топографијасына даир	76
--	----

Диличилик

Н. М. Эфendiева. Термин системинин тәшкелинин нәзәри әсасларына иш проблеме	81
---	----

СОДЕРЖАНИЕ

Математика

А. А. Велиев. Исследование классического решения одной обратной двумерной краевой задачи для квазилинейных гиперболических уравнений второго порядка	3
--	---

О. М. Мамедов. Атомно-компактные полурешетки	7
--	---

Фам Хонг Куанг, Фан Зуй Хай. О новых эффективных методах преследования в линейных дифференциальных играх	10
--	----

Ариф С. Джабаров. Новые аналоги метода суммирования Бернштейна — Рогозинского	15
---	----

Физика полупроводников

Б. А. Тапров, А. А. Мусаев, чл. корр. АН Азерб. ССР М. Г. Щахтахтинский. Температурная зависимость кинетических параметров сплава $\text{Bi}_{50} \text{Sb}_{23}$	19
---	----

Чл. корр. АН Азерб. ССР М. Г. Рамазанзаде, М. А. Джабарова. О подвижности электронов в $(\text{InSb})_x - (\text{InTe})_{1-x}$	23
--	----

Теоретическая физика

Чл. корр. АН Азерб. ССР Н. А. Гулиев, И. Г. Джабаров, Б. И. Мехтиев, Р. Ш. Яхъяев. Эффекты нейтральных слабых токов в процессах рождения пар запряженных лептонов при столкновении протон-антипротонных пучков высоких энергий I	27
--	----

Чл. корр. АН Азерб. ССР Ф. М. Гашимзаде, Б. Р. Гаджиев. Теоретико-групповой анализ фазовых переходов второго рода в кристаллах $\text{Sr}_2\text{Ta}_2\text{O}_7$	31
---	----

Физическая химия

Чл. корр. З. Г. Зульфугаров, Д. М. Ганбаров, Х. Т. Каҳраманова, Дж. И. Мирзаи, Н. Г. Гагимов, Л. Г. Кейсерухская. ИК-спектроскопическое и рентгенографическое исследование комплексообразования в системе цеолит $\text{CaY}-\text{NH}_3$	35
---	----

Энергетика

Т. С. Ахундов, М. В. Иманова, А. Д. Тапров. Термические свойства водного раствора йодистого натрия при концентрации 400 г/л	40
---	----

Геология

С. М. Сулайманов, В. М. Баба-заде, А. А. Масимов, В. Г. Рамазанов. Соотношение основных линейных и кольцевых структур, как фактор прогноза рудных месторождений	44
---	----

Геология нефти

З. А. Буният-заде, А. А. Нариманов. О главных фазах миграции углеводородов на западном борту впадины южного Каспия	49
--	----

Палеобиогеохимия

Чл. корр. Ак. А. Али-заде, А. М. Майдализаде, С. А. Алиев, Г. А. Гамзев. Геохимические аспекты диагенеза панцирей <i>ECHINOIDEA</i>	53
---	----

Геоморфология

А. А. Ализаде. Некоторые вопросы петрохимии и петрологии нижнебайо-	
ского комплекса вулканических пород Малого Кавказа	56
Биогеография	
А. А. Алиев. Влияние высоты местности на развитие винограда (на при-	
мере средней части бассейнов рек Ахсчай и Гирдыманчай).	60
Энергетика почв	
Д. Г. Пономарев, Ф. Д. Микаилов. Расчет функциональной зависи-	
мости, являющейся показателем воздействия на микроагрегатный состав почв	64
Паразитология	
М. Ш. Елчусев, И. А. Садыхов. О выявлении (TRICHINELLA Nelsoni Bri-	
тов et Восу), 1972 у диких псовых в Шеки-Закатальской зоне Азербайджан-	69
ской ССР	
Система растений	
Т. А. Касумова. Новые виды боярышника для флоры Азербайджана II	73
Топография	
Туфан Иссаак оглы Ахундов. К топографии группы раннесредне-	
вековых поселений Кусарского района	76
Языкоизнание	
Н. М. Эфендиева. К вопросу о теоретических основах организации тер-	
миносистемы	81

Сдано в набор 31. 08. 83 г. Подписано к печати 18. 11. 83 г. ФГ 15331. Формат бумаги 70×100^{1/16}. Бумага типографская № 1. Гарнитура шрифта литератур. Печать высокая. Печ. лист 7,15. Уч. изд. лист 6,44. Тираж 620. Заказ 1202.
Цена 70 коп.

Издательство „Элм“.

370143 Баку-143, проспект Нариманова, 31. Академгородок, Главное здание
Типография „Красный Восток“ Государственного комитета Азербайджанской ССР
по делам издательств, полиграфии и книжной торговли. Баку, ул. Ази Асланова, 80.

«Доклады»

959. Текст статьи печатается на белой бумаге через два интервала на одной сторо-
не листа стандартного размера, с полями с левой стороны (не более 28 строк на
одной странице по 58—60 знаков в строке). В тексте нельзя делать рукописные
вставки и вклейки.

Статьи, напечатанные на портативной машинке, не принимаются.

10. Текст статьи должен быть изложен кратко, тщательно отредактирован и
подписан авторами в печать. В математических статьях желательно избегать доказа-
тельств теорем, лемм и т. п. При использовании в тексте сокращенных названий (кро-
ме общепринятых) необходимо давать их расшифровку.

11. Математические и химические формулы и символы в тексте должны быть
вписаны четко. Следует избегать громоздких обозначений, применения, например, дроб-
ные показатели степени вместо радикалов, а также expr. Занумерованные формулы
обязательно выключаются в красную строку, номер формулы ставится у правого края
страницы. Желательно нумеровать лишь те формулы, на которые имеются ссылки.
Подстрочные и надстрочные индексы и степени следует отмечать карандашом, дугами
сверху и снизу:

$$R^n, r_n$$

Греческие буквы нужно обводить (в кружок) красным карандашом. Буквы готи-
ческого шрифта и рукописные в рукописях не использовать, векторные величины —
подчеркивать черным, буквы латинского рукописного шрифта следует отметить на
полях (например, Н рукоп.).

Во избежание ошибок следует четко обозначать прописные (заглавные) и строч-
ные буквы латинского алфавита, имеющие сходное начертание (Cc; Kk; Pp; Oo; Ss;
Uu; Vv; и т. д.), буквы I(i) и J(j), букву I и римскую единицу I, а также араб-
скую цифру I и римскую I' (вертикальная черта), I и штрихи в индексах, I (латин-
ское эль) и e. Прописные буквы подчеркивают карандашом двумя черточками снизу
(С), а строчные — сверху (с.).

Следует избегать знаков типа ~ (волна), ⊖, ⊕, ⊗; □, ⊥, ⊤, ⊥, √, ∧
(крышки) над и под буквами, а также знаков:

$$\text{и } \times \underline{\epsilon}, \phi\phi, \phi, \epsilon$$

Латинские названия вписываются на машинке.

Слова «теорема», «лемма», «следствие», «определение», «замечание» и т. п. сле-
дует подчеркивать штриховой чертой, а текст утверждений типа теорем — волнистой
чертой (исключая математические символы).

При выборе единиц измерения рекомендуется придерживаться международной
системы единиц СИ.

12. При описании методики исследования следует ограничиваться оригинальной
ее частью. При элементном анализе приводить только усредненные данные.

13. Необходимо тщательно проверить написание местных географических назва-
ний.

14. Цитированная литература проводится общим списком на отдельной страни-
це: ссылки в тексте даются порядковым номером в круглых скобках над строкой
(например, 1). Список литературы оформляется следующим образом:

для книг: инициалы и фамилии авторов, полное название книги, место и год
издания;

для журнальных статей: инициалы и фамилии авторов, название журнала, номер
тома, номер выпуска, страница и год издания.

Ссылки на неопубликованные работы не допускаются.

15. Все статьи должны иметь резюме на английском языке, кроме того статьи
написанные на русском и азербайджанском языках должны иметь резюме на азербай-
джанском и на русском соответственно.

Публикация статьи в «Докладах» не препятствует напечатанию расширенного ее
варианта в другом периодическом издании.